

การออกแบบวงจรกรองความถี่แบบแอคทีฟโดยใช้ DURC

(On design of Active Filters by Using Double Capacitive Layer)



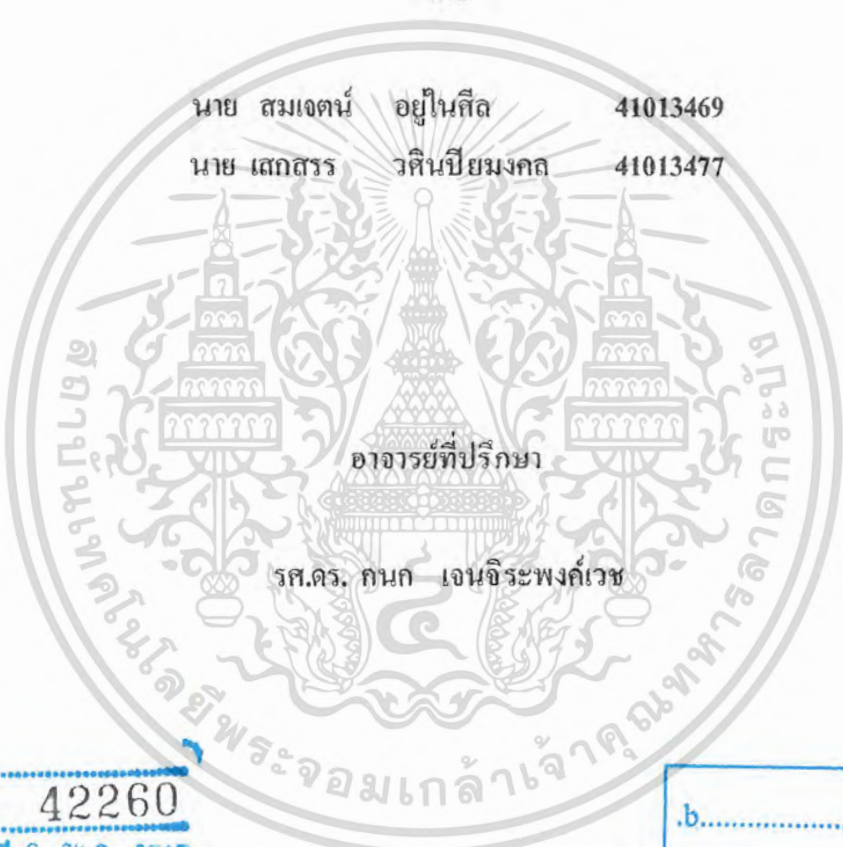
โดย

นาย สมเจตน์ อยู่ในील 41013469

นาย เสกสรร วสินปิยมงคล 41013477

อาจารย์ที่ปรึกษา

รศ.ดร. กนก เอนจิระพงศ์เวช



เลขหมู่.....  
เลขทะเบียน..... 42260  
วัน, เดือน, ปี..... 16 พ.ค. 2545

.b.....  
.i.....

ปริญญานิพนธ์เป็นส่วนหนึ่งของการศึกษาตามหลักสูตรปริญญาอุตสาหกรรมศาสตรบัณฑิต

สาขาเทคโนโลยีอิเล็กทรอนิกส์

คณะวิศวกรรมศาสตร์

สถาบันเทคโนโลยีพระจอมเกล้าเจ้าคุณทหารลาดกระบัง

ปีการศึกษา 2543

เอกสารนี้เป็นเอกสารที่สงวนไว้สำหรับการใช้งานเพื่อการศึกษาเท่านั้น ไม่อนุญาตให้นำไปใช้ประโยชน์ด้านการค้า  
ไม่ว่ากรณีใดๆ ทั้งสิ้น อีกทั้งห้ามมิให้ตัดแปลงเนื้อหา และต้องอ้างอิงถึงเจ้าของเอกสารทุกครั้งที่มีการนำไปใช้

หัวข้อวิทยานิพนธ์

การออกแบบวงจรกรองความถี่แบบแอกทีฟโดยใช้ DURC

On design of Active Filters by Using Double Capacitive Layers

โดย

นาย สมเจตน์ อยู่โนสิด 41013469

นาย เสกสรร วศินปิยมงคล 41013477

ภาควิชา

เทคนิคอุตสาหกรรม

ปีการศึกษา

2543

คณะวิศวกรรมศาสตร์ สถาบันเทคโนโลยีพระจอมเกล้าเจ้าคุณทหารลาดกระบังอนุมัติให้นับ  
วิทยานิพนธ์ฉบับนี้เป็นส่วนหนึ่งของการศึกษาหลักสูตรปริญญาอุตสาหกรรมศาสตรบัณฑิต

คณะกรรมการสอบวิทยานิพนธ์

..... อาจารย์ที่ปรึกษา

(.....)

กรรมการ

(.....)

กรรมการ

(.....)

กรรมการ

(.....)

กรรมการ

(.....)

กรรมการ

(.....)

ลิขสิทธิ์ของคณะวิศวกรรมศาสตร์ สถาบันเทคโนโลยีพระจอมเกล้าเจ้าคุณทหารลาดกระบัง

เอกสารนี้เป็นเอกสารที่สงวนไว้สำหรับการใช้งานเพื่อการศึกษาเท่านั้น ไม่อนุญาตให้นำไปใช้ประโยชน์ด้านการค้า  
ไม่ว่ากรณีใดๆ ทั้งสิ้น อีกทั้งห้ามมิให้ตัดแปลงเนื้อหา และต้องอ้างอิงถึงเจ้าของเอกสารทุกครั้งที่มีการนำไปใช้

หัวข้อปริญญานิพนธ์

การออกแบบวงจรกรองความถี่แบบแอกทิฟโดยใช้ DURC

โดย

นาย สมเจตน์ อยู่ในศีล 41013469

นาย เสกสรร วศินปิยมงคล 41013477

อาจารย์ที่ปรึกษา

รศ.ดร. กนก เจนจิระพงศ์เวช

ภาควิชา

เทคนิคอุตสาหกรรม

ปีการศึกษา

2543



ปริญญานิพนธ์ฉบับนี้ได้นำเสนอเกี่ยวกับวงจรกรองแถบความถี่ผ่านโดยใช้ตัว URC และ DURC วงจรที่ออกแบบมาจะเป็นวงจร BPF with one notch characteristics ที่ต่อเข้ากับวงจร Active notch characteristics และวงจร BPF with one notch characteristics คือกับวงจร notch tunable filter(DURC) เพื่อที่จะให้รูปสัญญาณที่ออกมาแคบลงกว่าเดิม โดยวงจรทั้งสองวงจรมีจะประกอบด้วยตัว URC และ DURC และ Op-Amp โดยค่าคาปาซิเตอร์ที่ตัวยูนิฟอรมดิสทริบิวท์อาร์ซีเป็นฐานรองไม่มีผลต่อคุณลักษณะของวงจร ดังนั้นจึงเหมาะนำไปใช้ในย่านความถี่สูง

โดยในที่นี้การทดลองหาผลตอบสนองความถี่ใช้โปรแกรมคอมพิวเตอร์ MATLAB และทำการ Simmulated ด้วยโปรแกรม P-SPICE และไปถึงการจำลองตัวยูนิฟอรมดิสทริบิวท์อาร์ซีเพื่อทำการต่อวงจรทดลองจริง ปรากฏว่าวงจรทั้งสองแบบให้การตอบสนองทางความถี่ และความไวต่ออัตราขยาย และค่าความไวต่อตัวอุปกรณ์ของวงจรที่แตกต่างกันออกไป แต่ก็สามารถนำไปใช้ในการประมาณสัญญาณได้ดี

เอกสารนี้เป็นเอกสารที่สงวนไว้สำหรับการใช้งานเพื่อการศึกษาเท่านั้น ไม่อนุญาตให้นำไปใช้ประโยชน์ด้านการค้า ไม่ว่าจะกรณีใดๆ ทั้งสิ้น อีกทั้งห้ามมิให้ตัดแปลงเนื้อหา และต้องอ้างอิงถึงเจ้าของเอกสารทุกครั้งที่มีการนำไปใช้

**Thesis Title** On design of Active Filters by Using Double Capacitive Layers

**Name** Mr. Somjate Younaisin Code 41043469  
Mr. Seksun Wasinpiyamongkol Code 41013477

**Thesis Advisor** Asst. Prof. Dr. Kanok Janchitrapongvej

**Level to Study** Bachelor of Industrial Technology  
(Electronics)

**Academic Year** 2000

---



### Abstract

This thesis describe about band pass filter (BPF) circuits with Uniformly Distriduted RC Line(URC) and Double Uniformly Distriduted RC Line(DURC) . The Designed circuits configation consists of BPF with notch characteristics and a Notch type filter using DURC to improve the BPF response . This new type of filter will produce a high Q with narrow band width and the proposed circuits have no effect with the parasitic capacitance at high frequency .

This experiments is carried out by MATLAB program and simmulated by P-Spice program circuit shown difference in frequency response , sensitivity of gain and sensitivity of elements . By the way , they can used to approximate signal correctly

เอกสารนี้เป็นเอกสารที่สงวนไว้สำหรับการใช้งานเพื่อการศึกษาเท่านั้น ไม่อนุญาตให้นำไปใช้ประโยชน์ด้านการค้า  
ไม่ว่ากรณีใดๆ ทั้งสิ้น อีกทั้งห้ามมิให้ตัดแปลงเนื้อหา และต้องอ้างอิงถึงเจ้าของเอกสารทุกครั้งที่มีการนำไปใช้

## กิตติกรรมประกาศ

ข้าพเจ้าขอขอบคุณท่านอาจารย์ รศ.ดร. กนก เจริญพงศ์เวช ที่ให้คำแนะนำ และแนวทางการแก้ปัญหาในการทำโครงการ นาย สรพงศ์ แซ่เตีย ที่ให้คำแนะนำและความสะดวกในการใช้เครื่องมือในการทำโครงการต่างๆรวมทั้งขอขอบคุณเพื่อนรุ่นพี่และรุ่นน้องทุกคนที่สนับสนุนการทำโครงการให้สำเร็จตามวัตถุประสงค์



เอกสารนี้เป็นเอกสารที่สงวนไว้สำหรับการใช้งานเพื่อการศึกษาเท่านั้น ไม่อนุญาตให้นำไปใช้ประโยชน์ด้านการค้า ไม่ว่าจะกรณีใดๆ ทั้งสิ้น อีกทั้งห้ามมิให้ตัดแปลงเนื้อหา และต้องอ้างอิงถึงเจ้าของเอกสารทุกครั้งที่มีการนำไปใช้

# สารบัญ

|   | หน้า |
|---|------|
| บทคัดย่อ(ไทย)   | ก    |
| บทคัดย่อ(อังกฤษ)                                      | ข    |
| กิตติกรรมประกาศ                                       | ค    |
| บทที่ 1 พื้นฐานของ URC และ DURC                       | 1    |
| สายส่ง  | 1    |
| โครงสร้างของถั้มด์พารามิเตอร์                         | 5    |
| โครงสร้างของคิสทรีบิวท์อาร์ซี                         | 7    |
| การวิเคราะห์พารามิเตอร์ของคิสทรีบิวท์อาร์ซี           | 11   |
| การวิเคราะห์ทางคณิตศาสตร์เพื่อหาค่าพารามิเตอร์        | 13   |
| โครงสร้างและสัญลักษณ์ DURC                            | 15   |
| บทที่ 2 วงจรกรองแบบต่างๆ                              | 16   |
| วงจรกรองความถี่ต่ำผ่าน                                | 16   |
| วงจรกรองความถี่สูงผ่าน                                | 17   |
| วงจรกรองความถี่เป็นช่วงๆ                              | 18   |
| ความถี่ทอพอและข้อแตกต่างของ Active และ Passive        | 19   |
| นิยามเบื้องต้น  | 20   |
| ผลตอบสนองของเน็ตเวอร์ทฟังก์ชัน                        | 21   |
| การประมาณขนาดแบบราบเรียบที่สุด                        | 23   |
| บทที่ 3 การคำนวณหาค่าทราเนเฟอร์ฟังก์ชัน และผลการทดลอง | 27   |
| BPF with one notch characteristics                    | 27   |
| Active notch characteristics                          | 31   |
| Tunable notch filter                                  | 33   |
| BPF with double notch characteristics                 | 35   |
| BPF with tunable notch filter                         | 36   |
| บทที่ 4 การคำนวณ Sensitivity                          | 37   |
| 4.1 การคำนวณหา Sensitivity ของวงจร                    | 37   |
| BPF with one notch characteristics                    |      |
| 4.2 การคำนวณหา Sensitivity ของวงจร                    | 48   |
| Active notch characteristics                          |      |

เอกสารนี้เป็นเอกสารที่สงวนไว้สำหรับการใช้งานเพื่อการศึกษาเท่านั้น ไม่อนุญาตให้นำไปใช้ประโยชน์ด้านการค้า  
ไม่ว่ากรณีใดๆ ทั้งสิ้น อีกทั้งห้ามมิให้ตัดแปลงเนื้อหา และต้องอ้างอิงถึงเจ้าของเอกสารทุกครั้งที่มีการนำไปใช้

## สารบัญ (ต่อ)

|   | หน้า |
|---|------|
| 4.3 การคำนวณหา Sensitivity ของวงจร<br>Tunable notch filter                      | 54   |
| บทที่ 5 การใช้โปรแกรม Mat lab ในการวิเคราะห์<br>และจำลองวงจรด้วยโปรแกรม P-Spice | 61   |
| 5.1 กล่าวนำ   | 61   |
| 5.2 การใช้โปรแกรม Mat lab ในการวิเคราะห์ห้วงจร                                  |      |
| 5.3 การใช้ P-Spice ในการวิเคราะห์ห้วงจร   | 70   |
| 5.4 ผลการทดลองโดยใช้เครื่อง Audio Analyzer                                      | 74   |
| บทที่ 6 สรุปและวิจารณ์ผลการทดลอง  | 76   |
| ภาคผนวก ก รายละเอียดของวงจร   |      |
| ภาคผนวก ข รายละเอียดของตัวอุปกรณ์   |      |
| หนังสืออ้างอิง  |      |



เอกสารนี้เป็นเอกสารที่สงวนไว้สำหรับการใช้งานเพื่อการศึกษาเท่านั้น ไม่อนุญาตให้นำไปใช้ประโยชน์ด้านการค้า  
ไม่ว่ากรณีใดๆ ทั้งสิ้น อีกทั้งห้ามมิให้ตัดแปลงเนื้อหา และต้องอ้างอิงถึงเจ้าของเอกสารทุกครั้งที่มีการนำไปใช้



## สารบัญรูป (ต่อ)

|  | หน้า |
|--|------|
| รูป 3.8 การคำนวณทางคณิตศาสตร์ วงจร Tunable notch filter                      | 33   |
| รูป 3.9 กราฟแสดง Frequency responses for the variour values of K             | 34   |
| รูป 3.10 วงจร BPF with double notch characteristics                          | 35   |
| รูป 3.11 กราฟแสดง Frequency responses for the variour values of K            | 35   |
| รูป 3.12 วงจร BPF with tunable notch filter                                  | 36   |
| รูป 3.13 กราฟแสดง Frequency responses for the variour values of K            | 36   |
| <b>บทที่ 4 การคำนวณ Sensitivity</b>  |      |
| รูป 4.1 การคำนวณทางคณิตศาสตร์ วงจร BPF                                       | 37   |
| รูป 4.2 กราฟแสดง Sensitivity (K) ของวงจร BPF with one notch characteristics  | 38   |
| รูป 4.3 กราฟแสดง Sensitivity (R) ของวงจร BPF with one notch characteristics  | 40   |
| รูป 4.4 กราฟแสดง Sensitivity (C) ของวงจร BPF with one notch characteristics  | 42   |
| รูป 4.5 กราฟแสดง Sensitivity (R2) ของวงจร BPF with one notch characteristics | 44   |
| รูป 4.6 กราฟแสดง Sensitivity (C1) ของวงจร BPF with one notch characteristics | 46   |
| รูป 4.7 กราฟแสดง Sensitivity (C2) ของวงจร BPF with one notch characteristics | 47   |
| รูป 4.8 การคำนวณทางคณิตศาสตร์ วงจร Active notch characteristics              | 48   |
| รูป 4.9 กราฟแสดง Sensitivity (K2) ของวงจร Active notch characteristics       | 49   |
| รูป 4.10 กราฟแสดง Sensitivity (Co) ของวงจร Active notch characteristics      | 50   |
| รูป 4.11 กราฟแสดง Sensitivity (R3) ของวงจร Active notch characteristics      | 52   |
| รูป 4.12 กราฟแสดง Sensitivity (C3) ของวงจร Active notch characteristics      | 53   |
| รูป 4.13 การคำนวณทางคณิตศาสตร์ วงจร Tunable notch filter                     | 54   |
| รูป 4.14 กราฟแสดง Sensitivity (K3) ของวงจร Tunable notch filter              | 55   |
| รูป 4.15 กราฟแสดง Sensitivity (Co) ของวงจร Tunable notch filter              | 56   |
| รูป 4.16 กราฟแสดง Sensitivity (C2) ของวงจร Tunable notch filter              | 57   |
| รูป 4.17 กราฟแสดง Sensitivity (C1) ของวงจร Tunable notch filter              | 59   |
| รูป 4.18 กราฟแสดง Sensitivity (R3) ของวงจร Tunable notch filter              | 60   |
| <b>บทที่ 5 การใช้โปรแกรม Mat lab ในการวิเคราะห์</b>                          |      |
| รูป 5.1 วงจร BPF with one notch characteristics                              | 61   |
| รูป 5.2 กราฟแสดงเสถียรภาพของวงจร BPF with one notch characteristics          | 62   |
| รูป 5.3 วงจร Active notch characteristics                                    | 63   |
| รูป 5.4 กราฟแสดงเสถียรภาพของวงจร Active notch characteristics                | 64   |

เอกสารนี้เป็นเอกสารที่สงวนไว้สำหรับการใช้งานเพื่อการศึกษาเท่านั้น ไม่อนุญาตให้นำไปใช้ประโยชน์ด้านการค้า ไม่ว่าจะกรณีใดๆ ทั้งสิ้น อีกทั้งห้ามมิให้ตัดแปลงเนื้อหา และต้องอ้างอิงถึงเจ้าของเอกสารทุกครั้งที่มีการนำไปใช้

## สารบัญรูป (ต่อ)

|  | หน้า |
|--|------|
| รูป 5.5 วงจร Tunable notch filter  | 64   |
| รูป 5.6 กราฟแสดงเสถียรภาพของวงจร Tunable notch filter  | 65   |
| รูป 5.7 วงจร BPF with double notch characteristics   | 66   |
| รูป 5.8 กราฟแสดงความเสถียรภาพของวงจร<br>BPF with double notch characteristics                                    | 67   |
| รูป 5.9 วงจร BPF with Tunable notch filter   | 68   |
| รูป 5.10 กราฟแสดงความเสถียรภาพของวงจร<br>BPF with Tunable notch filter   | 69   |
| รูป 5.11 กราฟแสดง Frequency responses ของวงจร<br>BPF with one notch characteristics                              | 70   |
| รูป 5.12 กราฟแสดง Frequency responses ของวงจร<br>Tunable notch filter  | 71   |
| รูป 5.13 กราฟแสดง Frequency responses ของวงจร<br>BPF with Tunable notch filter                                   | 72   |
| รูป 5.14 กราฟแสดง Frequency responses ของวงจร<br>BPF with Tunable notch filter                                   | 72   |
| รูป 5.15 กราฟแสดงการเปรียบเทียบ Frequency responses ของวงจร<br>BPF with Tunable notch filter                     | 73   |
| รูป 5.16 กราฟแสดง Frequency responses ของวงจร<br>BPF with one notch characteristics โดยใช้เครื่อง Audio Analyzer | 74   |
| รูป 5.17 กราฟแสดง Frequency responses ของวงจร<br>Tunable notch filter โดยใช้เครื่อง Audio Analyzer               | 74   |
| รูป 5.18 กราฟแสดง Frequency responses ของวงจร<br>BPF with Tunable notch filter โดยใช้เครื่อง Audio Analyzer      | 75   |

เอกสารนี้เป็นเอกสารที่สงวนไว้สำหรับการใช้งานเพื่อการศึกษาเท่านั้น ไม่อนุญาตให้นำไปใช้ประโยชน์ด้านการค้า  
ไม่ว่ากรณีใดๆ ทั้งสิ้น อีกทั้งห้ามมิให้ตัดแปลงเนื้อหา และต้องอ้างอิงถึงเจ้าของเอกสารทุกครั้งที่มีการนำไปใช้

# บทที่ 1

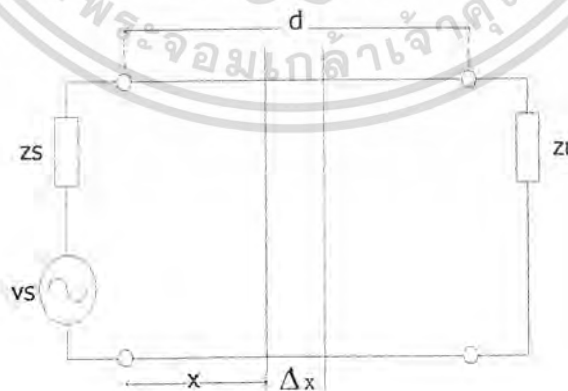
## คิสรทริบิวท์ อาร์ซีไลน์ และยูนิฟอร์มคิสรทริบิวท์ อาร์ซีไลน์

### Distributed RC Line & Uniform Distributed RC Line (URC)

ในปัจจุบันเน็ทเวอร์ทแบบคิสรทริบิวท์อาร์ซี ที่ถูกสร้งขึ้นด้วยเทคโนโลยีแบบฟิล์มบาง (Thin Film) ในการผลิตเป็นไอซี (Integrated Circuit) ซึ่งมีลักษณะโดยทั่วไปที่ดีกว่า และมีขนาดเล็กลง่าเน็ทเวอร์ทแบบลัมคัลติเม็นท์อาร์ซี ทำให้การออกแบบวงจรด้วยคิสรทริบิวท์อาร์ซีสามารถนำไปใช้งานได้ง่าย ด้วยเหตุผลนี้ เน็ทเวอร์ทแบบคิสรทริบิวท์อาร์ซีจึงถูกสร้งขึ้นมามากหลายรูปแบบ ดังเช่น การสร้งแบบฟิล์มบางแบบ Multi-layer ที่มีชั้นของตัวนำ (Conductor) , ความต้านทาน (Resistor) และฉนวน (Dielectrics) ประกอบคิสรเข้าด้วยกัน โดยมีจุดต่อมาค้ำด้านข้างของชั้นความต้านทานและตัวนำ สำหรับในการวิเคราะห์พารามิเตอร์ของคิสรทริบิวท์อาร์ซีใช้หลักการเดียวกันกับสายส่ง

### สายส่ง (Transmission Line)

การส่งพลังงานไฟฟ้าจะใช้สายส่ง (Transmission Line) โดยที่สายส่งนั้นเมื่อมีกระแสไฟฟ้าไหลผ่านก็ทำงานได้เหมือนกับว่ามีอินดักแตนซ์ (Inductance:  $L$ ) , คาปาซิแตนซ์ (Capacitance:  $C$ ) , รีซิสแตนซ์ (Resistance:  $r$ ) และคอนดักแตนซ์ (Conductance:  $g$ ) กระจายอยู่ในสายส่งที่มีค่าพารามิเตอร์  $L, C, r, g$



รูปที่ 1.1 สายส่งสัญญาณ

เอกสารนี้เป็นเอกสารที่สงวนไว้สำหรับการใช้งานเพื่อการศึกษาเท่านั้น ไม่อนุญาตให้นำไปใช้ประโยชน์ด้านการค้า ไม่ว่าจะกรณีใดๆ ทั้งสิ้น อีกทั้งห้ามมิให้ดัดแปลงเนื้อหา และต้องอ้างอิงถึงเจ้าของเอกสารทุกครั้งที่มีการนำไปใช้

$c, r, g$  ซึ่งจะไม่มีความสัมพันธ์กับระยะทางจากด้านส่งที่เรียกว่า สายส่งสัญญาณจากด้านส่งไปยังด้านรับ ณ ที่ห่างจากด้านส่งเป็นระยะ  $x$  มีขนาดย่อยๆ เป็น  $\Delta x$  ดังรูป

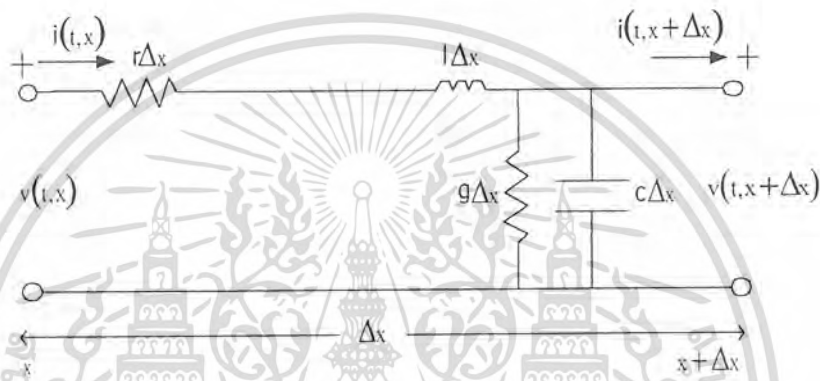
เมื่อขยาย  $\Delta x$  ออกไปจะได้วงจรตามรูปซึ่ง  $v(t, x), I(t, x)$  จะเป็นศักย์และกระแสที่จุดตามลำดับ โดยมีค่า ศิทธิปริวัตอาร์ซีพารามิเตอร์ต่างดังนี้

$r$  : Resistance [ohm/meter]

$l$  : Inductance [henry/meter]

$g$  : Conductance [mhos/meter]

$c$  : Capacitance [farads/meter]



รูปที่ 1.2 ส่วนขยายของ  $\Delta x$  ในสายส่ง

จากรูปโดยใช้กฎของแรงดันและกระแสของ Kirchhoff's สามารถเขียนเป็นสมการดังนี้

$$v(t, x + \Delta x) - v(t, x) \approx -\Delta x \left( l \frac{\partial i(t, x)}{\partial t} + ri(t, x) \right) \quad (1.1)$$

$$i(t, x + \Delta x) - i(t, x) \approx \Delta x \left( c \frac{\partial v(t, x + \Delta x)}{\partial t} + gv(t, x + \Delta x) \right) \quad (1.2)$$

เอกสารนี้เป็นเอกสารที่สงวนไว้สำหรับการใช้งานเพื่อการศึกษาเท่านั้น ไม่อนุญาตให้นำไปใช้ประโยชน์ด้านการค้า ไม่ว่าจะกรณีใดๆ ทั้งสิ้น อีกทั้งห้ามมิให้ตัดแปลงเนื้อหา และต้องอ้างอิงถึงเจ้าของเอกสารทุกครั้งที่มีการนำไปใช้

จากสมการ (1.1) ,(1.2) เมื่อกำหนดให้ลิมิตของ  $\Delta x$  เข้าใกล้ศูนย์จะได้สมการ Partial Differential คือ

$$\frac{\partial v(t,x)}{\partial x} = -l \frac{\partial i(t,x)}{\partial t} - r i(t,x) \quad (1.3)$$

$$\frac{\partial i(t,x)}{\partial x} = -c \frac{\partial v(t,x)}{\partial t} - g v(t,v) \quad (1.4)$$

จาก  $v(t, x)$  และ  $I(t, x)$  ทำการ Take Lapace Transform จะได้

$$V(s, x) = L[v(t, x)] = \int_0^{\infty} v(t, x) e^{-st} dt \quad (1.5)$$

$$I(s, x) = L[i(t, x)] = \int_0^{\infty} i(t, x) e^{-st} dt$$

เมื่อหาอนุพันธ์สมการ (1.5) เมื่อเทียบกับ  $x$  เมื่อ  $r, l, c$  และ  $g$  เป็นค่าคงที่ ซึ่งจะได้สมการของสายส่งแบบยูนิฟอร์ม ซึ่งสามารถเขียนเป็นสมการอนุพันธ์อันดับสองได้ดังนี้ คือ

$$V(s, x) = A_1 \cosh \Gamma x + A_2 \sinh \Gamma x \quad (1.6)$$

$$I(s, x) = B_1 \cosh \Gamma x + B_2 \sinh \Gamma x \quad (1.7)$$

เมื่อ  $\Gamma$  เป็นสถานะการแผ่กระจายคลื่น (Propagation Function) โดยมีค่าดังนี้

$$\Gamma = \sqrt{(ls + r)(cs + g)} \quad (1.8)$$

เอกสารนี้เป็นเอกสารที่สงวนไว้สำหรับการใช้งานเพื่อการศึกษาเท่านั้น ไม่อนุญาตให้นำไปใช้ประโยชน์ด้านการค้า ไม่ว่าจะกรณีใดๆ ทั้งสิ้น อีกทั้งห้ามมิให้ตัดแปลงเนื้อหา และต้องอ้างอิงถึงเจ้าของเอกสารทุกครั้งที่มีการนำไปใช้

สำหรับเทอม  $A_1, A_2, B_1, B_2$  เป็นค่าคงที่ และสามารถกำหนดได้คือ สำหรับสายส่งที่มีความยาวเท่ากับ  $d$  ซึ่งเป็นเน็ทเวิร์ท 2 พอร์ต โดยทางอินพุทจะเป็น  $V(s, 0), I(s, 0)$  และทางเอาต์พุทจะเป็นจากสมการที่ (1.6), (1.7) ที่  $x = 0$  จะได้

$$A_1 = V(s, 0) \quad (1.9)$$

$$B_1 = I(s, 0) \quad (1.10)$$

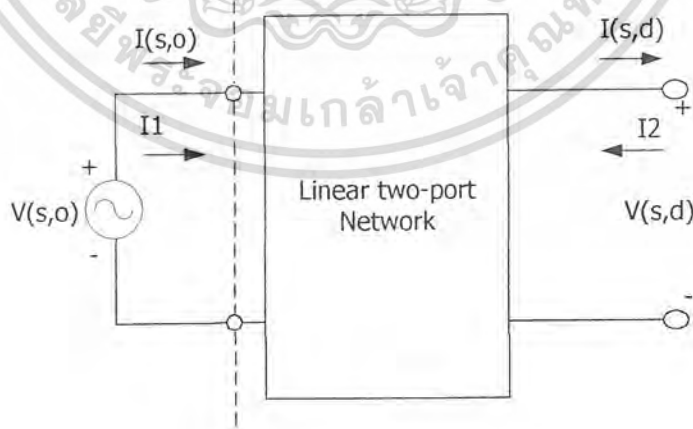
$$A_2 = -\sqrt{\frac{ls+r}{cs+g}} I(s, 0) = -Z_0 I(s, 0) \quad (1.11)$$

$$B_2 = -\sqrt{\frac{cs+g}{ls+r}} V(s, 0) = -\frac{V(s, 0)}{Z_0} \quad (1.12)$$

เมื่อ  $Z_0$  เป็นคุณลักษณะทางอิมพีแดนซ์ (Characteristic Impedance) ของยูนิฟอร์มไลน์

$$Z_0 = \frac{\sqrt{ls+r}}{cs+g} \quad (1.13)$$

ฉะนั้นทางอินพุทและเอาต์พุทพอร์ทของสายส่งที่ได้จากสมการ (1.6) ถึงสมการ (1.13) สามารถแสดงได้ดังรูปที่ 1.3



รูปที่ 1.3 แสดงอินพุทและเอาต์พุทพอร์ทของสายส่ง

เอกสารนี้เป็นเอกสารที่สงวนไว้สำหรับการใช้งานเพื่อการศึกษาเท่านั้น ไม่อนุญาตให้นำไปใช้ประโยชน์ด้านการค้า ไม่ว่าจะกรณีใดๆ ทั้งสิ้น อีกทั้งห้ามมิให้ตัดแปลงเนื้อหา และต้องอ้างอิงถึงเจ้าของเอกสารทุกครั้งที่มีการนำไปใช้

สำหรับเน็ทเวอร์ทในรูป 1.3 สามารถเขียนเป็นพารามิเตอร์ ABCD ในรูปเมตริกซ์ (Matrix) ได้ดังสมการ (1.14)

$$\begin{bmatrix} V_1 \\ I_1 \end{bmatrix} = \begin{bmatrix} A & B \\ C & D \end{bmatrix} \begin{bmatrix} V_2 \\ -I_2 \end{bmatrix} \quad (1.14)$$

ซึ่งสามารถแปลงค่าพารามิเตอร์ของเมตริกซ์เป็น Inverse Transmission Matrix จะได้สมการยูนิฟอร์มไลน์ คือ

$$\begin{bmatrix} V(s,d) \\ -I(s,d) \end{bmatrix} = \begin{bmatrix} \cosh \Gamma d & Z_0 \sinh \Gamma d \\ \frac{\sinh \Gamma d}{Z} & \cosh \Gamma d \end{bmatrix} \quad (1.15)$$

ในการทำงานเดียวกัน ในการแปลงค่าพารามิเตอร์ของเมตริกซ์ไปเป็นพารามิเตอร์ของ Open Circuit Impedance และพารามิเตอร์ของ Short Circuit Admittance จะได้ดังนี้

$$[Z] = Z_0 \begin{bmatrix} \coth \Gamma d & \operatorname{csch} \Gamma d \\ \operatorname{csch} \Gamma d & \coth \Gamma d \end{bmatrix} \quad (1.16)$$

$$[Y] = \frac{1}{Z_0} \begin{bmatrix} \coth \Gamma d & -\operatorname{csch} \Gamma d \\ -\operatorname{csch} \Gamma d & \coth \Gamma d \end{bmatrix} \quad (1.17)$$

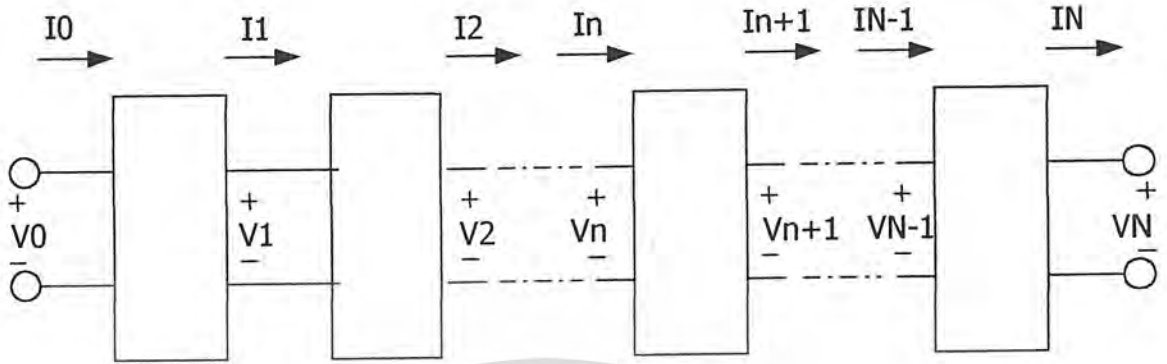
หมายเหตุ สำหรับที่มาของสมการสามารถศึกษาค้นคว้าได้จากเรื่องของสายส่ง

### โครงสร้างของลัมด์พารามิเตอร์

การประมาณโครงสร้างแบบลัมด์ (Lumped) เทียบกับโครงสร้างแบบคิสทรีบิวท์ จะต้องใช้เน็ทเวอร์ทแบบ 2 พอร์ท ที่เหมือนกับจำนวนหลายชุดประกอบเข้าด้วยกัน ดังรูป 1.4 โดยที่แต่ละชุดจะต้องมีขนาดเล็กและมีจำนวนมากเมื่อเทียบกับ 1 หน่วยความยาวจำนวนชุดของลัมด์ที่เพียงพอที่จะแสดงคุณสมบัติของคิสทรีบิวท์เน็ทเวอร์ทขึ้นอยู่กับความถี่ตรงที่เราต้องการ และ

เอกสารนี้เป็นเอกสารที่สงวนไว้สำหรับการใช้งานเพื่อการศึกษาเท่านั้น ไม่อนุญาตให้นำไปใช้ประโยชน์ด้านการค้า ไม่ว่าจะกรณีใดๆ ทั้งสิ้น อีกทั้งห้ามมิให้ตัดแปลงเนื้อหา และต้องอ้างอิงถึงเจ้าของเอกสารทุกครั้งที่มีการนำไปใช้

ช่วงความถี่ที่ใช้ในทอมเวลาคงที่ (Time Constant) ของสายถ่านเป็นไปได้อาจจะต้องใช้จำนวนชุดของลัมป์ ให้มีจำนวนใกล้เคียงอนันต์ (Infinity) จึงจะได้โครงสร้างแบบคิทรวิวัต



รูปที่ 1.4 แสดง 2-Port Network Model

สำหรับสายส่งแบบยูนิฟอร์มที่มีความยาวจำกัด สามารถประมาณโดยใช้โครงสร้างของลัมป์แบบ 2 พอร์ตจำนวนหลายๆชุด ดังรูป 1.4 ในส่วนของหนึ่งสายมีโครงสร้างแบบ T ซึ่งเขียนได้แสดงในรูป 1.5



รูปที่ 1.5 แสดง โครงสร้างแบบ T-Network

จากรูป 1.5 จะได้สมการ Inverse Transmission Matrix ของเน็ตเวิร์กแบบ 2 พอร์ต คือ

$$\begin{bmatrix} V_n \\ -I_n \end{bmatrix} = \begin{bmatrix} \cosh N\zeta & Z_2 \sinh N\zeta \\ \sinh N\zeta & \cosh N\zeta \end{bmatrix} \begin{bmatrix} V_0 \\ I_0 \end{bmatrix} \quad (1.18)$$

เอกสารนี้เป็นเอกสารที่สงวนไว้สำหรับการใช้งานเพื่อการศึกษาเท่านั้น ไม่อนุญาตให้นำไปใช้ประโยชน์ด้านการค้า ไม่ว่าจะกรณีใดๆ ทั้งสิ้น อีกทั้งห้ามมิให้ตัดแปลงเนื้อหา และต้องอ้างอิงถึงเจ้าของเอกสารทุกครั้งที่มีการนำไปใช้

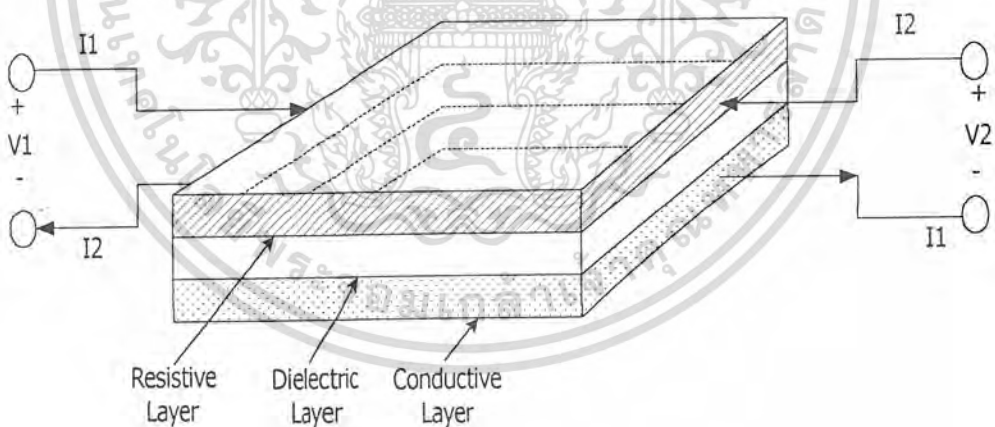
จากสมการ (1.18) ถ้าแปลงเมทริกซ์เป็นพารามิเตอร์ของ Short Circuit Admittance ซึ่งจะได้ว่า

$$[Y] = \frac{1}{Z_2 \sinh \zeta} \begin{bmatrix} \cosh N\zeta & -\operatorname{csc} hN\zeta \\ -\operatorname{csc} hN\zeta & \cosh N\zeta \end{bmatrix} \quad (1.19)$$

จากสมการ (1.19) จะเห็นว่าเหมือนกับสมการ (1.17) ของเน็ตเวิร์กแบบคิสทรีบิวท์โดยเป็นคุณลักษณะทางอิมพีแดนซ์ (Characteristic Impedance) ของสาย

### โครงสร้างของคิสทรีบิวท์อาร์ซี

เน็ตเวิร์กแบบคิสทรีบิวท์อาร์ซี สามารถทำให้อยู่ภายในไอซีโดยมี 2 พอร์ท และมีโครงสร้างดังรูปที่ 1.6 ซึ่งประกอบกันขึ้นจากส่วนต่างๆดังนี้ คือ ส่วนบนสุดจะเป็นชั้นของความต้านทาน (Resistive Layer) รองลงมาเป็นชั้นของฉนวน (Dielectric Layer) และชั้นของตัวนำ (Conductive Layer) ความหนาของแต่ละชั้นประมาณ  $10^{-5}$  นิ้ว จึงทำให้วงจรมีขนาดเล็กมาก (Microcircuits) โดยมีโครงสร้าง 2 อย่างคือ โครงสร้าง Thin-Film และโครงสร้าง Monolithic

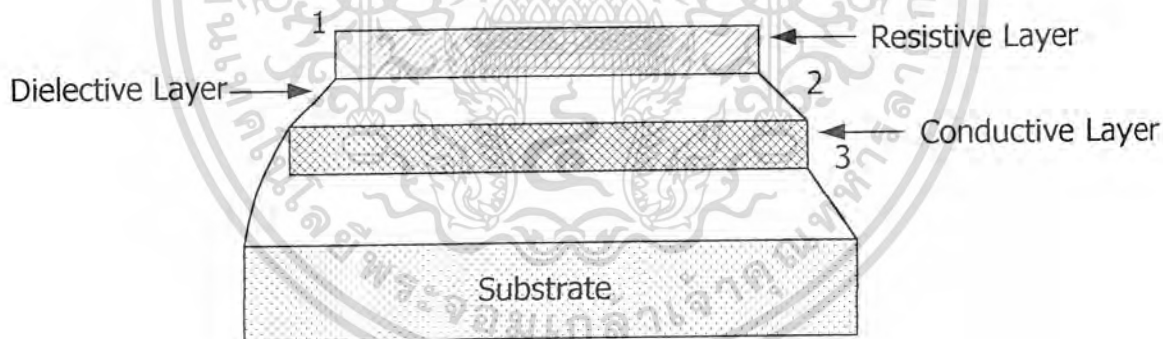


รูปที่ 1.6 แสดงโครงสร้างของพอร์ท คิสทรีบิวท์อาร์ซี

เอกสารนี้เป็นเอกสารที่สงวนไว้สำหรับการใช้งานเพื่อการศึกษาเท่านั้น ไม่อนุญาตให้นำไปใช้ประโยชน์ด้านการค้า ไม่ว่าจะกรณีใดๆ ทั้งสิ้น อีกทั้งห้ามมิให้ตัดแปลงเนื้อหา และต้องอ้างอิงถึงเจ้าของเอกสารทุกครั้งที่มีการนำไปใช้

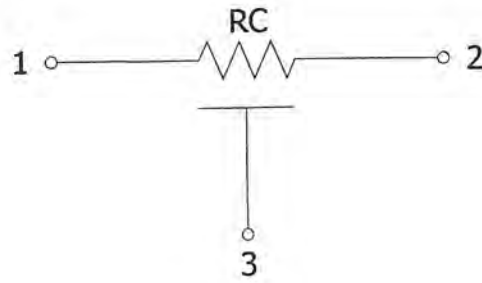
โครงสร้าง Monolithic ประกอบชั้นของสารกึ่งตัวนำ (Semiconductor) ถูกทำเป็นรูปสี่เหลี่ยมเล็กๆ ดังเช่น Distributed Resistance ได้จาก Lightly Doped ของสารกึ่งตัวนำและ Distributed Capacitance ได้จากการป้อนกระแสไบแอสกลับข้าง (Reverse Bias) ของรอยต่อภายใน P-N Junction

Microcircuit จะถูกนำมาใช้สำหรับ Distributed RC Active Network การทำงานทางไฟฟ้าจากโครงสร้างขึ้นอยู่กับคุณลักษณะของวัสดุ และรูปทรงเลขาคณิต วิธีการที่จะใช้ในการผลิตขึ้นอยู่กับข้อกำหนดขนาดของโครงสร้างคุณลักษณะการทำงานตัวอย่างโครงสร้างของวงจร Uniformly Distributed RC ซึ่งอยู่ในไอซีแสดงดังรูปที่ 1.7 (ก) และมีสัญลักษณ์ของวงจรวงจรดังรูป 1.7 (ข) และเน็ตเวิร์กแบบ 2 พอร์ต ของ Distributed RC โดยมีลักษณะเหมือนกับรูปที่ 1.8 (ข) ถ้าพิจารณาพารามิเตอร์  $r, c$  และ  $g$  เราจะได้ว่าขณะที่ความสูญเสียของการรั่วไหล (Leakage) ของความนำ  $g(x)$  ในฉนวน มีค่าน้อยเป็นที่ยอมรับได้ เมื่อค่าความนำมีค่าน้อยกว่าค่า Capacitance มากๆ จะสามารถตัดค่า  $g$  ทิ้งได้ คือให้  $g$  มีค่าเป็นศูนย์ ซึ่งจะได้ Network Distributed RC ถ้า  $r$  และ  $c$  ไม่แปรเปลี่ยนตามความยาวของ  $x$  จะเป็นแบบ Uniformly Distributed RC ในกรณีเดียวกับ ถ้า  $r$  และ  $c$  แปรเปลี่ยนตามความยาวของ  $x$  จะเป็นแบบ Non Uniformly Distributed RC ดังแสดงในรูปที่ 1.9 (ก) ในขณะที่เส้นโค้งบ่งบอกถึงเป็น Non Uniformly ถ้าเส้นใต้  $R$  เป็นเส้นตรง จะเป็น Network แบบ Uniformly Distributed RC Line ดังแสดงในรูปที่ 1.9 (ข)



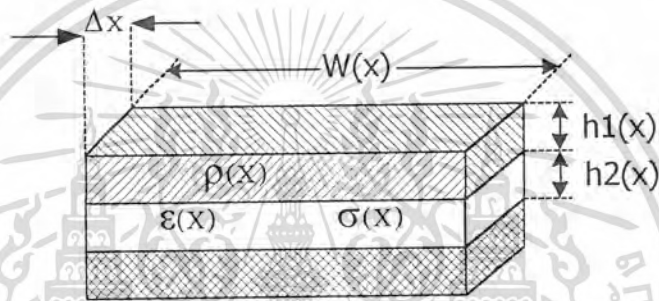
(ก) โครงสร้าง

เอกสารนี้เป็นเอกสารที่สงวนไว้สำหรับการใช้งานเพื่อการศึกษาเท่านั้น ไม่อนุญาตให้นำไปใช้ประโยชน์ด้านการค้า ไม่ว่าจะกรณีใดๆ ทั้งสิ้น อีกทั้งห้ามมิให้ตัดแปลงเนื้อหา และต้องอ้างอิงถึงเจ้าของเอกสารทุกครั้งที่มีการนำไปใช้

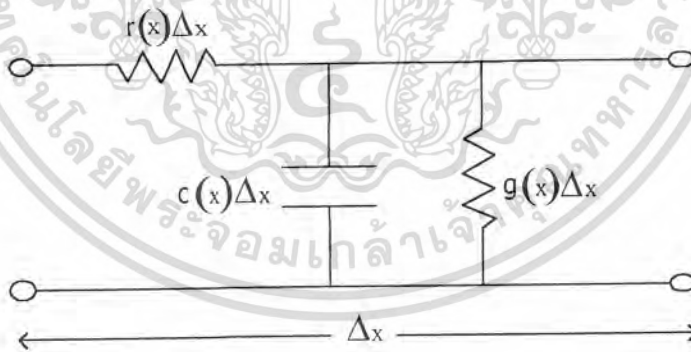


(ข) สัญลักษณ์

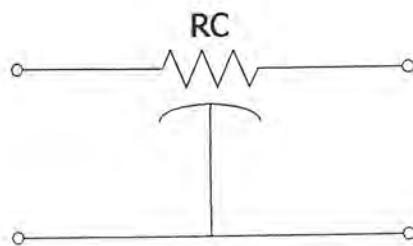
รูปที่ 1.7 แสดง โครงสร้างและสัญลักษณ์ของยูนิฟอร์มดิสทริบิวท์อาร์ซี



(ก) แสดง โครงสร้าง

(ข) วงจรเน็ทเวอร์ทของส่วนย่อย  $\Delta x$  ของดิสทริบิวท์อาร์ซีรูปที่ 1.8 แสดง โครงสร้างและวงจรวอร์ทเวอร์ทของส่วนย่อย  $\Delta x$  ของดิสทริบิวท์อาร์ซี

เอกสารนี้เป็นเอกสารที่สงวนไว้สำหรับการใช้งานเพื่อการศึกษาเท่านั้น ไม่อนุญาตให้นำไปใช้ประโยชน์ด้านการค้า ไม่ว่าจะกรณีใดๆ ทั้งสิ้น อีกทั้งห้ามมิให้ตัดแปลงเนื้อหา และต้องอ้างอิงถึงเจ้าของเอกสารทุกครั้งที่มีการนำไปใช้



(ก) Nonuniform



(ข) uniform

รูปที่ 1.9 แสดงสัญลักษณ์ของคิสตรีบิวท์อาร์ซี

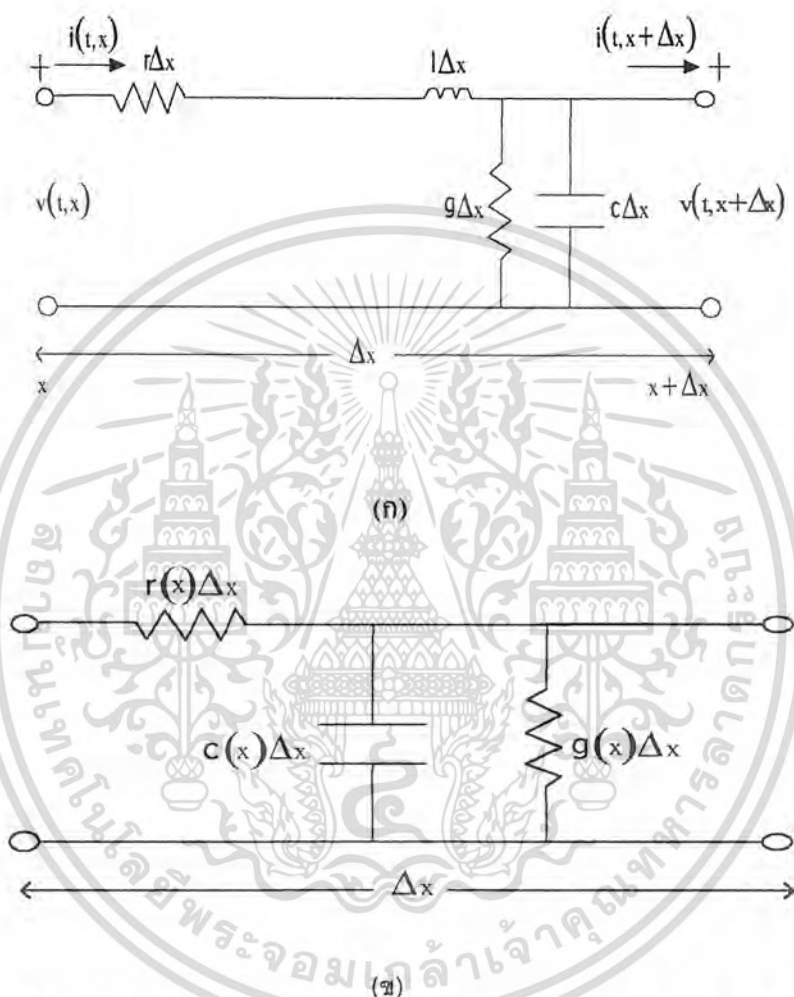
สำหรับโครงงานนี้เป็นการใช้ Double Uniformly Distributed RC Line ในการออกแบบ วงจร Filter จึงขอกล่าวถึง Network แบบ Double Uniformly Distributed RC Line และแบบ Uniformly Distributed RC Line ซึ่งค่า  $r$  และ  $c$  ไม่เปลี่ยนแปลงตามค่าของ  $x$  ความสัมพันธ์ของการเปลี่ยนแปลงแรงดันและกระแสจะเหมือนกันกับสมการ (1.15) ของ Uniformly Line โดยให้ Inductance ( $l$ ) และ Conductance ( $g$ ) มีค่าเท่ากับศูนย์ สำหรับสายที่มีช่วงความยาว  $d$  จะได้ผลรวมของความต้านทานทั้งหมด  $R = rd$  และผลรวมของค่าประจุทั้งหมด  $C = cd$  ฉะนั้นสมการ (1.16) และ (1.17) ตัว Uniformly Distributed RC สามารถเขียน พารามิเตอร์ อยู่ในรูปความต้านทาน (Impedance) และ พารามิเตอร์ความนำ (Admittance parameter) ได้คือ

$$[Z] = \sqrt{\frac{R}{SC}} \begin{bmatrix} \cosh \sqrt{SRC} & \operatorname{cosech} \sqrt{SRC} \\ \operatorname{cosech} \sqrt{SRC} & \cosh \sqrt{SRC} \end{bmatrix} \quad (1.20)$$

เอกสารนี้เป็นเอกสารที่สงวนไว้สำหรับการใช้งานเพื่อการศึกษาเท่านั้น ไม่อนุญาตให้นำไปใช้ประโยชน์ด้านการค้า ไม่ว่าจะกรณีใดๆ ทั้งสิ้น อีกทั้งห้ามมิให้ตัดแปลงเนื้อหา และต้องอ้างอิงถึงเจ้าของเอกสารทุกครั้งที่มีการนำไปใช้

$$[Y] = \sqrt{\frac{S}{RC}} \begin{bmatrix} \cosh \sqrt{SRC} & -\operatorname{csc} h \sqrt{SRC} \\ -\operatorname{csc} h \sqrt{SRC} & \cosh \sqrt{SRC} \end{bmatrix} \quad (1.21)$$

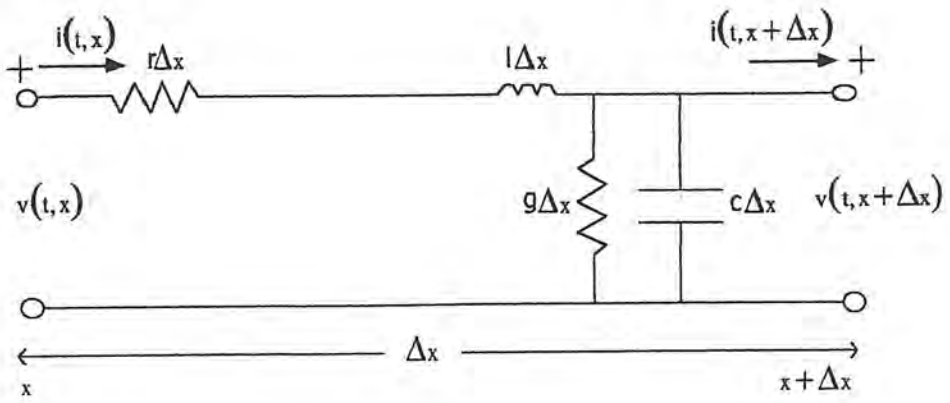
### การวิเคราะห์ค่าพารามิเตอร์ของดิสทริบิวท์อาร์ซี



รูปที่ 1.10 แสดงการเปรียบเทียบโครงสร้างของสายส่ง และดิสทริบิวท์อาร์ซี

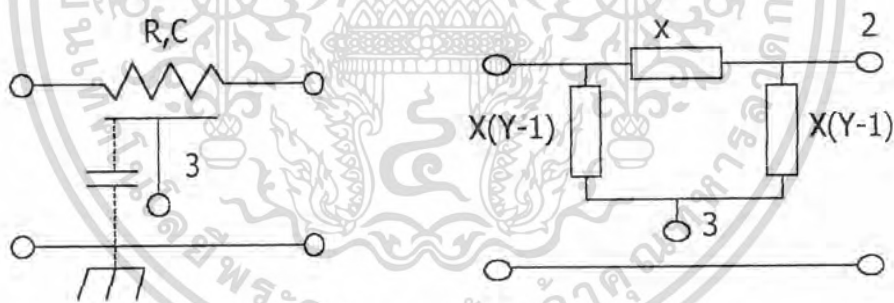
จากรูปซึ่งเป็นโครงสร้างของสายส่ง ที่มีค่าพารามิเตอร์อินดักแตนซ์  $L$ , คาปาซิเตอร์  $C$ , รีซิสเตอร์  $R$ , และคอนดักแตนซ์  $g$  กระจายอยู่ตลอดความยาวสาย ถ้าค่าพารามิเตอร์เหล่านี้ไม่มีความสัมพันธ์กับความยาวของสายส่งชนิดนี้ว่า สายส่งแบบยูนิฟอร์ม (Uniformly Transmission Line) ในทำนองโครงสร้างเหมือนกับโครงสร้างเดียวกันจากรูป (ข) ซึ่งเป็นโครงสร้างเน็ตเวิร์กแบบ 2 พอร์ตของดิสทริบิวท์อาร์ซีโดยจะมี ลักษณะสายส่งรูป (ก) ขณะที่ค่าของความนำ  $g$  นั้นมีค่าน้อยมากๆ จนสามารถตัดทิ้งก็คือค่า  $g$  เป็นศูนย์ก็จะได้เน็ตเวิร์กแบบดิสทริบิวท์อาร์ซี ดังรูป

เอกสารนี้เป็นเอกสารที่สงวนไว้สำหรับการใช้งานเพื่อการศึกษาเท่านั้น ไม่อนุญาตให้นำไปใช้ประโยชน์ด้านการค้า ไม่ว่าจะกรณีใดๆ ทั้งสิ้น อีกทั้งห้ามมิให้ตัดแปลงเนื้อหา และต้องอ้างอิงถึงเจ้าของเอกสารทุกครั้งที่มีการนำไปใช้



รูปที่ 1.11 โครงสร้างของคิสมิวท์อาร์ซี เมื่อค่าความนำ  $g$  มีค่าน้อยมากๆ

ถ้าค่าของรีซิสแตนซ์  $r$  และคาปาซิเตอร์  $c$  ไม่เปลี่ยนแปลงไปตามความยาวของ  $X$  ก็จะเป็นแบบยูนิฟอร์มคิสมิวท์อาร์ซี เช่นเดียวกับสายส่ง แต่ถ้าเปลี่ยนแปลงตามความยาวของ  $X$  ก็จะเป็นแบบนอนยูนิฟอร์มอาร์ซี สำหรับการวิเคราะห์เน็ทเวอร์ทแบบคิสมิวท์อาร์ซี นั้นจะใช้ตัวยูนิฟอร์มคิสมิวท์อาร์ซีแบบ 3 พอร์ทมาทำการวิเคราะห์ค่าพารามิเตอร์ จากรูป (ก) จะแสดงสัญลักษณ์ทางไฟฟ้าและเพื่อง่ายต่อการวิเคราะห์จะทำการแปลงสัญลักษณ์ทางไฟฟ้ามาเป็นสัญลักษณ์ทางคณิตศาสตร์รูป (ข)



(ก) สัญลักษณ์ทางไฟฟ้า

(ข) สัญลักษณ์ทางคณิตศาสตร์

$$X = \frac{\sqrt{SRC}}{R \sinh \sqrt{SRC}}$$

$$Y = \cosh \sqrt{SRC}$$

รูปที่ 1.12 แสดงสัญลักษณ์ทางไฟฟ้า และสัญลักษณ์ทางคณิตศาสตร์

เอกสารนี้เป็นเอกสารที่สงวนไว้สำหรับการใช้งานเพื่อการศึกษาเท่านั้น ไม่อนุญาตให้นำไปใช้ประโยชน์ด้านการค้า ไม่ว่าจะกรณีใดๆ ทั้งสิ้น อีกทั้งห้ามมิให้ตัดแปลงเนื้อหา และต้องอ้างอิงถึงเจ้าของเอกสารทุกครั้งที่มีการนำไปใช้

## การวิเคราะห์ทางคณิตศาสตร์เพื่อหาค่าพารามิเตอร์

โดยอาศัยหลักการ Floating Matrix เพื่อทำการหาค่าแอมิตแดนซ์พารามิเตอร์  $[Y_{ij}]$  ของนิยูฟอร์มคิสทรีบิวท์อาร์ซีสามารถกระทำได้ดังนี้เปลี่ยนสัญลักษณ์ทางไฟฟ้าเป็นสัญลักษณ์ทางคณิตศาสตร์ ดังรูป (ข)

จากเน็ทเวอร์ทของนิยูฟอร์มคิสทรีบิวท์อาร์ซีโดยใช้ Floating Matrix ทำการหาค่าแอมิตแดนซ์พารามิเตอร์ จะได้

$$\begin{bmatrix} I1 \\ 0 \\ 0 \end{bmatrix} = \begin{bmatrix} XY & -X & -X(Y-1) \\ -X & XY & -X(Y-1) \\ -X(Y-1) & -X(Y-1) & 2X(Y-1) \end{bmatrix} \begin{bmatrix} V1 \\ V2 \\ V3 \end{bmatrix} \quad (1.22)$$

$$= X \begin{bmatrix} Y & -1 & -(Y-1) \\ -1 & Y & -(Y-1) \\ -(Y-1) & -(Y-1) & 2(Y-1) \end{bmatrix} \quad (1.23)$$

$$\text{เมื่อแทนค่า } X = \frac{\sqrt{SRC}}{R \sinh \sqrt{SRC}} \text{ และ } Y = \cosh \sqrt{SRC}$$

(หมายเหตุ ค่า  $X$  และ  $Y$  ที่ถูกกำหนดนี้มาจากการวิเคราะห์ทางโครงสร้างแบบลัมค้อติเอนท์เช่นเดียวกับการสายส่ง) นั่นจะได้แอมิตแดนซ์พารามิเตอร์ของเน็ทเวอร์ทแบบนิยูฟอร์มคิสทรีบิวท์อาร์ซี คือ

$$[Y_{ij}] = \frac{\sqrt{SRC}}{R \sinh \sqrt{SRC}} \begin{bmatrix} \cos \sqrt{SRC} & -1 & 1 - \cosh \sqrt{SRC} \\ -1 & \cosh \sqrt{SRC} & 1 - \cosh \sqrt{SRC} \\ 1 - \cosh \sqrt{SRC} & 1 - \cosh \sqrt{SRC} & 2(\cosh \sqrt{SRC} - 1) \end{bmatrix} \quad (1.24)$$

เอกสารนี้เป็นเอกสารที่สงวนไว้สำหรับการใช้งานเพื่อการศึกษาเท่านั้น ไม่อนุญาตให้นำไปใช้ประโยชน์ด้านการค้า ไม่ว่าจะกรณีใดๆ ทั้งสิ้น อีกทั้งห้ามมิให้ตัดแปลงเนื้อหา และต้องอ้างอิงถึงเจ้าของเอกสารทุกครั้งที่มีการนำไปใช้

เมื่อ  $R$  และ  $C$  นั้นเป็นค่าผลรวมของรีซิสแตนซ์ และคาปาซิแตนซ์ของตัวยูนิฟอร์มดิสทริบิวท์อาร์ซี ตามลำดับ และ  $S$  เป็นตัวแปรความถี่เชิงซ้อน (Complex-Frequency) เนื่องจากการแปลงสัญลักษณ์ทางไฟฟ้าคั่งรูป (ก) ไปเป็นสัญลักษณ์ทางคณิตศาสตร์ในรูป (ข) จะทำให้ง่ายต่อการวิเคราะห์และการออกแบบเพื่อที่จะเอาตัวยูอาร์ซีไปใช้งานได้สะดวกมากขึ้น

ในทำนองเดียวกัน เมื่อใช้หลักการดังกล่าวข้างต้นมาทำการวิเคราะห์ เพื่อหาค่าพารามิเตอร์เน็ทเวอร์ทของยูนิฟอร์มดิสทริบิวท์อาร์ซีแบบ 2 พอร์ทซึ่งจะนำไปใช้ในการออกแบบวงจรตอนต่อไป

จากรูปเมื่อแปลงสัญลักษณ์ทางไฟฟ้าเป็นสัญลักษณ์เพื่อการวิเคราะห์ทางพีชคณิตแล้วอาศัยหลักการดังกล่าวจะได้

$$\begin{bmatrix} I_1 \\ 0 \end{bmatrix} = \begin{bmatrix} XY & -X \\ -X & XY \end{bmatrix} \quad (1.25)$$

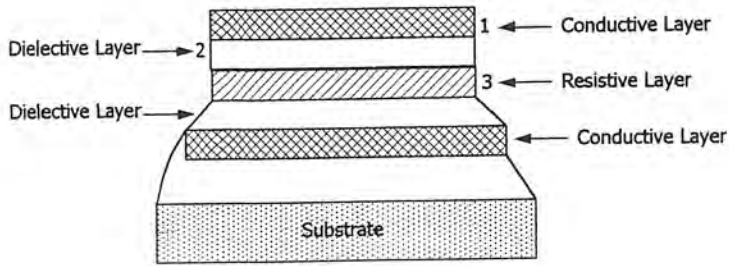
$$= X \begin{bmatrix} Y & -1 \\ -1 & Y \end{bmatrix} \quad (1.26)$$

เมื่อแทนค่าของ  $X = \frac{\sqrt{SRC}}{S \sinh \sqrt{SRC}}$  และ  $Y = \frac{\cosh \sqrt{SRC} - 1}{\cosh \sqrt{SRC}}$  จะได้

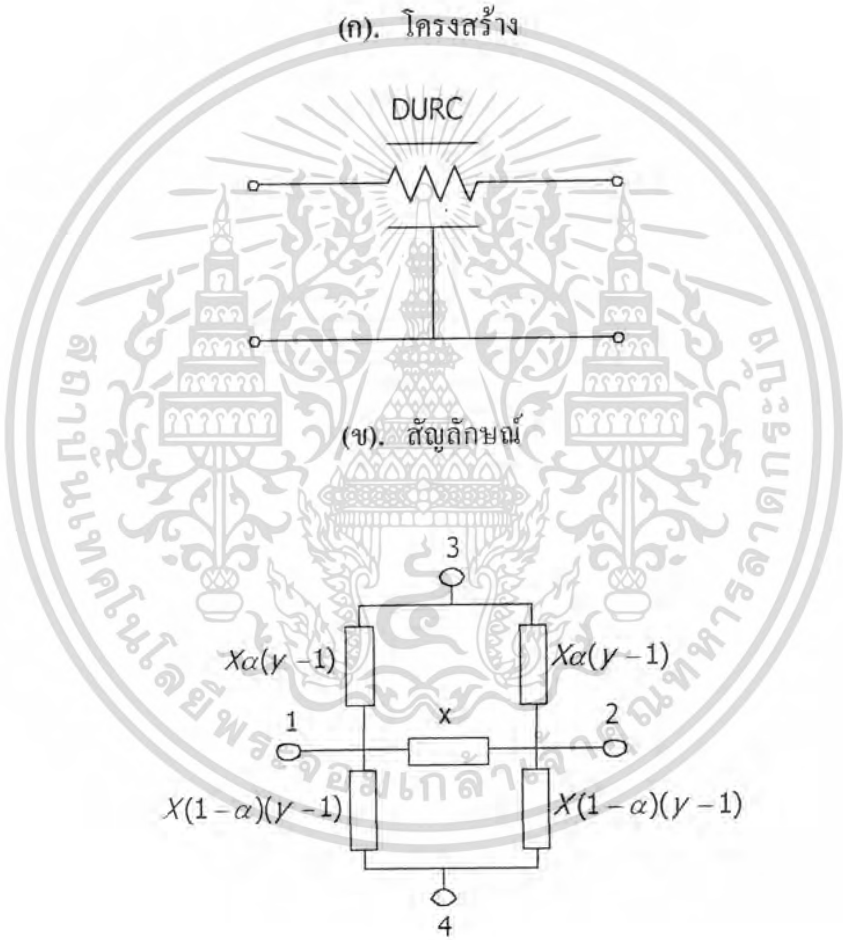
จะได้แอดมิแตนซ์พารามิเตอร์  $[Y_{ii}]$

$$[Y] = \frac{\sqrt{SRC}}{R \sinh \sqrt{SRC}} \begin{bmatrix} \cosh \sqrt{SRC} & -1 \\ -1 & \cosh \sqrt{SRC} \end{bmatrix} \quad (1.27)$$

### โครงสร้างและสัญลักษณ์ DURC



(ก). โครงสร้าง



(ข). สัญลักษณ์

(ค). สัญลักษณ์ทางคณิตศาสตร์

ค่าพารามิเตอร์ทางคณิตศาสตร์ของ DURC

$$\alpha = \frac{C_2}{C_1 + C_2}, y = \cosh P, X = \frac{P}{R \sinh P}, P = \sqrt{SR(C_1 + C_2)} \tag{1.28}$$

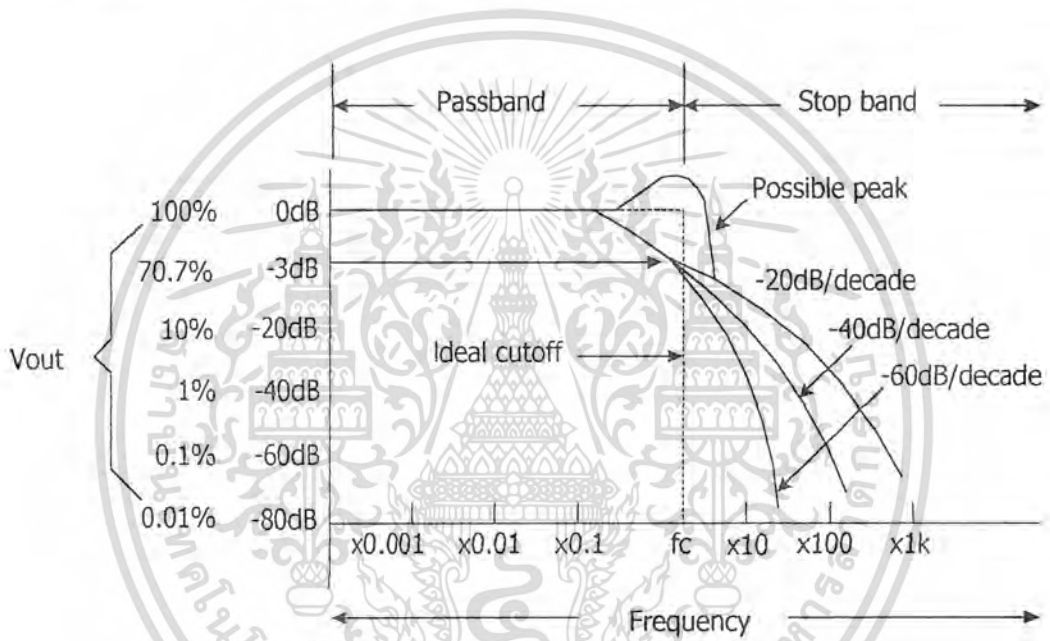
เอกสารนี้เป็นเอกสารที่สงวนไว้สำหรับการใช้งานเพื่อการศึกษาเท่านั้น ไม่อนุญาตให้นำไปใช้ประโยชน์ด้านการค้า ไม่ว่าจะกรณีใดๆ ทั้งสิ้น อีกทั้งห้ามมิให้ตัดแปลงเนื้อหา และต้องอ้างอิงถึงเจ้าของเอกสารทุกครั้งที่มีการนำไปใช้

## บทที่ 2

### วงจรกรองแบบต่างๆ

#### วงจรกรองความถี่ต่ำผ่าน (Low-pass filter)

วงจรกรองความถี่ต่ำผ่านนี้คือวงจรที่ทำหน้าที่กรองเอาความถี่ต่ำที่กำหนดให้ผ่าน ส่วนความถี่สูงกว่าที่เข้ามาถูกตัดออกไปหรือถูกบายพาส (By pass) ลงกราวด์ (Ground) นั้นเอง



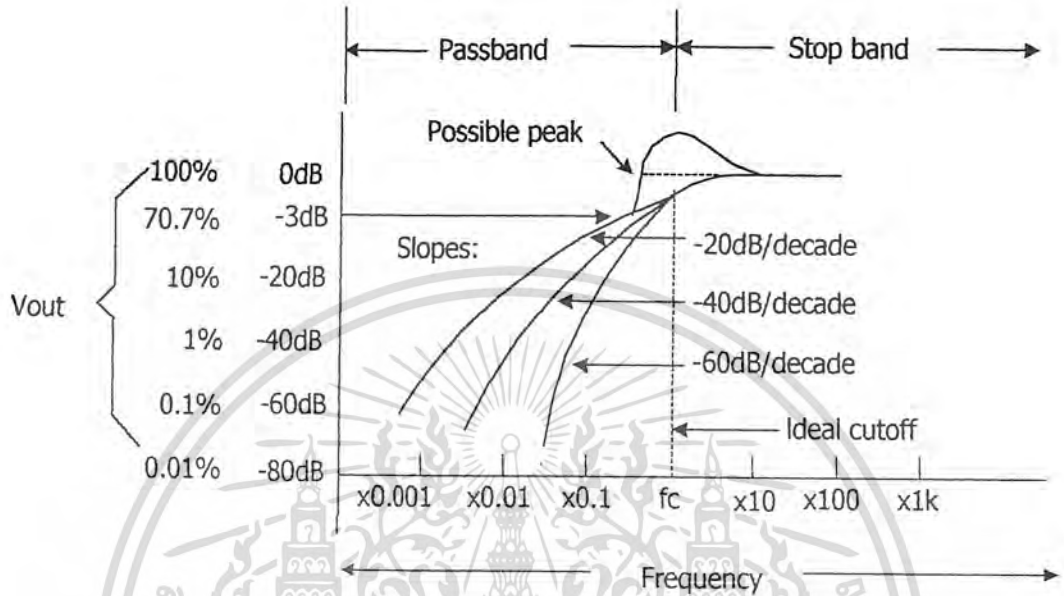
รูปที่ 2.1 แสดงการตอบสนองต่อความถี่ของวงจรกรองความถี่ต่ำ

ในทางอุดมคติ จากรูปเมื่อสัญญาณที่เข้ามามีความถี่ต่ำก็จะสามารถที่จะผ่านได้ เมื่อความถี่สูงขึ้นจนถึงค่าๆ หนึ่งก็จะไม่สามารถที่จะผ่านไปได้จะถูกตัดทิ้งไปหมด เราเรียกจุดๆนั้นว่าความถี่คัทออฟ (Cut off frequency) หรือเขียนย่อได้ว่า  $f_c$  แต่ในทางปฏิบัติจะพบว่าลักษณะของความถี่ที่ถูกตัดออกไปนี้จะไม่เป็นเช่นนั้น แต่จะค่อยๆ ถูกลดอัตราขยายลงเรื่อยๆ ลักษณะของรูปที่ได้จะมีสโลปที่ค่อยๆ ลาดลง จุดความถี่คัทออฟ ของกราฟที่ได้คือจุดที่ขนาด  $V_{out}$  เท่ากับ 0.707 ของขนาดแรงดันสูงสุด (ถ้าอัตราขยายสูงสุดเท่ากับ 0 dB จุดความถี่คัทออฟก็จะเท่ากับ -3 dB) เราเรียกช่วงของสัญญาณที่มีความถี่ต่ำกว่าช่วงพาสแบน (Pass band) และเรียกช่วงของสัญญาณที่มีความถี่สูงกว่า  $f_c$  ว่าช่วงสโตปแบนด์ (Stop band)

เอกสารนี้เป็นเอกสารที่สงวนไว้สำหรับการใช้งานเพื่อการศึกษาเท่านั้น ไม่อนุญาตให้นำไปใช้ประโยชน์ด้านการค้า ไม่ว่าจะกรณีใดๆ ทั้งสิ้น อีกทั้งห้ามมิให้ตัดแปลงเนื้อหา และต้องอ้างอิงถึงเจ้าของเอกสารทุกครั้งที่มีการนำไปใช้

### วงจรรองความถี่สูงผ่าน (Stop band)

คือวงจรที่ทำหน้าที่กรองให้ความถี่สูงที่กำหนดจะถูกกำจัดออกไป ซึ่งเราจะพบว่ามีการทำงานที่ตรงข้ามกับวงจรรองความถี่ต่ำผ่านนั่นเอง



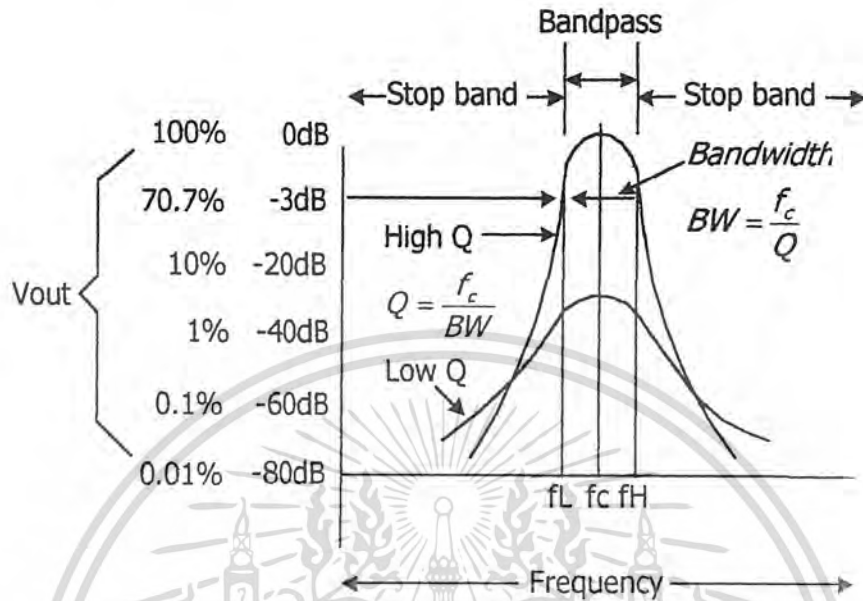
รูปที่ 2.2 แสดงการตอบสนองต่อความถี่ของวงจรรองความถี่สูง

จากรูปในทางอุดมคติเราจะเห็นได้ว่าที่ความถี่ต่ำกว่าที่จะกำหนดจะไม่ปรากฏออกมาวงจรจะให้สัญญาณเอาที่ทุกที่ต่อเมื่อความถี่ที่เข้ามาจะเท่ากับ หรือมากกว่าความถี่ที่กำหนดเท่านั้นแต่ในทางปฏิบัติเราจะเห็นได้ว่าไม่เป็นเช่นนั้น กล่าวคือสัญญาณที่มีความถี่ต่ำกว่าความถี่ที่เรากำหนดก็ จะปรากฏออกมาด้วยแต่จะมีอัตราขยายที่น้อยกว่า โดยอัตราขยายจะค่อย ๆ เพิ่มสูงขึ้นเมื่อสัญญาณ มีความถี่เข้าใกล้ความถี่ที่กำหนด จุดที่สัญญาณมีขนาดเท่ากับ 0.707 ของขนาดแรงดันสูงสุดคือ ความถี่คัทออฟ หรือ  $f_c$  หรือจุดที่มีอัตราขยายเท่ากับ -3 dB (ถ้าให้อัตราขยายสูงสุดเท่ากับ 0 dB)

เอกสารนี้เป็นเอกสารที่สงวนไว้สำหรับการใช้งานเพื่อการศึกษาเท่านั้น ไม่อนุญาตให้นำไปใช้ประโยชน์ด้านการค้า ไม่ว่าจะกรณีใดๆ ทั้งสิ้น อีกทั้งห้ามมิให้ตัดแปลงเนื้อหา และต้องอ้างอิงถึงเจ้าของเอกสารทุกครั้งที่มีการนำไปใช้

## วงจรกรองความถี่เป็นช่วงๆ (Band – pass filter)

คือวงจรเบนด์พาสฟิลเตอร์ คือวงจรที่ยอมสัญญาณบางความถี่ผ่านได้เท่านั้น จากรูปแสดง การตอบสนองความถี่เป็นช่วง



รูปที่ 2.3 แสดงการตอบสนองต่อความถี่ของวงจรกรองความถี่ช่วง

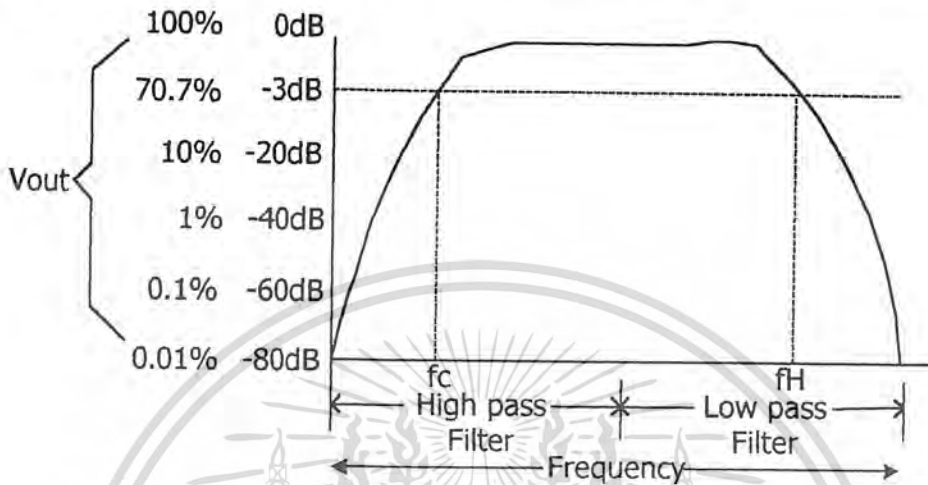
จากรูปเราจะเห็นได้ว่า ณ ความถี่เอาท์พุทที่มีขนาดสูงสุดนั้นเราเรียกว่าความถี่เรโซแนนซ์ (Resonance Frequency) และที่ความถี่ซึ่งแรงดันเอาท์พุทลดลงเหลือ 70.7% ทั้งด้านที่มีความถี่สูงขึ้นและที่ความถี่ลดลง เรียกว่าความถี่  $f_L$  และ  $f_H$  ตามลำดับ โดยที่ความแตกต่างของความถี่ทั้งสองนี้ ( $f_H - f_L$ ) จะแสดงเป็นแบนด์วิดท์ (BW) ของวงจร ถ้าแบนด์วิดท์มีขนาดต่ำกว่า ของความถี่เรโซแนนซ์ ( $f_c$ ) จะเรียกววงจรนี้ว่า วงจรกรองความถี่ช่วงแคบ แต่จะเรียกเป็นวงจรกรองความถี่ช่วงกว้าง หากแบนด์วิดท์มีค่าสูงกว่า 10% ของ  $f_c$  นอกจากนี้ยังให้คำนิยามสำหรับค่า  $Q$  (Quality Factor) ว่าเป็นอัตราส่วนระหว่างความถี่เรโซแนนซ์และแบนด์วิดท์ตามสมการ

$$Q = f_r / BW$$

เอกสารนี้เป็นเอกสารที่สงวนไว้สำหรับการใช้งานเพื่อการศึกษาเท่านั้น ไม่อนุญาตให้นำไปใช้ประโยชน์ด้านการค้า ไม่ว่าจะกรณีใดๆ ทั้งสิ้น อีกทั้งห้ามมิให้ตัดแปลงเนื้อหา และต้องอ้างอิงถึงเจ้าของเอกสารทุกครั้งที่มีการนำไปใช้

วงจรมีค่า  $f_c$  สูงมากเท่าใดแบนด์วิดท์จะยิ่งแคบเท่านั้น (เข้าใกล้วงจรมอดูลิตีซึ่งต้องการเลือกความถี่ที่ผ่านวงจรรองได้เพียงค่าเดียว) และเอาต์พุตจะมีขนาดสูงขึ้นด้วยตามเส้นประดังรูป แสดงวงจรรองความถี่ผ่านเป็นช่วงที่มี  $Q$  ค่อนข้างต่ำ

ในกรณีที่ต้องการวงจรรองความถี่เป็นช่วงๆ ที่มีช่วงกว้างมากๆ เราสามารถจะเอาวงจรรองความถี่ต่ำผ่านและวงจรรองความถี่สูงผ่านมาต่อรวมกันได้เลย เราจะได้กราฟของวงจรรองดังนี้



รูปที่ 2.4 แสดงการนำเอาวงจรรองความถี่ต่ำและวงจรรองความถี่สูงมาต่อรวมกัน

### ความถี่คัทออฟ (Cut - Off) และลักษณะโรลออฟ (Roll Off)

ความถี่คัทออฟ คือจุดหรือความถี่ที่มีขนาดของเอาต์พุตจากวงจรรองความถี่ลดลง 0.707 หรือ -3 dB ของขนาดสูงสุด ( $f_{CH}$  และ  $f_{CL}$ ) เช่น บอกว่าความถี่คัทออฟของ LPF อยู่ที่ 500 Hz คิดเป็นอัตราส่วนของเอาต์พุตต่ออินพุตที่ -3 dB แต่อินพุตคิดเป็น 0 dB ในช่วงที่ความถี่ต่ำกว่า 500 Hz จะมีอัตราส่วนแรงดันเอาต์พุต กับแรงดันอินพุต -3 dB หรือขนาดแรงดันอินพุตจะมีขนาด 0.70 เท่าของแรงดันเอาต์พุตในช่วงความถี่ที่ผ่านได้สูงสุด

โรลออฟ หรือ ฟอลออฟ (Roll Off or Fall Off) คือลักษณะการลาดลงของการสนองตอบความถี่ต่ำ จากจุดคัทออฟลงมามีความชัน (Slop) มากน้อยเพียงใดมักบอกเป็นหน่วย ดีบี/ออกเตป (dB/Octive) หมายความว่าเอาต์พุตของวงจรรองความถี่จะลดลงเท่าใด (dB) เช่นการสนองตอบของ HPF มีอัตราการโรลออฟ -6 dB/Octave หมายความว่า ณ ความถี่ต่ำกว่าจุดคัทออฟ  $f_{CH}$  จะมีเอาต์พุต -9 dB และต่ำกว่า 4 เท่าจะมีเอาต์พุต -15 dB เป็นต้น ขนาดของการ โรลออฟจะสัมพันธ์กับอันดับจะมีความสัมพันธ์กับค่าโรลออฟ โดยที่อันดับสูงๆของค่าโรลออฟจะสูงด้วยเช่นบอกว่างจรรองความถี่อันดับหนึ่งมีโรลออฟ -6 dB/Octave แล้ว วงจรรองความถี่อันดับสองจะมีโรลออฟวงจรรองความถี่อันดับสามจะมีโรลออฟ -12 dB/Octave จะเห็นว่าค่าโรลออฟจะมีค่าเป็น

เอกสารนี้เป็นเอกสารที่สงวนไว้สำหรับการใช้งานเพื่อการศึกษาเท่านั้น ไม่อนุญาตให้นำไปใช้ประโยชน์ด้านการค้า ไม่ว่าจะกรณีใดๆ ทั้งสิ้น อีกทั้งห้ามมิให้ตัดแปลงเนื้อหา และต้องอ้างอิงถึงเจ้าของเอกสารทุกครั้งที่มีการนำไปใช้

จำนวนเท่าตามอันดับ ดังนั้นจำนวนอันดับจะบอกได้ว่าวงจรกรองความถี่นั้น ๆ จะสามารถตัดความถี่ที่ไม่ต้องการทิ้งได้มากน้อยเพียงใด ซึ่งการสร้างแอกทีฟฟิลเตอร์ อันดับสูง ๆ จะทำได้ยากกว่ากว่าวงจรกรองความถี่อันดับต่ำ

### นิยามเบื้องต้น (Preliminary Definition)

ถ้า  $x(t)$  เป็นสัญญาณเข้าทางวงจรกรอง และ  $y(t)$  เป็นสัญญาณออกจากวงจร ค้างรูป และจากการทำลาปลาซทรานสฟอร์ม (Laplace Transform) จะได้

$$Y(s) = H(s)X(s)$$



รูปที่ 2.5 การแทนสัญลักษณ์ของวงจรกรองความถี่

ในที่นี้  $S = 0 + j\omega$  เป็นความถี่เชิงซ้อน (Complex Frequency) ปริมาณ  $Y(s)$  และ  $X(s)$  เป็นลาปลาซทรานสฟอร์ม  $Y(s)$  และ  $X(s)$  ตามลำดับ และในที่นี้  $H(s)$  คือฟังก์ชันของวงจร (Network function) ซึ่งเป็นอัตราส่วนของตัวแปรของสัญญาณออกต่อตัวแปรของสัญญาณเข้าที่ถูกแปลงแล้ว

เมื่อ  $S = j\omega$  ( $\omega$  ในหน่วยเรเดียนต่อวินาที) ฟังก์ชันของวงจรเป็นฟังก์ชันเชิงซ้อนซึ่งอาจเขียนใหม่ได้ดังนี้

$$H(j\omega) = |H(j\omega)|e^{-j\phi(\omega)}$$

ในที่นี้  $H(j\omega)$  คือผลตอบสนองทางขนาด (Amplitude หรือ Magnitude Response)

$\phi(\omega)$  คือผลตอบสนองทางเฟส (Phase Response)

ต่อจากนี้จะพิจารณากรณีของฟังก์ชันหรือทรานเฟอร์ฟังก์ชัน (Transfer Function) ที่มี ความหน่วง (Delay)

$$H(j\omega) = e^{-j\omega T}$$

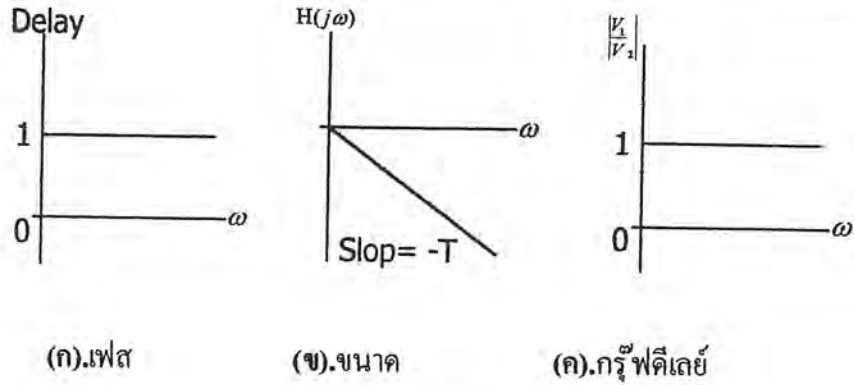
ผลตอบสนองทางขนาด  $H(j\omega) = 1$

ผลตอบสนองทางเฟส  $\phi(\omega) = -\omega T$

และกรู๊ปดีเลย์  $\omega = -\frac{d\phi(\omega)}{d\omega}$  วินาที

เอกสารนี้เป็นเอกสารที่สงวนไว้สำหรับการใช้งานเพื่อการศึกษาเท่านั้น ไม่อนุญาตให้นำไปใช้ประโยชน์ด้านการค้า ไม่ว่าจะกรณีใดๆ ทั้งสิ้น อีกทั้งห้ามมิให้ตัดแปลงเนื้อหา และต้องอ้างอิงถึงเจ้าของเอกสารทุกครั้งที่มีการนำไปใช้

ตั้งรูป ก ข ค แสดงคุณสมบัติทางเฟส ขนาด และขนาดของดีเลย์  $H(j\omega) = e^{-j\omega T}$



รูปที่ 2.6 แสดงคุณสมบัติในอุดมคติของ (ก). เฟส (ข). ขนาด (ค). กรูฟดีเลย์

ผลตอบสนองและกรูฟดีเลย์มีความสำคัญมากขึ้น โดยสำหรับงานที่ไม่ต้องการใช้สัญญาณ สังกะยัณห์ (Distort) หลังจากออกจากวงจรของความถี่แล้ว นั่นคือ การเพี้ยนของสัญญาณ จะไม่เกิดขึ้นเมื่อเป็นเฟสเชิงเส้น (Linear) และกรูฟดีเลย์คงที่ นอกจากนี้ผลตอบสนองทางเฟสและกรูฟดีเลย์จะมีความสำคัญหรือไม่ขึ้นอยู่กับงานเฉพาะอย่างอีกด้วย

#### ผลตอบสนองของเน็ตเวิร์กฟังก์ชัน

- ผลตอบสนองทางขนาด (Magnitude Response)
- ผลตอบสนองทางเฟส (Phase Response)
- ผลตอบสนองเวลาหน่วง (Time Delay response)

ผลตอบสนองทั้งสามนี้จะถูกพิจารณาเปรียบเทียบกับความถี่ของสัญญาณอินพุท ที่มีการเปลี่ยนแปลงไป ก่อนอื่นจะพิจารณาความสัมพันธ์ของผลตอบสนองทางขนาดและทางเฟส ในตำแหน่งของโพลและซีโรของเน็ตเวิร์กฟังก์ชันใดๆ

ทรานส์เฟอร์ฟังก์ชันของเน็ตเวิร์กที่ทั่วไป สามารถเขียนอยู่ในรูป

$$G(s)H = \frac{(s - z_1)(s - z_2)\dots(s - z_m)}{(s - p_1)(s - p_2)\dots(s - p_n)}$$

โดยที่

$H$  = อัตราขยายที่มีค่าคงที่

$z_i (i = 1, 2, \dots, m)$  = ตำแหน่งซีโร อันดับที่

$p_i (i = 1, 2, \dots, n)$  = ตำแหน่งโพลอันดับที่

พิจารณาผลตอบสนองในสถานะเสถียรของสัญญาณรูปไซน์ ซึ่ง  $S$  มีค่าเท่ากับ  $j\omega$

เอกสารนี้เป็นเอกสารที่สงวนไว้สำหรับการใช้งานเพื่อการศึกษาเท่านั้น ไม่อนุญาตให้นำไปใช้ประโยชน์ด้านการค้า ไม่ว่ากรณีใดๆ ทั้งสิ้น อีกทั้งห้ามมิให้ตัดแปลงเนื้อหา และต้องอ้างอิงถึงเจ้าของเอกสารทุกครั้งที่มีการนำไปใช้

$$G(j\omega)H = \frac{(j\omega - z_1)(j\omega - z_2)\dots(j\omega - z_m)}{(j\omega - p_1)(j\omega - p_2)\dots(j\omega - p_n)}$$

ถ้าให้  $S_i$  แทน  $Z_i$  หรือ  $p_i$  โดยที่

$$S_i = \alpha + j\beta_i$$

จะได้แต่ละเทอมโพลหรือซีโรเป็น

$$(j\omega - S_i) = -\alpha + j(\omega - \beta_i) = M_i e^{-j\theta}$$

ซึ่งมีขนาด

$$M_i = \sqrt{\alpha_i^2 + (\omega - \beta_i)^2}$$

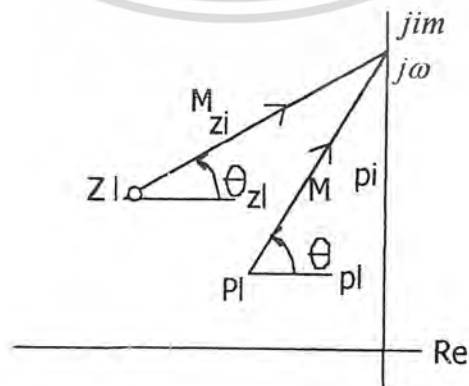
และเฟส

$$\phi_i = \tan^{-1} \frac{\omega - \beta_i}{-\alpha_i}$$

สมการจึงเขียนใหม่ได้เป็น

$$G(j\omega) = H \frac{M_{z1} e^{-j\theta_{z1}} M_{z2} e^{-j\theta_{z2}} \dots M_{zm} e^{-j\theta_{zm}}}{M_{p1} e^{-j\theta_{p1}} M_{p2} e^{-j\theta_{p2}} \dots M_{pn} e^{-j\theta_{pn}}}$$

$$= M(\omega) e^{-j\theta(\omega)}$$



เอกสารนี้เป็นเอกสารที่สงวนไว้สำหรับการใช้งานเพื่อการศึกษาเท่านั้น ไม่อนุญาตให้นำไปใช้ประโยชน์ด้านการค้า ไม่ว่าจะกรณีใดๆ ทั้งสิ้น อีกทั้งห้ามมิให้ตัดแปลงเนื้อหา และต้องอ้างอิงถึงเจ้าของเอกสารทุกครั้งที่มีการนำไปใช้

หรืออาจจะสรุปได้ว่า ผลตอบสนองทางขนาด  $M(\omega)$  คือค่าของ  $H$  คูณกับผลคูณของขนาดของเวกเตอร์ที่ลากจากตำแหน่งซีโร ไปยังความถี่  $\omega$  บนแกนจินตภาพหารด้วยผลคูณของเวกเตอร์ที่ลากจากตำแหน่งโพล ไปยังความถี่  $\omega$  เดียวกัน ส่วนผลตอบสนองทางเฟส  $\phi(\omega)$  คือผลรวมของเวกเตอร์ซีโรลบด้วยผลของมุมเวกเตอร์โพล ดังรูป

ผลตอบสนองเวลาที่หน่วง หาได้จากการพิจารณาสัญญาณในโดเมนของเวลา โดยสมมติสัญญาณอินพุต  $V_1$  ซึ่งป้อนเข้ากับเน็ทเวอร์ทที่มีค่าหน่วงเวลา  $D$  จึงจะให้สัญญาณเอาต์พุต  $V_2$  นั้นเอง

$$V_2(t) = V_1(t - D)$$

เนื่องจากสัญญาณใดๆ เกิดจากองค์ประกอบของสัญญาณไซน์เสมอ จึงกำหนด

ดังนั้น

$$V_1 = A \sin(\omega\tau + \phi)$$

หรือ

$$V_2 = A \sin[\omega(\tau - D) + \phi]$$

จากสมการ และจะเห็นได้ว่าสัญญาณเอาต์พุตมีเฟสต่างจากสัญญาณอินพุตคือ

$$V_2 = A \sin(\omega\tau - \omega D + \phi)$$

นิยามของฟังก์ชันหน่วงเวลาได้จากการหาอนุพันธ์ของเทียบกับ

$$\phi = -\omega D$$

$$D = -\frac{d\phi}{d\omega}$$

ดังนั้น ผลตอบสนองเวลาหน่วง ก็คือค่าลบของการอนุพันธ์ผลตอบสนองทางเฟสนั้นเอง

### การประมาณขนาดแบบราบเรียบที่สุด (Maximally Flat Magnitude Approximation)

ทำได้โดยเริ่มจากความสัมพันธ์ของฟังก์ชันของขนาด กับทรานเฟอร์ฟังก์ชันของเน็ทเวอร์ทใดๆ ที่ว่า

$$|N(j\omega)|^2 = N(j\omega)N^*(j\omega) = N(j\omega)N(-j\omega) \quad (2.1)$$

แต่เนื่องจาก

$$N(s) = \frac{b_0 + b_1s + b_3s^2 + b_3s^3 + b_4s^4 + \dots}{a_0 + a_1s + a_2s^2 + a_3s^3 + a_4s^4 + \dots} \quad (2.2)$$

$$N(j\omega) = \frac{b_0 - b_2\omega^2 + b_4\omega^4 - \dots + j(b_1\omega - b_3\omega^3 + \dots)}{a_0 - a_2\omega^2 + a_4\omega^4 - \dots + j(a_1\omega - a_3\omega^3 + \dots)} \quad (2.3)$$

แทนค่าในสมการที่ 2.3 ลงทางขวามือของสมการที่ 2.1 จะได้คุณสมบัติแรกของ  $|N(j\omega)|^2$  มีค่าเป็นอัตราส่วนของโพลิโนเมียลกำลังเลขคู่ จากสมการที่ 1-1 ถ้าให้  $\omega = \frac{s}{j}$  และกำหนดฟังก์ชัน  $T(s^2)$  ดังนี้

$$T(s^2) = |N(j\omega)|^2 \Big|_{\omega = \frac{s}{j}} = N(s)N(-s) \quad (2.4)$$

จากสมการที่ 2.4 จะเห็นได้ว่า ตำแหน่งโพลและ ซีโร ของ  $T(s^2)$  จะมีความสมมาตรทางควอดรนต์ (Quadrants Symmetry) ในระนาบของ  $s$  เสมอ กล่าวคือมีค่าอยู่ในตำแหน่งที่สมมาตรทั้งทางซีกขวาและซีกซ้ายของระนาบอ้างอิงจากจุดกำเนิด ซึ่งเป็นเงื่อนไขที่จำเป็นที่ทำให้  $T(s^2)$  ให้มีค่าเท่ากับผลคูณ  $N(s)N(-s)$  โดยทั่วไปโพลิโนเมียลเศษและส่วนของ  $T(s^2)$  สามารถแยกองค์ประกอบได้อยู่ใน 3 รูปแบบดังนี้

2.4.1  $s^4 + as^2 + b$  มีรากเป็นจำนวนเชิงซ้อนที่สมมาตรทางควอดรนต์

2.4.2  $s^2 - a$  ( $a > 0$ ) มีรากเป็นจำนวนจริงที่ระยะห่างจากจุดกำเนิดไปทาง ซ้ายและขวาของระนาบเท่ากับ  $\sqrt{a}$

2.4.3  $s^2 + a$  ( $a > 0$ ) มีรากเป็นจำนวนจินตภาพที่อยู่บนแกน  $j\omega$  ที่ระยะห่างจากจุดกำเนิดเท่ากับ  $\sqrt{a}$  เช่นกัน

จากที่กล่าวมา จะเห็นว่าถ้าฟังก์ชันขนาดกำลังสอง  $|N(j\omega)|$  ของฟังก์ชันเศษส่วน  $N(s)$  มาให้ โดยมีเงื่อนไขว่า

- ฟังก์ชัน  $|n(j\omega)|^2$  เป็นอัตราส่วนของโพลิโนเมียลกำลังคู่ในเทอม

เอกสารนี้เป็นเอกสารที่สงวนไว้สำหรับการใช้งานเพื่อการศึกษาเท่านั้น ไม่อนุญาตให้นำไปใช้ประโยชน์ด้านการค้า ไม่ว่าจะกรณีใดๆ ทั้งสิ้น อีกทั้งห้ามมิให้ตัดแปลงเนื้อหา และต้องอ้างอิงถึงเจ้าของเอกสารทุกครั้งที่มีการนำไปใช้

- ฟังก์ชัน  $T(s^2)$  ซึ่งนิยาม ต้องมีจำนวนโพลหรือซีโรบนแกน  $j\omega$  เป็นของเลขจำนวนคู่  
 เส้นไขทั้งสองนี้ย่อมพอเพียงสำหรับการแยกองค์ประกอบของ  $T(s^2)$  ที่อยู่ในรูปผลคูณ  
 $N(s)N(-s)$  โดยเลือกเอาครึ่งหนึ่งของโพลทั้งหมดจาก  $T(s^2)$  ได้แก่โพลที่อยู่ทางซ้ายมือของ  
 ระนาบกับครึ่งหนึ่งของคูโพลบนแกน  $j\omega$  ให้เป็นโพลของ  $n(s)$  และทำนองเดียวกันก็เลือกเอา  
 ครึ่งหนึ่งของซีโร  $T(s^2)$  ซึ่งอาจจะเป็นซีโรทางซ้ายมือหรือขวามือก็ได้ กับครึ่งหนึ่งของซีโรบน  
 แกน  $j\omega$  ให้เป็นซีโรของ  $N(s)$  การจำกัดให้เลือกใช้โพลทางซ้ายมือของระนาบจาก  $T(s^2)$  นี้  
 เนื่องจากการพิจารณาในด้านการเสถียรภาพของฟังก์ชันนั่นเอง

ฟังก์ชันขนาดกำลังสองที่อธิบายมานี้สามารถนำไปใช้ได้ทั่วไปสำหรับในที่นี้จะแสดงให้เห็นถึงฟังก์ชันขนาดกำลังสองที่มีความถี่ในย่านค่าๆ ตั้งแต่ ศูนย์ ที่มีความราบเรียบที่สุดเท่าที่จะเป็น  
 ไปได้ซึ่งทำได้โดยการให้สมการอนุพันธ์อันดับต่างๆ เท่าที่จะเป็นไปได้ของฟังก์ชันที่มีค่าเป็นศูนย์  
 ที่  $\omega = 0$  rad/s ฟังก์ชันชนิดนี้เรียกว่า แมกซ์ิมัลลีแฟลท(Maximally Flat) ก่อนอื่น พิจารณาฟังก์  
 ชันขนาดกำลังสอง  $|N(j\omega)|^2$  ในรูปทั่วไปคือ

$$|N(j\omega)|^2 = H^2 \frac{1 + b_1\omega^2 + b_2\omega^4 + \dots}{1 + a_1\omega^2 + a_2\omega^4 + \dots} \quad (2.5)$$

ทำการหาร โพลีโนเมียลเศษด้วยโพลีโนเมียลด่วน จะได้

$$|N(j\omega)|^2 = H^2 [1 + (b_1 - a_2)\omega^2 + (b_2 - a_2 + a_1^2 - a_1b_1)\omega^4 + \dots] \quad (2.6)$$

และมาพิจารณาอนุกรมแม็คคลอริน (Maclaurin Series) หรือการกระจายอนุกรมเทเลอร์  
 (Taylor) รอบจุดกำเนิดฟังก์ชัน  $F(\omega)$  ใดๆ ซึ่งอยู่ในรูป

$$F(\omega) = F(0) + \frac{F^1\omega \big|_{\omega=0}}{1!} + \frac{F^2\omega \big|_{\omega=0}}{2!} + \frac{F^3\omega \big|_{\omega=0}}{3!} + \dots$$

เมื่อ  $F^i$  คืออนุพันธ์อันดับที่  $i$  ของ  $F(\omega)$  ซึ่งแทนค่า  $\omega = 0$  เปรียบเทียบสมการนี้กับสม  
 การ  $|N(j\omega)|^2$  ที่มีอนุพันธ์จำนวนที่เป็นศูนย์อยู่แล้ว และเพื่อที่จะอนุพันธ์อันดับสองมีค่าเป็นศูนย์  
 จะต้องให้สัมประสิทธิ์  $a_1$  เท่ากับ  $b_1$  ในทำนองเดียวกัน สำหรับอนุพันธ์อันดับสี่จะต้องเป็นศูนย์

เอกสารนี้เป็นเอกสารที่สงวนไว้สำหรับการใช้งานเพื่อการศึกษาเท่านั้น ไม่อนุญาตให้นำไปใช้ประโยชน์ด้านการค้า  
 ไม่ว่ากรณีใดๆ ทั้งสิ้น อีกทั้งห้ามมิให้ตัดแปลงเนื้อหา และต้องอ้างอิงถึงเจ้าของเอกสารทุกครั้งที่มีการนำไปใช้

ต่อเมื่อ  $a$  เท่ากับ  $b$  เป็นคี่ ดังนั้น รูปทั่วไปของฟังก์ชันขนาดกำลังสอง  $|N(j\omega)|^2$  ในสมการ 2.5 จะมีค่าความราบเรียบที่สุดก็ต่อเมื่อ  $a_1 = b_1$

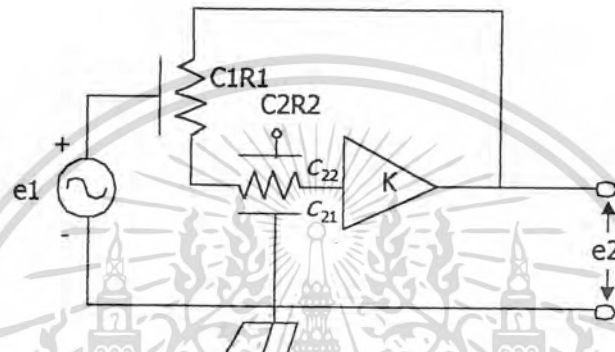


เอกสารนี้เป็นเอกสารที่สงวนไว้สำหรับการใช้งานเพื่อการศึกษาเท่านั้น ไม่อนุญาตให้นำไปใช้ประโยชน์ด้านการค้า ไม่ว่าจะกรณีใดๆ ทั้งสิ้น อีกทั้งห้ามมิให้ตัดแปลงเนื้อหา และต้องอ้างอิงถึงเจ้าของเอกสารทุกครั้งที่มีการนำไปใช้

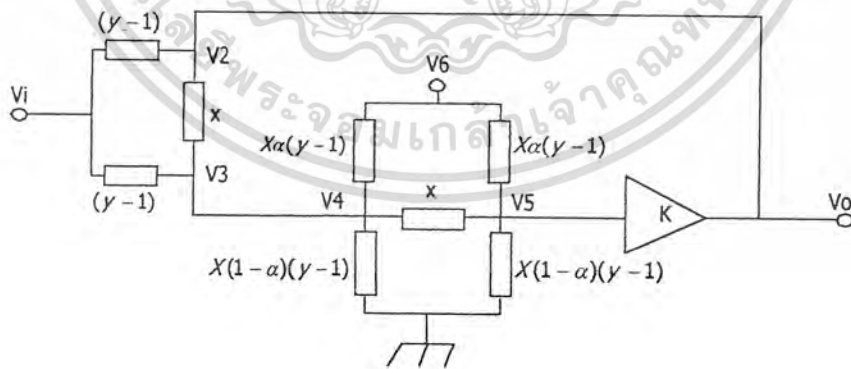
## บทที่ 3

### การคำนวณหาค่าทรานเฟอร์ฟังก์ชัน

#### 1) BPF with one notch characteristics



รูป 3.1 วงจร BPF



รูป 3.2 การคำนวณทางคณิตศาสตร์

เอกสารนี้เป็นเอกสารที่สงวนไว้สำหรับการใช้งานเพื่อการศึกษาเท่านั้น ไม่อนุญาตให้นำไปใช้ประโยชน์ด้านการค้า ไม่ว่าจะกรณีใดๆ ทั้งสิ้น อีกทั้งห้ามมิให้ตัดแปลงเนื้อหา และต้องอ้างอิงถึงเจ้าของเอกสารทุกครั้งที่มีการนำไปใช้

## สมการ DURC

$$\alpha = \frac{C_2}{C_1 + C_2}, y = \cosh p, X = \frac{p}{R \sinh p}, p = \sqrt{SR(C_1 + C_2)}$$

$$\begin{bmatrix} I1 \\ I2 \\ I3 \\ I4 \end{bmatrix} = X \begin{bmatrix} y & -1 & -\alpha(y-1) & -(\alpha-1)(y-1) \\ -1 & y & -\alpha(y-1) & -(\alpha-1)(y-1) \\ -\alpha(y-1) & -\alpha(y-1) & \frac{\alpha(1-\alpha)p^2}{XR} + 2\alpha^2(y-1) & -\frac{\alpha(1-\alpha)p^2}{XR} + 2\alpha(1-\alpha)(y-1) \\ -(\alpha-1)(y-1) & -(\alpha-1)(y-1) & -\frac{\alpha(1-\alpha)p^2}{XR} + 2\alpha(1-\alpha)(y-1) & \frac{\alpha(1-\alpha)p^2}{XR} + \alpha(1-\alpha)^2(y-1) \end{bmatrix} \begin{bmatrix} V1 \\ V2 \\ V3 \\ V4 \end{bmatrix}$$

## ที่จุดที่ 4

$$0 = -\alpha_2(y_2 - 1)v_1 - \alpha_2(y_2 - 1)v_2 + \left(\frac{\alpha_2(1 - \alpha_2)p_2^2}{x_2 R_2} + 2\alpha_2^2(y_2 - 1)\right)v_3$$

$$v_3 = \frac{\alpha_2(y_2 - 1)(v_1 + v_2)}{\alpha_2(1 - \alpha_2)p_2 \sinh p_2 + 2\alpha_2^2(y_2 - 1)}; X = \frac{p}{R \sinh p}, y = \cosh p$$

(3.1)

## ที่จุดที่ 2

$$0 = -v_1 + y_2 v_2 - \alpha_2(y_2 - 1)v_3$$

$$v_1 = y_2 v_2 - \alpha_2(y_2 - 1) \left( \frac{\alpha_2(y_2 - 1)(v_1 + v_2)}{\alpha_2(1 - \alpha_2)p \sinh p + 2\alpha_2^2(y_2 - 1)} \right)$$

$$\left( 1 + \frac{\alpha_2^2(y_2 - 1)^2}{\alpha_2(1 - \alpha_2)p \sinh p + 2\alpha_2^2(y_2 - 1)} \right) v_1 = \left( y_2 - \frac{\alpha_2^2(y_2 - 1)^2(v_1 + v_2)}{\alpha_2(1 - \alpha_2)p \sinh p + 2\alpha_2^2(y_2 - 1)} \right) v_2$$

$$(\alpha_2(1 - \alpha_2)p \sinh p + 2\alpha_2^2(y_2 - 1))v_1 = (\alpha_2 y_2(1 - \alpha_2)p \sinh p + 2y_2 \alpha_2^2(y_2 - 1) + \alpha_2^2(y_2 - 1)v_1 + \alpha_2^2(y_2 - 1)v_2)$$

$$((1 - \alpha_2)p \sinh p + \alpha_2(y_2^2 - 1))v_1 = (y_2(1 - \alpha_2)p \sinh p + \alpha_2(y_2^2 - 1))v_2$$

$$((1 - \alpha_2)p + \alpha_2 \sinh p)v_1 = ((1 - \alpha_2)p \cosh p + \alpha_2 \sinh p)v_2$$

$$\frac{v_1}{v_2} = \frac{(1 - \alpha_2)p \cosh p + \alpha_2 \sinh p}{(1 - \alpha_2)p + \alpha_2 \sinh p}$$

(3.2)

## ที่จุดที่ 1

$$I_1' = x_2 y_2 v_1 - x_2 v_2 - \alpha_2 x_2 (y_2 - 1)v_3$$

$$I_1 = x_1 y_1 v_1 - x_1 v_0 - x_1 (y_1 - 1)v_i$$

เอกสารนี้เป็นเอกสารที่สงวนไว้สำหรับการใช้งานเพื่อการศึกษาเท่านั้น ไม่อนุญาตให้นำไปใช้ประโยชน์ด้านการค้า ไม่ว่ากรณีใดๆ ทั้งสิ้น อีกทั้งห้ามมิให้ตัดแปลงเนื้อหา และต้องอ้างอิงถึงเจ้าของเอกสารทุกครั้งที่มีการนำไปใช้

$$I_1' + I_1 = 0 = (x_2 y_2 + x_1 y_1) v_1 - x_2 v_2 - x_1 v_0 - x_1 (y_1 - 1) v_1 - \alpha_2 x_2 (y_1 - 1) v_3$$

(3.3)

แทนค่า  $v_3$  ในสมการ(3.1) ลงในสมการ(3.3)

$$x_1 (y_1 - 1) v_1 = (x_2 y_2 + x_1 y_1) v_1 - x_2 v_2 - x_1 v_0 - \frac{\alpha_2^2 x_2 (y_2 - 1)^2 v_1}{\alpha_2 p (1 - \alpha_2) \sinh p + 2\alpha_2^2 (y_2 - 1)}$$

$$- \frac{\alpha_2^2 x_2 (y_2 - 1)^2 v_2}{\alpha_2 p (1 - \alpha_2) \sinh p + 2\alpha_2^2 (y_2 - 1)}$$

แทนค่า  $v_1$  ในสมการ(3.2),  $v_2 = v_0/k$  และให้  $y_1 = y_2 = y$ ,  $x_1 = x_2 = x$ 

$$x(y-1)v_i = \frac{2xy(p(1-\alpha)\cosh p + \alpha\sinh p)v_0}{(p(1-\alpha) + \alpha\sinh p)k_1} - x\frac{v_0}{k_1} - xv_0$$

$$- \frac{\alpha^2 x(y-1)^2(p(1-\alpha)\cosh p + \alpha\sinh p)v_0}{k_1(p(1-\alpha) + \alpha\sinh p)(\alpha p(1-\alpha)\sinh p + 2\alpha^2(y-1))}$$

$$- \frac{\alpha^2 x(y-1)^2 v_0}{k_1(\alpha p(1-\alpha)\sinh p + 2\alpha^2(y-1))}$$

เอา  $(p(1-\alpha) + \alpha\sinh p)$  คูณตลอด

$$x(y-1)(p(1-\alpha) + \alpha\sinh p)k_1 v_i = 2xy(p(1-\alpha)\cosh p + \alpha\sinh p)v_0$$

$$- x(p(1-\alpha) + \alpha\sinh p)v_0$$

$$- xk_1(p(1-\alpha) + \alpha\sinh p)v_0$$

$$- \frac{\alpha^2 x(y-1)^2(p(1-\alpha)y + \alpha\sinh p)v_0}{\alpha p(1-\alpha)\sinh p + 2\alpha^2(y-1)}$$

$$- \frac{\alpha x(y-1)^2(p(1-\alpha) + \alpha\sinh p)v_0}{\alpha p(1-\alpha)\sinh p + 2\alpha^2(y-1)}$$

(3.4)

เราจะเอาสมการที่(3.4) มาแยกกิลที่ละพจน์

$$x(y-1)(p(1-\alpha) + \alpha\sinh p)k_1 v_i = xp\alpha(y-1)\left(\frac{1-\alpha}{\alpha} + \frac{\sinh p}{p}\right)k_1 v_i$$

$$xk_1(p(1-\alpha) + \alpha\sinh p)v_0 = xp\alpha k_1\left(\frac{1-\alpha}{\alpha} + \frac{\sinh p}{p}\right)v_0$$

$$\frac{\alpha^2 x(y-1)^2(p(1-\alpha)y + \alpha\sinh p)v_0}{\alpha p(1-\alpha)\sinh p + 2\alpha^2(y-1)} + \frac{\alpha x(y-1)^2(p(1-\alpha) + \alpha\sinh p)v_0}{\alpha p(1-\alpha)\sinh p + 2\alpha^2(y-1)}$$

$$= xp\alpha((y-1)\frac{\sinh p}{p})v_0$$

เอกสารนี้เป็นเอกสารที่สงวนไว้สำหรับการใช้งานเพื่อการศึกษาเท่านั้น ไม่อนุญาตให้นำไปใช้ประโยชน์ด้านการค้า ไม่ว่าจะกรณีใดๆ ทั้งสิ้น อีกทั้งห้ามมิให้ตัดแปลงเนื้อหา และต้องอ้างอิงถึงเจ้าของเอกสารทุกครั้งที่มีการนำไปใช้

$$2xy(p(1-\alpha)\cosh p + \alpha\sinh p)v_o - x(p(1-\alpha)\cosh p + \alpha\sinh p)v_o$$

$$= xpa((2y^2-1)\frac{1-\alpha}{\alpha} + (2y-1)\frac{\sinh p}{p})v_o$$

แทนค่าลงในสมการที่(3.4)

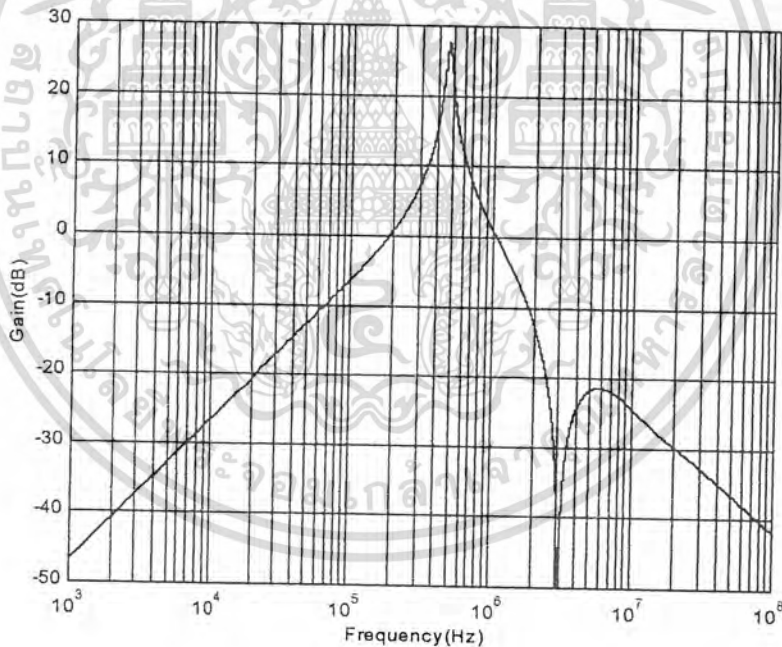
$$xpa(y-1)\left(\frac{1-\alpha}{\alpha} + \frac{\sinh p}{p}\right)k_1v_i = xpa((2y^2-1)\frac{1-\alpha}{\alpha} + (2y-1)\frac{\sinh p}{p})v_o$$

$$- xpa k_1\left(\frac{1-\alpha}{\alpha} + \frac{\sinh p}{p}\right)v_o$$

$$- xpa((y-1)\frac{\sinh p}{p})v_o$$

$$\frac{V_o}{V_i} = \frac{(y-1)\left(\frac{1-\alpha}{\alpha} + \frac{\sinh p}{p}\right)K_1}{(2y^2-1)\frac{1-\alpha}{\alpha} + y\frac{\sinh p}{p} - K_1\left(\frac{1-\alpha}{\alpha} + \frac{\sinh p}{p}\right)}$$

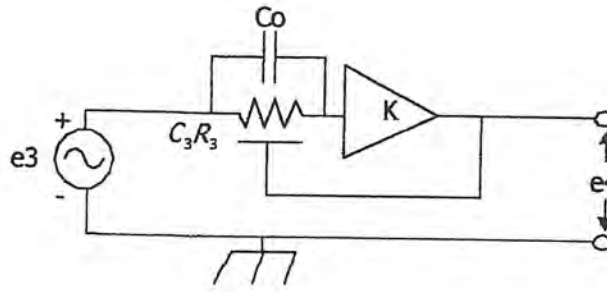
$$\frac{V_o}{V_i} = \frac{(\cosh p - 1)\left(\frac{1-\alpha}{\alpha} + \frac{\sinh p}{p}\right)K_1}{\cosh 2p \frac{1-\alpha}{\alpha} + \frac{\sinh 2p}{2p} - K_1\left(\frac{1-\alpha}{\alpha} + \frac{\sinh p}{p}\right)} \quad (3.5)$$



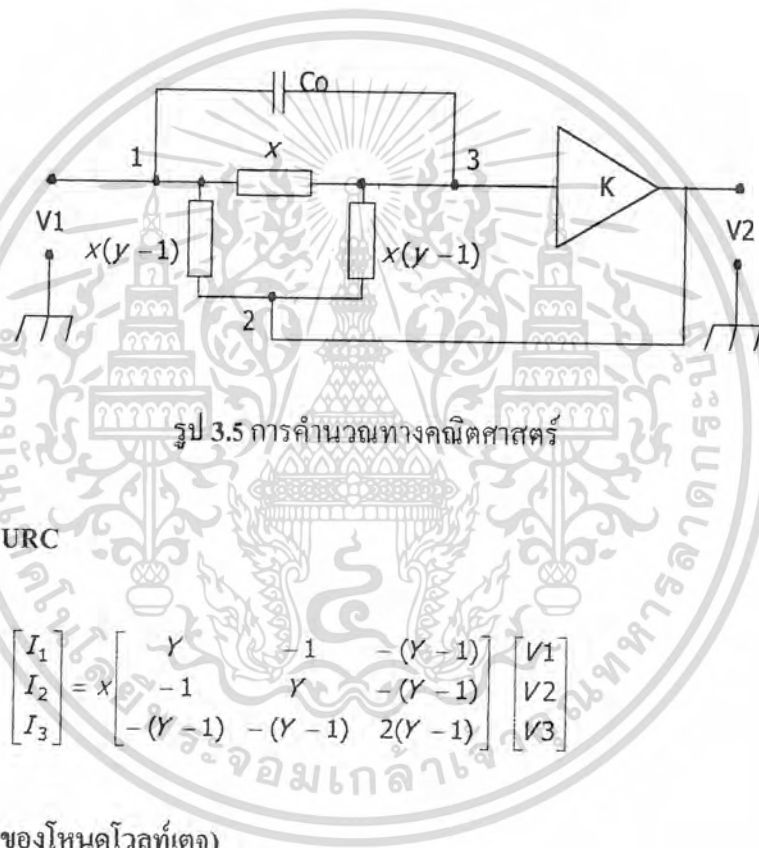
รูป 3.3 กราฟแสดง Frequency responses for the various values of K

เอกสารนี้เป็นเอกสารที่สงวนไว้สำหรับการใช้งานเพื่อการศึกษาเท่านั้น ไม่อนุญาตให้นำไปใช้ประโยชน์ด้านการค้า ไม่ว่าจะกรณีใดๆ ทั้งสิ้น อีกทั้งห้ามมิให้ตัดแปลงเนื้อหา และต้องอ้างอิงถึงเจ้าของเอกสารทุกครั้งที่มีการนำไปใช้

2) Active notch characteristics circuit



รูป 3.4 วงจร Active notch characteristics



รูป 3.5 การคำนวณทางคณิตศาสตร์

สมการ URC

$$\begin{bmatrix} I_1 \\ I_2 \\ I_3 \end{bmatrix} = x \begin{bmatrix} -Y & -1 & -(Y-1) \\ -1 & Y & -(Y-1) \\ -(Y-1) & -(Y-1) & 2(Y-1) \end{bmatrix} \begin{bmatrix} V1 \\ V2 \\ V3 \end{bmatrix}$$

(จากกฎของโหนดโวลต์เตจ)

$$0 = (sC_o + x + x(y-1)) v_3 - v_1 sC_o - v_1 x - x(y-1)v_o$$

$$v_3 = \frac{v_o}{k_2};$$

$$0 = \frac{v_o sC_o}{k_2} + \frac{xv_o}{k_2} + \frac{xv_o(y-1)}{k_2} - sC_o v_1 - xv_1 - xv_o(y-1)$$

เอกสารนี้เป็นเอกสารที่สงวนไว้สำหรับการใช้งานเพื่อการศึกษาเท่านั้น ไม่อนุญาตให้นำไปใช้ประโยชน์ด้านการค้า ไม่ว่าจะกรณีใดๆ ทั้งสิ้น อีกทั้งห้ามมิให้ตัดแปลงเนื้อหา และต้องอ้างอิงถึงเจ้าของเอกสารทุกครั้งที่มีการนำไปใช้

$$v_i(sc_o + x) = v_o \left( \frac{sc_o}{k_2} + \frac{x}{k_2} + \frac{x(y-1)}{k_2} - x(y-1) \right)$$

$$\frac{v_o}{v_i} = \frac{sc_o + x}{\frac{x}{k_2} \left( \frac{sc_o}{x} + y - yk_2 + k_2 \right)}$$

$$= \frac{\left( \frac{sc_o}{x} + 1 \right) k_2}{\frac{sc_o}{x} + y + k_2(1-y)}$$

ให้  $x = \frac{p}{R_3 \sinh p}$  และ  $y = \cosh p$

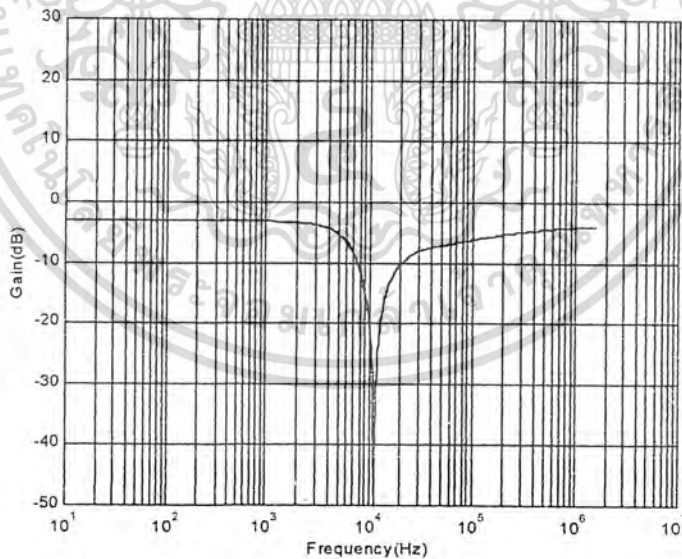
$$= \frac{\left( \frac{sc_o R_3 \sinh p}{p} + 1 \right) k_2}{\frac{sc_o R_3 \sinh p}{p} + \cosh p + k_2(1 - \cosh p)}$$

$$= \frac{(sc_o R_3 \sinh p + p) k_2}{sc_o R_3 \sinh p + p \cosh p + p k_2(1 - \cosh p)}$$

ทำ  $sc_o R_3$  ให้หายไ้โดยนำ  $\frac{p}{sc_o R_3}$  คูณทั้งบนและล่างตั้งนั้นเราจะได้สมการดังนี้

$$\frac{V_o}{V_i} = \frac{\left( \frac{C}{C_o} + P \sinh P \right) K_2}{\frac{C}{C_o} \cosh P + P \sinh P + K_2 \frac{C}{C_o} (1 - \cosh P)}$$

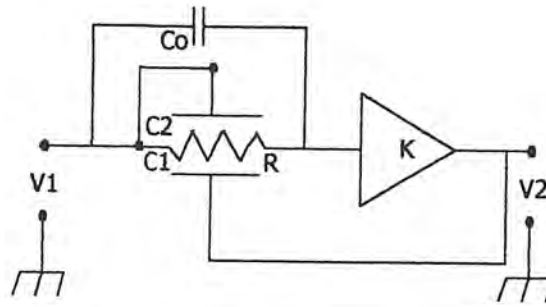
(3.5)



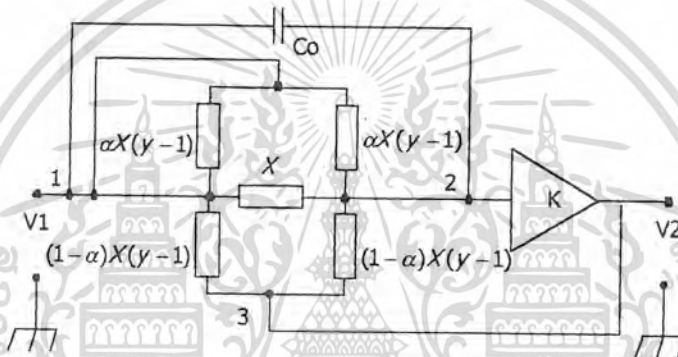
รูป 3.6 กราฟแสดง Frequency responses for the various values of K

เอกสารนี้เป็นเอกสารที่สงวนไว้สำหรับการใช้งานเพื่อการศึกษาเท่านั้น ไม่อนุญาตให้นำไปใช้ประโยชน์ด้านการค้า ไม่ว่าจะกรณีใดๆ ทั้งสิ้น อีกทั้งห้ามมิให้ตัดแปลงเนื้อหา และต้องอ้างอิงถึงเจ้าของเอกสารทุกครั้งที่มีการนำไปใช้

### 3) Tunable notch filter



รูป 3.7 วงจร Tunable notch filter



รูป 3.8 การคำนวณทางคณิตศาสตร์

(จากกฎของโหนดโวลท์เตจ)

$$0 = [sc_o + \alpha x(y-1) + x + x(1-\alpha)(y-1)]v_2 - sc_o v_1 - \alpha x(y-1)v_1 - x v_1 - x v_o(y-1)(1-\alpha)$$

$$v_2 = \frac{v_o}{k_3};$$

$$[sc_o + \alpha x(y-1) + x]v_i = [sc_o + \alpha x(y-1) + x + x(1-\alpha)(y-1) - k_3 x(1-\alpha)(y-1)] \frac{v_o}{k_3}$$

$$[sc_o + \alpha x(y-1) + x]v_i = [sc_o + x(\alpha(y-1) + 1 + y - 1 - \alpha(y-1)) - k_3 x(1-\alpha)(y-1)] \frac{v_o}{k_3}$$

$$\frac{v_o}{v_i} = \frac{k_3(sc_o + \alpha x(y-1) + x)}{sc_o + xy - kx(1-\alpha)(y-1)}$$

เอกสารนี้เป็นเอกสารที่สงวนไว้สำหรับการใช้งานเพื่อการศึกษาเท่านั้น ไม่อนุญาตให้นำไปใช้ประโยชน์ด้านการค้า ไม่ว่าจะกรณีใดๆ ทั้งสิ้น อีกทั้งห้ามมิให้ตัดแปลงเนื้อหา และต้องอ้างอิงถึงเจ้าของเอกสารทุกครั้งที่มีการนำไปใช้

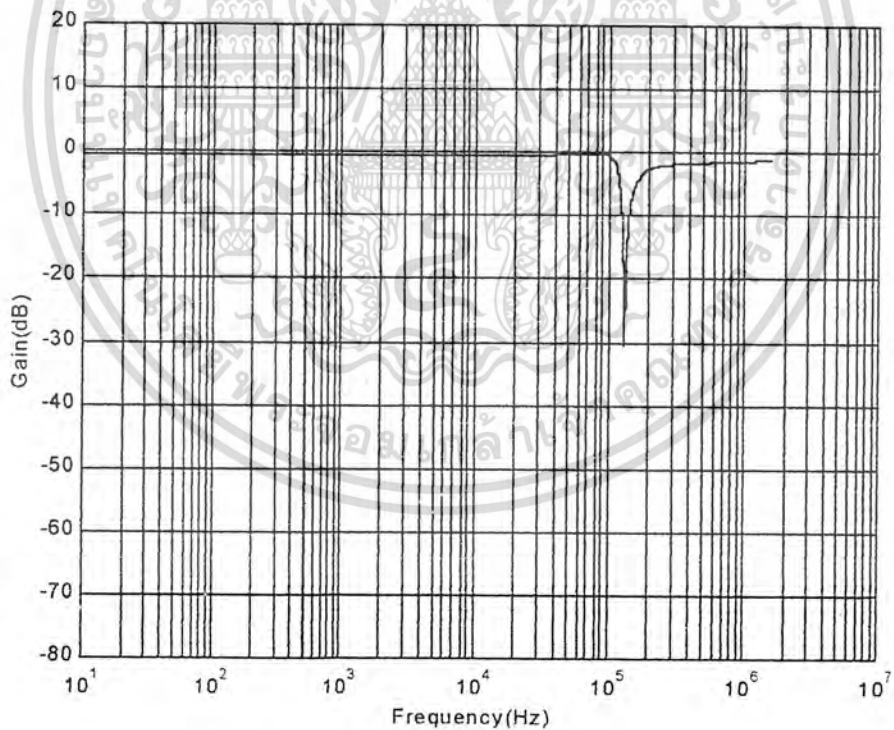
$$\frac{v_o}{v_i} = \frac{k_3 x \left( \frac{sc_o}{x} + \alpha(y-1) + 1 \right)}{x \left( \frac{sc_o}{x} + y - k(1-\alpha)(y-1) \right)}$$

$$\text{จาก } x = \frac{p}{R_3 \sinh p} \quad y = \cosh p \quad \alpha = \frac{c_2}{c_1 + c_2} \quad \beta = \frac{c_o}{c_1 + c_2} \quad p = \sqrt{SR(c_1 + c_2)}$$

$$\frac{v_o}{v_i} = \frac{k_3 \left( \frac{sc_o R \sinh p}{\sqrt{SR(c_1 + c_2)}} + 1 - \alpha + \alpha \cosh p \right)}{\frac{sc_o R \sinh p}{\sqrt{SR(c_1 + c_2)}} + \cosh p - k_3(1-\alpha) \cosh p + k_3(1-\alpha)}$$

ดังนั้นเราจะได้

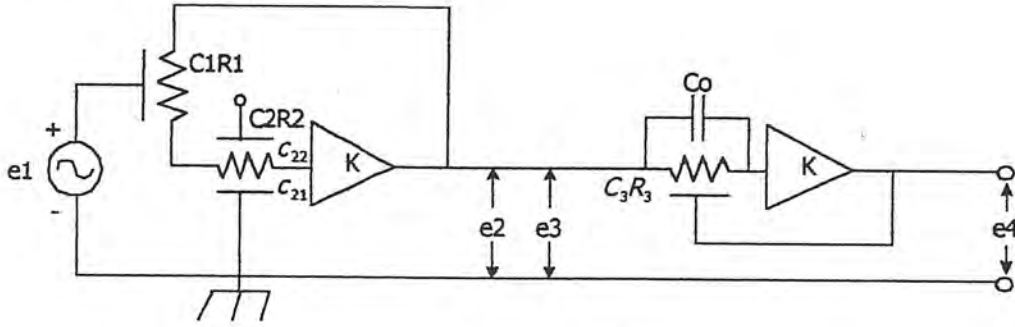
$$\frac{v_o}{v_i} = \frac{k_3(1-\alpha + \alpha \cosh p + \beta p \sinh p)}{(1-k_3(1-\alpha)) \cosh p + \beta p \sinh p + k_3(1-\alpha)} \quad (3.6)$$



รูป 3.9 กราฟแสดง Frequency responses for the various values of K

เอกสารนี้เป็นเอกสารที่สงวนไว้สำหรับการใช้งานเพื่อการศึกษาเท่านั้น ไม่อนุญาตให้นำไปใช้ประโยชน์ด้านการค้า ไม่ว่ากรณีใดๆ ทั้งสิ้น อีกทั้งห้ามมิให้ตัดแปลงเนื้อหา และต้องอ้างอิงถึงเจ้าของเอกสารทุกครั้งที่มีการนำไปใช้

3) BPF with double notch characteristics

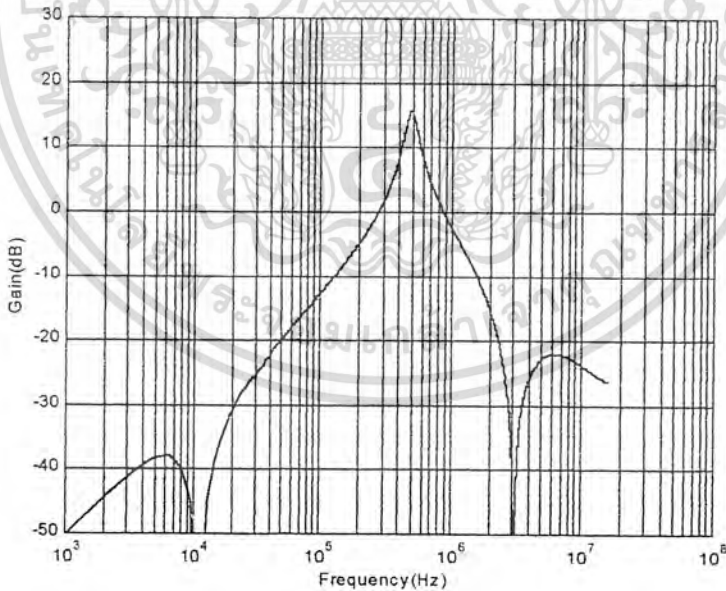


รูป 3.10 วงจร BPF with double notch characteristics

จากสมการที่ (3.4) และ (3.5) จะได้

$$\frac{V_o}{V_i} = \left[ \frac{(\cosh P - 1) \left( \frac{1-\alpha}{\alpha} + \frac{\sinh P}{P} \right) K_1}{\cosh 2P \frac{1-\alpha}{\alpha} + \frac{\sinh 2P}{2P} - K_1 \left( \frac{1-\alpha}{\alpha} + \frac{\sinh P}{P} \right)} \right] \left[ \frac{\left( \frac{C}{C_o} + P \sinh P \right) K_2}{\frac{C}{C_o} \cosh P + P \sinh P + K_2 \frac{C}{C_o} (1 - \cosh P)} \right]$$

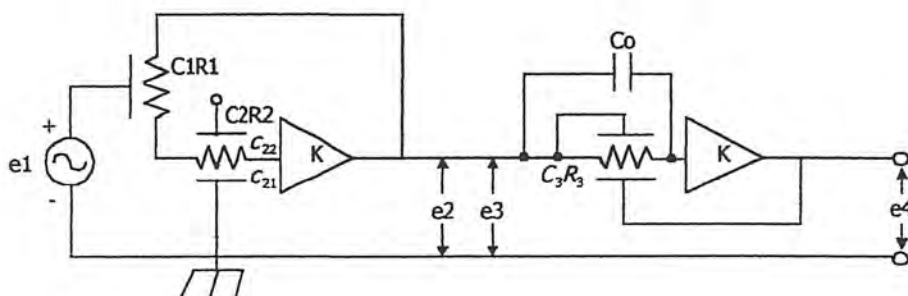
(3.7)



รูป 3.11 กราฟแสดง Frequency responses for the various values of K

เอกสารนี้เป็นเอกสารที่สงวนไว้สำหรับการใช้งานเพื่อการศึกษาเท่านั้น ไม่อนุญาตให้นำไปใช้ประโยชน์ด้านการค้า ไม่ว่าจะกรณีใดๆ ทั้งสิ้น อีกทั้งห้ามมิให้ตัดแปลงเนื้อหา และต้องอ้างอิงถึงเจ้าของเอกสารทุกครั้งที่มีการนำไปใช้

#### 4) BPF with tunable notch filter

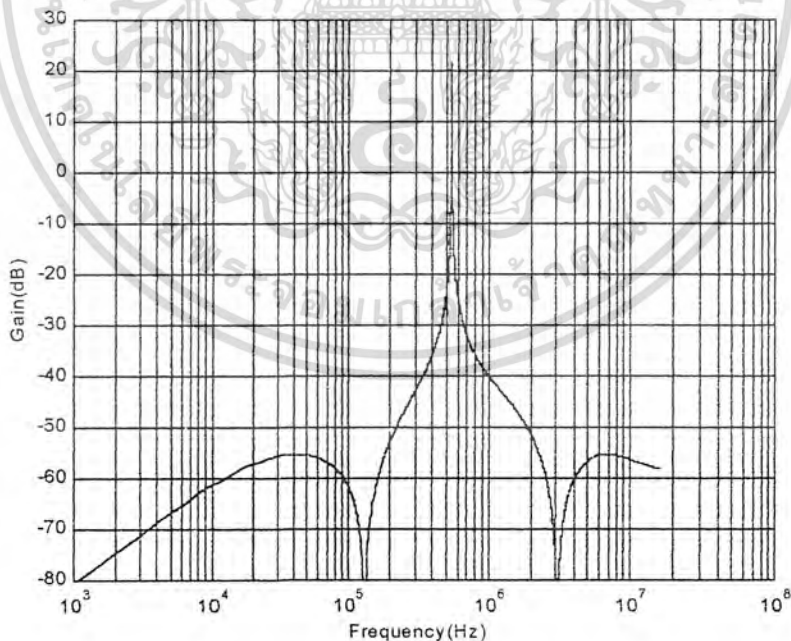


รูป 3.12 วงจร BPF with tunable notch filter

จากสมการที่ (3.4) และ (3.6) จะได้ว่า

$$\frac{V_o}{V_i} = \left[ \frac{(\cosh p - 1) \left( \frac{1-\alpha}{\alpha} + \frac{\sinh p}{p} \right) K_1}{\cosh 2p \frac{1-\alpha}{\alpha} + \frac{\sinh 2p}{2p} - K_1 \left( \frac{1-\alpha}{\alpha} + \frac{\sinh p}{p} \right)} \right] \left[ \frac{k_3(1-\alpha + \alpha \cosh p + \beta p \sinh p)}{(1 - k_3(1-\alpha)) \cosh p + \beta p \sinh p + k_3(1-\alpha)} \right]$$

(3.8)



รูป 3.13 กราฟแสดงความถี่ของวงจร BPF with tunable notch filter

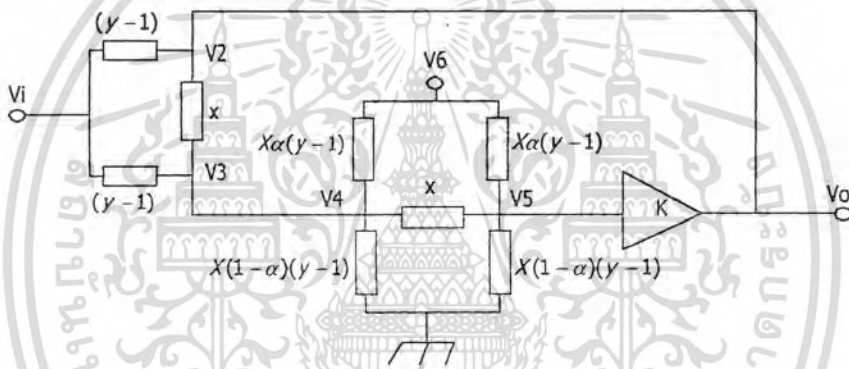
เอกสารนี้เป็นเอกสารที่สงวนไว้สำหรับการใช้งานเพื่อการศึกษาเท่านั้น ไม่อนุญาตให้นำไปใช้ประโยชน์ด้านการค้า ไม่ว่าจะกรณีใดๆ ทั้งสิ้น อีกทั้งห้ามมิให้ตัดแปลงเนื้อหา และต้องอ้างอิงถึงเจ้าของเอกสารทุกครั้งที่มีการนำไปใช้

## บทที่ 4

### การคำนวณ Sensitivity

ในบทนี้จะเป็นวิธีการคำนวณหา Sensitivity ของวงจรทั้ง 3 วงจรคือ BPF with one notch characteristics, Active notch characteristics และ DURC active notch characteristics ซึ่งมีรายละเอียดและวิธีการดังต่อไปนี้

#### 4.1 การคำนวณหา Sensitivity ของวงจร BPF one notch characteristics



รูป 4.1 การคำนวณทางคณิตศาสตร์ของวงจร BPF one notch characteristics

-การคำนวณหา Sensitivity ของ K

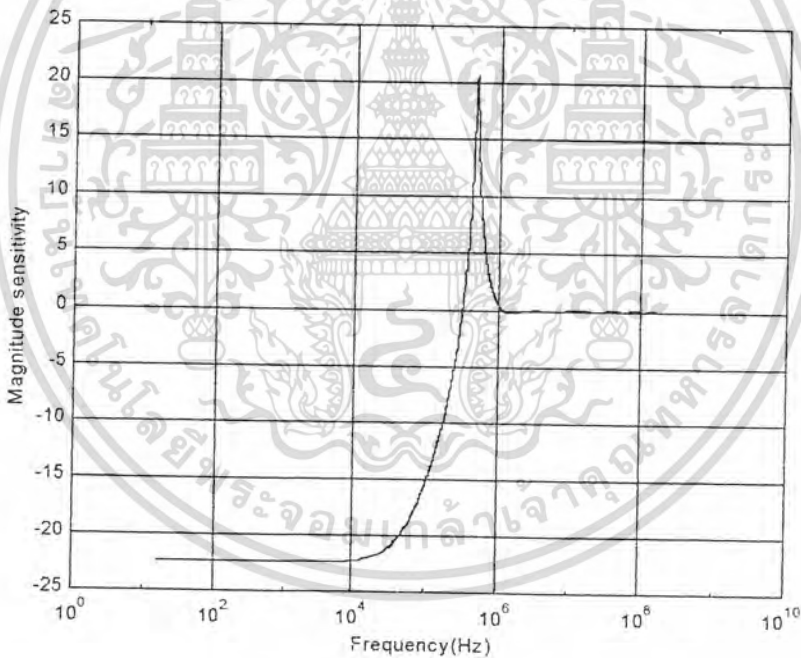
$$T(p) = \frac{(\cosh(p) - 1) \left( \frac{1-\alpha}{\alpha} + \frac{\sinh(p)}{p} \right) k}{\cosh(2p) \left( \frac{1-\alpha}{\alpha} + \frac{\sinh(2p)}{2p} \right) - k \left( \frac{1-\alpha}{\alpha} + \frac{\sinh(p)}{p} \right)}$$

$$S_k^{T(p)} = k \left( \frac{N'(s)}{N(s)} - \frac{D'(s)}{D(s)} \right)$$

$$N(s) = (\cosh(p) - 1) \left( \frac{1-\alpha}{\alpha} + \frac{\sinh(p)}{p} \right) k$$

เอกสารนี้เป็นเอกสารที่สงวนไว้สำหรับการใช้งานเพื่อการศึกษาเท่านั้น ไม่อนุญาตให้นำไปใช้ประโยชน์ด้านการค้า ไม่ว่าจะกรณีใดๆ ทั้งสิ้น อีกทั้งห้ามมิให้ตัดแปลงเนื้อหา และต้องอ้างอิงถึงเจ้าของเอกสารทุกครั้งที่มีการนำไปใช้

$$\begin{aligned}
 N'(s) &= (\cosh(\rho) - 1) \left( \frac{1-\alpha}{\alpha} + \frac{\sinh(\rho)}{\rho} \right) \\
 D(s) &= \cosh(2\rho) \left( \frac{1-\alpha}{\alpha} \right) + \frac{\sinh(2\rho)}{2\rho} - k \left( \frac{1-\alpha}{\alpha} + \frac{\sinh(\rho)}{\rho} \right) \\
 D'(s) &= - \left( \frac{1-\alpha}{\alpha} + \frac{\sinh(\rho)}{\rho} \right) k \\
 S_k^{T(\rho)} &= 1 + \frac{\left( \frac{1-\alpha}{\alpha} + \frac{\sinh(\rho)}{\rho} \right) k}{\cosh(2\rho) \left( \frac{1-\alpha}{\alpha} \right) + \frac{\sinh(2\rho)}{2\rho} - \left( \frac{1-\alpha}{\alpha} + \frac{\sinh(\rho)}{\rho} \right) k} \\
 &= \frac{\cosh(2\rho) \left( \frac{1-\alpha}{\alpha} \right) + \frac{\sinh(2\rho)}{2\rho} - \left( \frac{1-\alpha}{\alpha} + \frac{\sinh(\rho)}{\rho} \right) k + \left( \frac{1-\alpha}{\alpha} + \frac{\sinh(\rho)}{\rho} \right) k}{\cosh(2\rho) \left( \frac{1-\alpha}{\alpha} \right) + \frac{\sinh(2\rho)}{2\rho} - \left( \frac{1-\alpha}{\alpha} + \frac{\sinh(\rho)}{\rho} \right) k} \\
 &= \frac{\cosh(2\rho) \left( \frac{1-\alpha}{\alpha} \right) + \frac{\sinh(2\rho)}{2\rho}}{\cosh(2\rho) \left( \frac{1-\alpha}{\alpha} \right) + \frac{\sinh(2\rho)}{2\rho} - \left( \frac{1-\alpha}{\alpha} + \frac{\sinh(\rho)}{\rho} \right) k}
 \end{aligned}$$



รูป 4.2 กราฟแสดงค่า Sensitivity (K) ของวงจร BPF one notch characteristics

เอกสารนี้เป็นเอกสารที่สงวนไว้สำหรับการใช้งานเพื่อการศึกษาเท่านั้น ไม่อนุญาตให้นำไปใช้ประโยชน์ด้านการค้า ไม่ว่าจะกรณีใดๆ ทั้งสิ้น อีกทั้งห้ามมิให้ตัดแปลงเนื้อหา และต้องอ้างอิงถึงเจ้าของเอกสารทุกครั้งที่มีการนำไปใช้

### -การคำนวณหา Sensitivity ของ R

$$T(\rho) = \frac{x_1(y_1 - 1)\left(\frac{1-\alpha}{\alpha} + \frac{\sinh(\rho_2)}{\rho_2}\right)k}{(x_2(y_2^2 - 1) + x_1(y_1 y_2 - k))\left(\frac{1-\alpha}{\alpha} + \frac{\sinh(\rho_2)}{\rho_2}\right) + (x_1(y_1 y_2 - k))}$$

$$S_R^{T(\rho)} = R\left(\frac{N'(s)}{N(s)} - \frac{D'(s)}{D(s)}\right)$$

$$N(s) = x_1(y_1 - 1)\left(\frac{1-\alpha}{\alpha} + \frac{\sinh(\rho_2)}{\rho_2}\right)k$$

$$N'(s) = k\left(\frac{1-\alpha}{\alpha} + \frac{\sinh(\rho_2)}{\rho_2}\right)\frac{d}{dR}\left(\frac{\rho_1(\cosh(\rho_1) - 1)}{R \sinh(\rho_1)}\right)$$

$$= k\left(\frac{1-\alpha}{\alpha} + \frac{\sinh(\rho_2)}{\rho_2}\right)\left[\frac{1}{R^2 \sinh^2(\rho_1)}(R \sinh(\rho_1)\left(\frac{\rho_1(SC) \sinh(\rho_1)}{2\rho_1} + \frac{(\cosh(\rho_1) - 1)(SC)}{2\rho_1}\right) - \rho_1(\cosh(\rho_1) - 1)\left(\frac{R(SC) \cosh(\rho_1)}{2\rho_1} + \sinh(\rho_1)\right))\right]$$

$$= k\left(\frac{1-\alpha}{\alpha} + \frac{\sinh(\rho_2)}{\rho_2}\right)\left[\left(\frac{\rho_1^2}{2R^2} - \frac{\rho_1(\cosh(\rho_1) - 1)}{2R^2 \sinh(\rho_1)} - \frac{\rho_1^2 \cosh(\rho_1)(\cosh(\rho_1) - 1)}{2R^2 \sinh^2(\rho_1)}\right)\right]$$

ให้  $x_1 = x_2 = x$ ,  $y_1 = y_2 = y$

$$N'(s) = k\left(\frac{\sinh(\rho)}{\rho}\right)\left(\frac{C_1 \rho}{C_2 \sinh(\rho)} + 1\right)\left(\frac{\rho}{\sinh(\rho)}\right)\left[\left(\frac{\rho \sinh(\rho)}{2R^2} - \frac{(\cosh(\rho) - 1)}{2R^2} - \frac{\rho \cosh(\rho)(\cosh(\rho) - 1)}{2R^2 \sinh(\rho)}\right)\right]$$

$$= \frac{k}{2R^2}\left(\frac{C_1 \rho}{C_2 \sinh(\rho)} + 1\right)\left[\rho \sinh(\rho) - (\cosh(\rho) - 1)\left(1 + \frac{\rho \cosh(\rho)}{\sinh(\rho)}\right)\right]$$

$$\frac{RN'(s)}{N(s)} = \frac{1}{2}\left[\rho \sinh(\rho)(\cosh(\rho) - 1) - \frac{\rho \cosh(\rho)}{\sinh(\rho)} - 1\right]$$

$$D'(s) = \left(\frac{1-\alpha_2}{\alpha_2}\right)[y_2 \frac{d}{dR}\left(\frac{\rho_1 \cosh(\rho_1)}{R \sinh(\rho_1)}\right) - k \frac{d}{dR}\left(\frac{\rho_1}{R \sinh(\rho_1)}\right)] + \frac{\sinh(\rho_2)}{\rho_2}\left[\frac{d}{dR}\left(\frac{\rho_1 \cosh(\rho_1)}{R \sinh(\rho_1)}\right) - k \frac{d}{dR}\left(\frac{\rho_1}{R \sinh(\rho_1)}\right)\right]$$

$$\frac{d}{dR}\left(\frac{\rho_1 \cosh(\rho_1)}{R \sinh(\rho_1)}\right) = \frac{1}{R^2 \sinh^2(\rho_1)}\left[R \sinh(\rho_1)\left(\frac{\rho_1(SC) \sinh(\rho_1)}{2\rho_1} + \frac{(SC) \cosh(\rho_1)}{2\rho_1}\right) - \rho_1 \cosh(\rho_1)(\sinh(\rho_1) + \frac{R(SC) \cosh(\rho_1)}{2\rho_1})\right]$$

$$\frac{d}{dR}\left(\frac{\rho_1}{R \sinh(\rho_1)}\right) = \frac{1}{R^2 \sinh^2(\rho_1)}\left[\frac{R(SC) \sinh(\rho_1)}{2\rho_1} - \rho_1\left(\frac{R(SC) \cosh(\rho_1)}{2\rho_1} + \sinh(\rho_1)\right)\right]$$

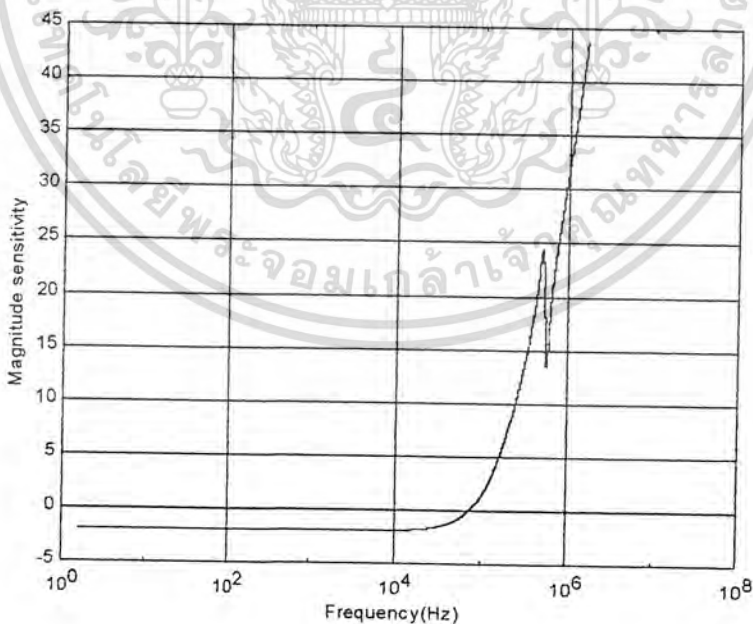
$$= \frac{\rho_1}{2R^2 \sinh(\rho_1)} - \frac{\rho_1^2 \cosh(\rho_1)}{2R^2 \sinh^2(\rho_1)} - \frac{\rho_1}{R^2 \sinh(\rho_1)}$$

$$= -\frac{\rho_1^2 \cosh(\rho_1)}{2R^2 \sinh^2(\rho_1)} - \frac{\rho_1}{2R^2 \sinh(\rho_1)}$$

เอกสารนี้เป็นเอกสารที่สงวนไว้สำหรับการใช้งานเพื่อการศึกษาเท่านั้น ไม่อนุญาตให้นำไปใช้ประโยชน์ด้านการค้า ไม่ว่าจะกรณีใดๆ ทั้งสิ้น อีกทั้งห้ามมิให้ตัดแปลงเนื้อหา และต้องอ้างอิงถึงเจ้าของเอกสารทุกครั้งที่มีการนำไปใช้

ให้  $x_1 = x_2 = x, y_1 = y_2 = y$

$$\begin{aligned}
 D'(s) &= \left(\frac{1-\alpha}{\alpha}\right) \left[ \frac{p^2 \cosh(p)}{2R^2} - \frac{p \cosh^2(p)}{2R^2 \sinh(p)} - \frac{p^2 \cosh^3(p)}{2R^2 \sinh^2(p)} + \frac{kp}{2R^2 \sinh(p)} + \frac{kp^2 \cosh(p)}{2R \sinh^2(p)} \right] \\
 &+ \frac{\sinh(p)}{p} \left[ \frac{p^2}{2R^2} - \frac{p \cosh(p)}{2R^2 \sinh(p)} - \frac{p^2 \cosh^2(p)}{2R^2 \sinh^2(p)} + \frac{kp}{2R^2 \sinh(p)} + \frac{kp^2 \cosh(p)}{2R \sinh^2(p)} \right] \\
 &= \frac{1}{2R^2} \left( \frac{p}{\sinh(p)} \right) \left[ \left( \frac{1-\alpha}{\alpha} \right) \left[ (1+k) \cosh(p) - \cosh^2(p) \left( \frac{\sinh(p)}{p} + \cosh(p) \right) + k \right] \right. \\
 &\quad \left. + \frac{p \cosh(p)(k - \cosh(p))}{\sinh(p)} + \cosh(p) + p \sinh(p) + k \right] \\
 D(s) &= \frac{p}{R \sinh(p)} \left[ \left( \frac{1-\alpha}{\alpha} \right) (2 \cosh^2(p) - 1 - k) + \left( \frac{\sinh(p)}{p} \right) (\cosh(p) - k) \right] \\
 R \frac{D'(s)}{D(s)} &= \frac{\frac{1}{2} \left[ \left( \frac{1-\alpha}{\alpha} \right) \left[ (\cosh(p) - k) - \cosh^2(p) \left( \frac{\sinh(p)}{p} + (\cosh(p)) + k \right) + \cosh(p) \left( \frac{p(k - \cosh(p))}{\sinh(p)} + 1 \right) + p \sinh(p) + k \right] \right.}{\left( \frac{1-\alpha}{\alpha} \right) (2 \cosh^2(p) - 1 - k) + \frac{\sinh(p)}{p} ((\cosh(p) - k))} \\
 S_R^{T(p)} &= \frac{1}{2} \left[ p \sinh(p) (\cosh(p) - 1) - \frac{p \cosh(p)}{\sinh(p)} - 1 \right. \\
 &\quad \left. \frac{\left( \frac{1-\alpha}{\alpha} \right) \left[ (\cosh(p) - k) - \cosh^2(p) \left( \frac{\sinh(p)}{p} + (\cosh(p)) + k \right) + \cosh(p) \left( \frac{p(k - \cosh(p))}{\sinh(p)} + 1 \right) + p \sinh(p) + k \right]}{\left( \frac{1-\alpha}{\alpha} \right) (2 \cosh^2(p) - 1 - k) + \frac{\sinh(p)}{p} ((\cosh(p) - k))} \right]
 \end{aligned}$$



รูป 4.3 กราฟแสดงค่า Sensitivity (R) ของวงจร BPF one notch characteristics

เอกสารนี้เป็นเอกสารที่สงวนไว้สำหรับการใช้งานเพื่อการศึกษาเท่านั้น ไม่อนุญาตให้นำไปใช้ประโยชน์ด้านการค้า ไม่ว่าจะกรณีใดๆ ทั้งสิ้น อีกทั้งห้ามมิให้ตัดแปลงเนื้อหา และต้องอ้างอิงถึงเจ้าของเอกสารทุกครั้งที่มีการนำไปใช้

### -การคำนวณหา Sensitivity ของ C

$$T_{(\rho)} = \frac{x_1(y_1 - 1) \left( \frac{1-\alpha}{\alpha} + \frac{\sinh(\rho_2)}{\rho_2} \right) k}{(x_2(y_2^2 - 1) + x_1(y_1 y_2 - k)) \left( \frac{1-\alpha}{\alpha} + \frac{\sinh(\rho_2)}{\rho_2} \right) (x_1(y_1 y_2 - k))}$$

$$S_C^{T(\rho)} = C \left( \frac{N'(s)}{N(s)} - \frac{D'(s)}{D(s)} \right)$$

$$N(s) = x_1(y_1 - 1) \left( \frac{1-\alpha}{\alpha} + \frac{\sinh(\rho_2)}{\rho_2} \right) k$$

$$N'(s) = k \left( \frac{1-\alpha}{\alpha} + \frac{\sinh(\rho_2)}{\rho_2} \right) \frac{d}{dC} \left( \frac{\rho_1 (\cosh(\rho_1) - 1)}{R \sinh(\rho_1)} \right)$$

$$\begin{aligned} &= k \left( \frac{1-\alpha}{\alpha} + \frac{\sinh(\rho_2)}{\rho_2} \right) \left[ \frac{1}{R^2 \sinh^2(\rho_1)} (R \sinh(\rho_1)) \left( \frac{\rho_1 (SR) \sinh(\rho_1)}{2\rho_1} + \frac{(\cosh(\rho_1) - 1)(SR)}{2\rho_1} \right) \right. \\ &\quad \left. - \rho_1 (\cosh(\rho_1) - 1) \left( \frac{R(SR) \cosh(\rho_1)}{2\rho_1} \right) \right] \\ &= k \left( \frac{1-\alpha}{\alpha} + \frac{\sinh(\rho_2)}{\rho_2} \right) \left[ \frac{SR}{R^2 \sinh^2(\rho_1)} \left( \frac{R \sinh^2(\rho_1)}{2} + \frac{R \sinh(\rho_1) (\cosh(\rho_1) - 1)}{2\rho_1} - \frac{R \cosh(\rho_1) (\cosh(\rho_1) - 1)}{2} \right) \right] \\ &= k \left( \frac{1-\alpha}{\alpha} + \frac{\sinh(\rho_2)}{\rho_2} \right) \left[ \frac{S}{2} \left( 1 + \frac{(\cosh(\rho_1) - 1)}{\rho_1 \sinh(\rho_1)} - \frac{\cosh(\rho_1) (\cosh(\rho_1) - 1)}{\sinh^2(\rho_1)} \right) \right] \end{aligned}$$

ให้  $x_1 = x_2 = x, y_1 = y_2 = y$

$$N'(s) = k \left( \frac{C_1 \rho}{C_2 \sinh(\rho)} + 1 \right) \left( \frac{S}{2} \right) \left[ \frac{\sinh(\rho)}{\rho} \frac{(\cosh(\rho) - 1)}{\rho^2} - \frac{\cosh(\rho) (\cosh(\rho) - 1)}{\rho \sinh(\rho)} \right]$$

$$\frac{CN'(s)}{N(s)} = \frac{1}{2} \left[ \rho \sinh(\rho) (\cosh(\rho) - 1) - \frac{\rho \cosh(\rho)}{\sinh(\rho)} + 1 \right]$$

$$D'(s) = \left( \frac{1-\alpha_2}{\alpha_2} \right) y_2 \frac{d}{dC} \left( \frac{\rho_1 \cosh(\rho_1)}{R \sinh(\rho_1)} \right) - k \frac{d}{dC} \left( \frac{\rho_1}{R \sinh(\rho_1)} \right) + \frac{\sinh(\rho_2)}{\rho_2} \left[ \frac{d}{dC} \left( \frac{\rho_1 \cosh(\rho_1)}{R \sinh(\rho_1)} \right) - k \frac{d}{dC} \left( \frac{\rho_1}{R \sinh(\rho_1)} \right) \right]$$

$$\begin{aligned} \frac{d}{dC} \left( \frac{\rho_1 \cosh(\rho_1)}{R \sinh(\rho_1)} \right) &= \frac{1}{R^2 \sinh^2(\rho_1)} \left[ R \sinh(\rho_1) \left( \frac{\rho_1 (SR) \sinh(\rho_1)}{2\rho_1} + \frac{(SR) \cosh(\rho_1)}{2\rho_1} \right) \right. \\ &\quad \left. - \rho_1 \cosh(\rho_1) \left( \frac{R(SR) \cosh(\rho_1)}{2\rho_1} \right) \right] \end{aligned}$$

$$\frac{d}{dC} \left( \frac{\rho_1}{R \sinh(\rho_1)} \right) = \frac{1}{R^2 \sinh^2(\rho_1)} \left[ \frac{R(SR) \sinh(\rho_1)}{2\rho_1} - \frac{\rho_1 R(SR) \cosh(\rho_1)}{2\rho_1} \right]$$

$$= \frac{S}{2} \left( \frac{1}{\rho_1 \sinh(\rho_1)} - \frac{\cosh(\rho_1)}{\sinh^2(\rho_1)} \right)$$

เอกสารนี้เป็นเอกสารที่สงวนไว้สำหรับการใช้งานเพื่อการศึกษาเท่านั้น ไม่อนุญาตให้นำไปใช้ประโยชน์ด้านการค้า ไม่ว่ากรณีใดๆ ทั้งสิ้น อีกทั้งห้ามมิให้ตัดแปลงเนื้อหา และต้องอ้างอิงถึงเจ้าของเอกสารทุกครั้งที่มีการนำไปใช้

ให้  $x_1 = x_2 = X, y_1 = y_2 = Y$

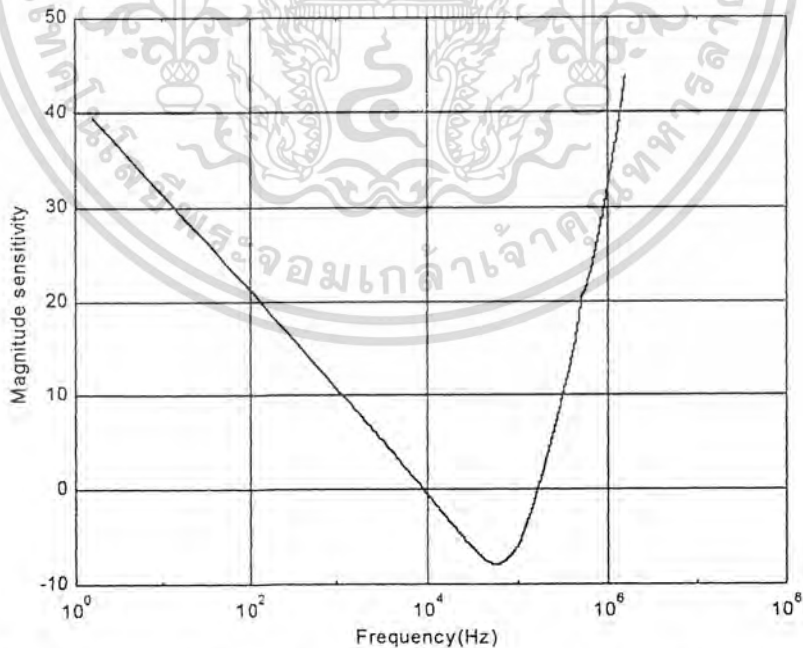
$$D'(s) = \frac{S}{2} \left[ \left( \frac{1-\alpha}{\alpha} \right) \left[ \cosh(\rho) + \frac{\cosh^2(\rho)}{\rho \sinh(\rho)} - \frac{\cosh^3(\rho)}{\sinh^2(\rho)} - \frac{k}{\rho \sinh(\rho)} + \frac{k \cosh(\rho)}{\sinh^2(\rho)} \right] \right. \\ \left. + \frac{\sinh(\rho)}{\rho} + \frac{\cosh(\rho)}{\rho^2} - \frac{\cosh^2(\rho)}{\rho \sinh(\rho)} - \frac{k}{\rho^2} + \frac{k \cosh(\rho)}{\rho \sinh(\rho)} \right] \\ = \frac{S}{2} \left( \frac{\rho}{\sinh(\rho)} \right) \left[ \left( \frac{1-\alpha}{\alpha} \right) \left[ \frac{\cosh(\rho)}{\rho} (\sinh(\rho) + \frac{k}{\rho \sinh(\rho)}) + \cosh^2(\rho) \left( \frac{1}{\rho^2} - \frac{\cosh(\rho)}{\rho \sinh(\rho)} \right) - \frac{k}{\rho^2} \right] \right. \\ \left. + \frac{\sinh(\rho)}{\rho^2} (\sinh(\rho) + \frac{\cosh(\rho)}{\rho} + \frac{k}{\rho}) + \frac{\cosh(\rho)}{\rho^2} (k - \cosh(\rho)) \right]$$

$$D(s) = \frac{\rho}{R \sinh(\rho)} \left[ \left( \frac{1-\alpha}{\alpha} \right) (2 \cosh^2(\rho) - 1 - k) + \left( \frac{\sinh(\rho)}{\rho} \right) (\cosh(\rho) - k) \right]$$

$$C \frac{D'(s)}{D(s)} = \frac{\frac{1}{2} \left[ \left( \frac{1-\alpha}{\alpha} \right) \left[ \rho \cosh(\rho) (\sinh(\rho) + \frac{k}{\rho \sinh(\rho)}) + \cosh^2(\rho) \left( 1 - \frac{\rho \cosh(\rho)}{\sinh(\rho)} \right) - k \right] + \sinh(\rho) (\sinh(\rho) + \frac{\cosh(\rho)}{\rho} - \frac{k}{\rho}) + \cosh(\rho) (k - \cosh(\rho)) \right]}{\left( \frac{1-\alpha}{\alpha} \right) (2 \cosh^2(\rho) - 1 - k) + \frac{\sinh(\rho)}{\rho} (\cosh(\rho) - k)}$$

$$S_C^{T(\rho)} = \frac{1}{2} \left[ \rho \sinh(\rho) (\cosh(\rho) - 1) - \frac{\rho \cosh(\rho)}{\sinh(\rho)} + 1 \right]$$

$$\frac{\left( \frac{1-\alpha}{\alpha} \right) \left[ \rho \cosh(\rho) (\sinh(\rho) + \frac{k}{\rho \sinh(\rho)}) + \cosh^2(\rho) \left( 1 - \frac{\rho \cosh(\rho)}{\sinh(\rho)} \right) - k \right] + \sinh(\rho) (\sinh(\rho) + \frac{\cosh(\rho)}{\rho} - \frac{k}{\rho}) + \cosh(\rho) (k - \cosh(\rho))}{\left( \frac{1-\alpha}{\alpha} \right) (2 \cosh^2(\rho) - 1 - k) + \frac{\sinh(\rho)}{\rho} (\cosh(\rho) - k)}$$



รูป 4.4 กราฟแสดงค่า Sensitivity (C) ของวงจร BPF one notch characteristics

เอกสารนี้เป็นเอกสารที่สงวนไว้สำหรับการใช้งานเพื่อการศึกษาเท่านั้น ไม่อนุญาตให้นำไปใช้ประโยชน์ด้านการค้า ไม่ว่ากรณีใดๆ ทั้งสิ้น อีกทั้งห้ามมิให้ตัดแปลงเนื้อหา และต้องอ้างอิงถึงเจ้าของเอกสารทุกครั้งที่มีการนำไปใช้

## การคำนวณหา Sensitivity ของ $R_2$

$$T^{(p)} = \frac{x_1(y_1 - 1) \left( \frac{C_1}{C_2} + \frac{\sinh(\rho_2)}{\rho_2} \right) k}{(x_2(y_2^2 - 1) + x_1(y_1 y_2 - k)) \left( \frac{C_1}{C_2} + \frac{\sinh(\rho_2)}{\rho_2} \right) (x_1(y_1 y_2 - k))}$$

$$S_{R_2}^{T(p)} = R_2 \left( \frac{N'(s)}{N(s)} - \frac{D'(s)}{D(s)} \right)$$

$$N(s) = x_1(y_1 - 1) \left( \frac{C_1}{C_2} + \frac{\sinh(\rho_2)}{\rho_2} \right) k$$

$$\begin{aligned} N'(s) &= k \left( \frac{C_1}{C_2} + \frac{\sinh(\rho_2)}{\rho_2} \right) \frac{d}{dR_2} \left( \frac{\sinh(\rho_2)}{\rho_2} \right) \\ &= k \left( \frac{C_1}{C_2} + \frac{\sinh(\rho_2)}{\rho_2} \right) \left[ \frac{1}{\rho_2^2} \left( \rho_2 (S(C_1 + C_2)) \cosh(\rho_2) - \frac{(S(C_1 + C_2)) \sinh(\rho_2)}{2\rho_2} \right) \right] \\ &= k \left( \frac{C_1}{C_2} + \frac{\sinh(\rho_2)}{\rho_2} \right) \left( \frac{S(C_1 + C_2)}{2} \right) \left( \frac{\cosh(\rho_2)}{\rho_2^2} - \frac{\sinh(\rho_2)}{\rho_2^3} \right) \end{aligned}$$

ให้  $x_1 = x_2 = X, y_1 = y_2 = Y$

$$N'(s) = k \left( \frac{\rho \cosh(\rho) - 1}{R \sinh(\rho)} \right) \left( \frac{S(C_1 + C_2)}{2} \right) \left[ \frac{\cosh(\rho)}{\rho^2} - \frac{\sinh(\rho)}{\rho^3} \right]$$

$$\frac{R_2 N'(s)}{N(s)} = \frac{1}{2} \left[ \frac{\cosh(\rho) - \frac{\rho}{\sinh(\rho)}}{\frac{C_1}{C_2} + \frac{\rho}{\sinh(\rho)}} \right]$$

$$D'(s) = \left( \frac{C_1}{C_2} \right) \left[ \frac{d}{dR_2} \left( \frac{\rho_2 (\cosh^2(\rho_2) - 1)}{R_2 \sinh(\rho_2)} \right) \right] + x_1 y_1 \frac{d}{dR_2} (\cosh(\rho_2)) + (x_1(y_1 - k)) \frac{d}{dR_2} \left( \frac{\sinh(\rho_2)}{\rho_2} \right)$$

$$\begin{aligned} \frac{d}{dR_2} \left( \frac{\rho_2 (\cosh^2(\rho_2) - 1)}{R_2 \sinh(\rho_2)} \right) &= \frac{1}{R_2^2 \sinh^2(\rho_2)} \left[ R_2 \sinh(\rho_2) \left( \frac{2\rho_2 (S(C_1 + C_2)) \sinh(\rho_2)}{2\rho_2} + \frac{(S(C_1 + C_2)) \cosh(\rho_2)}{2\rho_2} \right) \right. \\ &\quad \left. - \rho_2 (\cosh^2(\rho_2) - 1) \left( \frac{R_2 (S(C_1 + C_2)) \cosh(\rho_2)}{2\rho_2} + \sinh(\rho_2) \right) \right] \end{aligned}$$

$$\frac{d}{dR_2} \left( \frac{\sinh(\rho_2)}{\rho_2} \right) = \frac{S(C_1 + C_2)}{2} \left[ \frac{\cosh(\rho_2)}{\rho_2^2} - \frac{\sinh(\rho_2)}{\rho_2^3} \right]$$

ให้  $x_1 = x_2 = X, y_1 = y_2 = Y$

$$D'(s) = S(C_1 + C_2) \left( \frac{C_1}{C_2} \right) \left[ \frac{\cosh(\rho)}{R_2} + (\cosh^2(\rho) - 1) \left( \frac{1}{2\rho_2 R_2 \sinh(\rho)} - \frac{R_2 \cosh(\rho)}{2} + \frac{R_2 \sinh(\rho)}{\rho_2} \right) + \frac{\cosh(\rho)}{2R} \right]$$

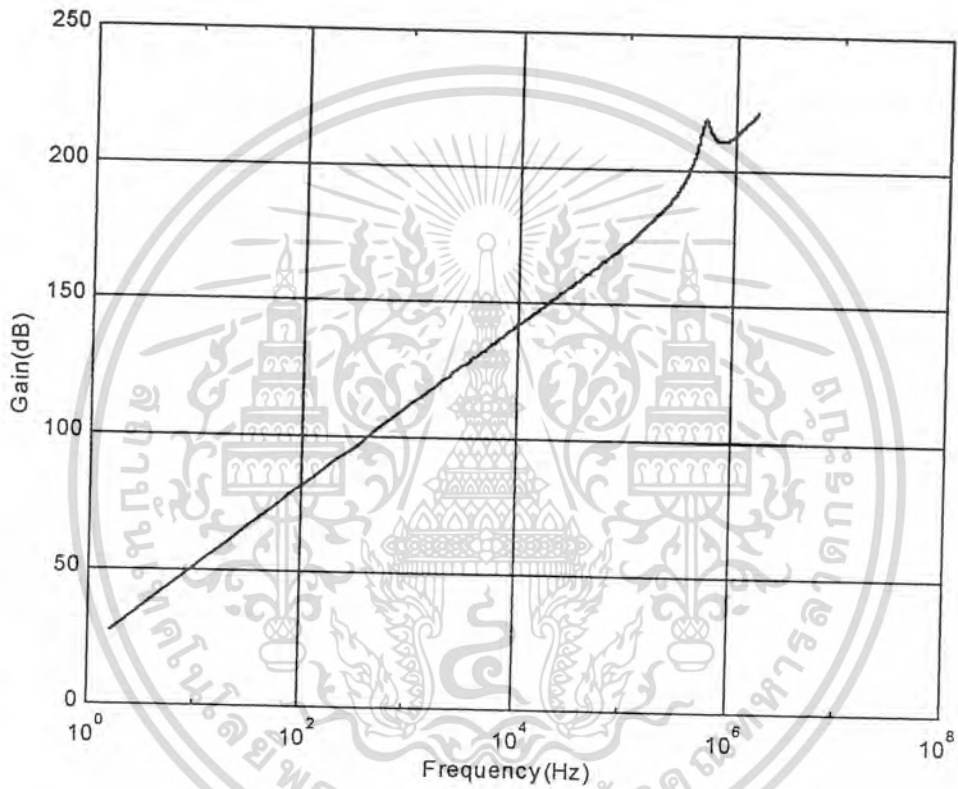
$$+ \frac{S(C_1 + C_2)}{2} \left( \frac{\rho (\cosh(\rho) - k)}{R \sinh(\rho)} \right) \left( \frac{\cosh(\rho)}{\rho^2} - \frac{\sinh(\rho)}{\rho^3} \right)$$

เอกสารนี้เป็นเอกสารที่สงวนไว้สำหรับการใช้งานเพื่อการศึกษาเท่านั้น ไม่อนุญาตให้นำไปใช้ประโยชน์ด้านการค้า ไม่ว่าจะกรณีใดๆ ทั้งสิ้น อีกทั้งห้ามมิให้ตัดแปลงเนื้อหา และต้องอ้างอิงถึงเจ้าของเอกสารทุกครั้งที่มีการนำไปใช้

$$D(s) = \frac{p}{R \sinh(p)} \left[ \left( \frac{1-\alpha}{\alpha} \right) (2 \cosh^2(p) - 1 - k) + \left( \frac{\sinh(p)}{p} \right) (\cosh(p) - k) \right]$$

$$\frac{D'(s)}{D(s)} = \frac{\frac{1}{2} \left[ \left( \frac{C_1}{C_2} \right) \left[ \frac{3p \sinh(2p)}{2} + (\cosh^2(p) - 1) \left( \frac{1}{p} + R^2 \sinh(p) \left( \frac{2 \sinh(p)}{p} - \cosh(p) \right) \right) \right] + (\cosh(p) - k) \left( \cosh(p) - \frac{\sinh(p)}{p} \right) \right]}{\left( \frac{1-\alpha}{\alpha} \right) (2 \cosh^2(p) - 1 - k) + \frac{\sinh(p)}{p} (\cosh(p) - k)}$$

$$S_{R_2}^{T(p)} = \frac{1}{2} \left[ \frac{\cosh(p) - \frac{\sinh(p)}{p}}{\frac{C_1}{C_2} + \frac{\sinh(p)}{p}} - \frac{\left( \frac{C_1}{C_2} \right) \left[ \frac{3p \sinh(2p)}{2} + (\cosh^2(p) - 1) \left( \frac{1}{p} + R^2 \sinh(p) \left( \frac{2 \sinh(p)}{p} - \cosh(p) \right) \right) \right] + (\cosh(p) - k) \left( \cosh(p) - \frac{\sinh(p)}{p} \right)}{\left( \frac{1-\alpha}{\alpha} \right) (2 \cosh^2(p) - 1 - k) + \frac{\sinh(p)}{p} (\cosh(p) - k)} \right]$$



รูป 4.5 กราฟแสดงค่า Sensitivity (R2) ของวงจร BPF one notch characteristics

เอกสารนี้เป็นเอกสารที่สงวนไว้สำหรับการใช้งานเพื่อการศึกษาเท่านั้น ไม่อนุญาตให้นำไปใช้ประโยชน์ด้านการค้า ไม่ว่าจะกรณีใดๆ ทั้งสิ้น อีกทั้งห้ามมิให้ตัดแปลงเนื้อหา และต้องอ้างอิงถึงเจ้าของเอกสารทุกครั้งที่มีการนำไปใช้

### -การคำนวณหา Sensitivity ของ C1

$$T(\rho) = \frac{x_1(y_1 - 1)\left(\frac{C_1}{C_2} + \frac{\sinh(\rho_2)}{\rho_2}\right)k}{(x_2(y_2^2 - 1) + x_1(y_1 y_2 - k))\left(\frac{C_1}{C_2} + \frac{\sinh(\rho_2)}{\rho_2}\right)(x_1 y_1 y_2 - k)}$$

$$S_{C_1}^{T(\rho)} = C_1 \left( \frac{N'(s)}{N(s)} - \frac{D'(s)}{D(s)} \right)$$

$$N(s) = x_1(y_1 - 1)\left(\frac{C_1}{C_2} + \frac{\sinh(\rho_2)}{\rho_2}\right)k$$

$$N'(s) = kx_1(y_1 - 1)\left(\frac{SR_2 C_2}{2}\right)\left(\frac{2}{C_2} + \frac{\cosh(\rho_2)}{\rho_2^2} - \frac{\sinh(\rho_2)}{\rho_2^3}\right)$$

ให้  $x_1 = x_2 = x, y_1 = y_2 = y$

$$N'(s) = k \left( \frac{p(\cosh(p) - 1)}{R \sinh(p)} \right) \left( \frac{SR_2 C_2}{2} \right) \left[ \frac{2}{C_2} + \frac{\cosh(p)}{p^2} - \frac{\sinh(p)}{p^3} \right]$$

$$\frac{C_1 N'(s)}{N(s)} = \frac{C_2}{2} \left[ \frac{2p^2 + \cosh(p) - \frac{\sinh(p)}{p}}{C_2 \left[ \frac{1}{\Omega} \left( \frac{C_1}{C_2} + \frac{\sinh(p)}{p} \right) \right]} \right]$$

$$D'(s) = \left( \frac{1}{C_2} \right) \left[ \frac{d}{dC_1} \left( \frac{C_1 \rho_2 (\cosh^2(\rho_2) - 1)}{R_2 \sinh(\rho_2)} \right) + x_1 y_1 \frac{d}{dC_1} (C_1 \cosh(\rho_2)) \right] + (x_1 y_1 - k) \frac{d}{dC_1} \left( \frac{\sinh(\rho_2)}{\rho_2} \right)$$

ให้  $x_1 = x_2 = x, y_1 = y_2 = y$

$$D'(s) = (SRC_1) \left( \frac{p}{R \sinh(p)} \right) \left[ (\cosh^2(p) - 1) \left( \frac{1}{2p^2} + \frac{1}{R \sinh(p)} \right) + \frac{\sinh(2p)}{2p} \left( 1 - \frac{\cosh^2(p) - 1}{2} + \frac{\sinh(2p)}{4p} \right) + \frac{\cosh^2(p)}{SRC_1} \right]$$

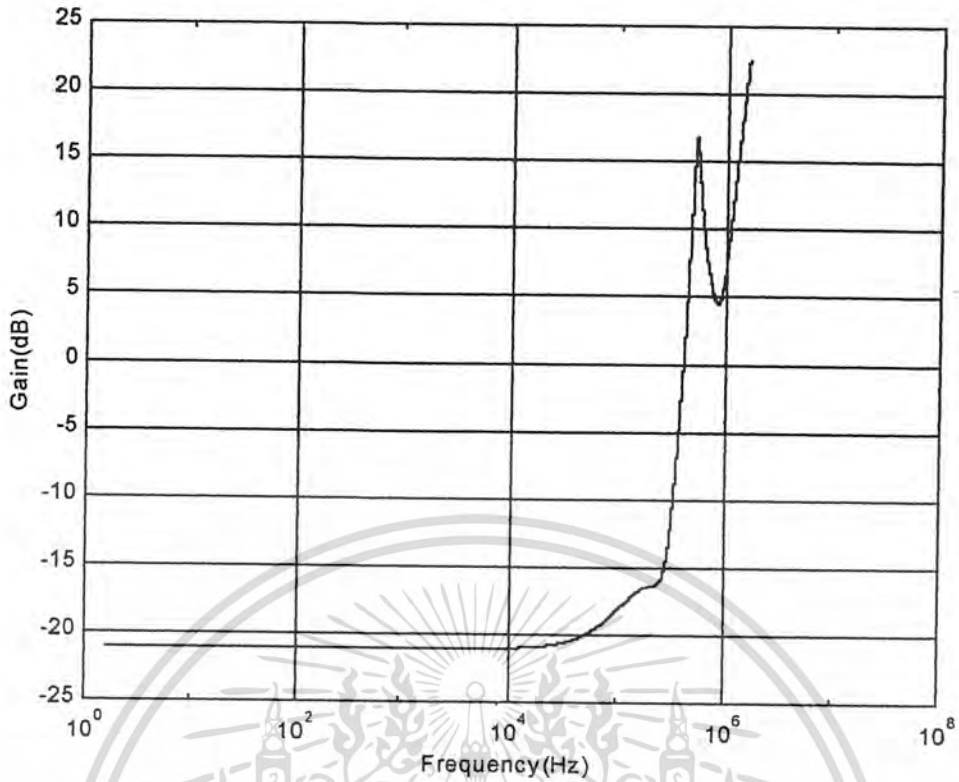
$$+ \frac{C_2 (\cosh(p) - k)}{2C_1} \left( \frac{\cosh(p)}{p^2} - \frac{\sinh(p)}{p^3} \right)$$

$$D(s) = \frac{p}{R \sinh(p)} \left[ \left( \frac{1 - \alpha}{\alpha} \right) (2 \cosh^2(p) - 1 - k) + \left( \frac{\sinh(p)}{p} \right) (\cosh(p) - k) \right]$$

$$C_1 \frac{D'(s)}{D(s)} = \frac{\frac{1}{2} \left[ \Omega (\cosh^2(p) - 1) \left( 1 + \frac{2p^2}{R \sinh(p)} \right) + \Omega p \sinh(2p) \left( 2 - \frac{\cosh^2(p)}{2} \right) + \cosh^2(p) + \alpha (\cosh(p) - k) \left( \cosh(p) - \frac{\sinh(p)}{p} \right) \right]}{\left( \frac{1}{C_2} \right) (2 \cosh^2(p) - 1 - k) + \frac{\sinh(p)}{C_1 p} (\cosh(p) - k)}$$

$$S_{C_1}^{T(\rho)} = \frac{1}{2} \left[ \frac{2p^2 + C_2 \cosh(p) - \frac{\sinh(p)}{p}}{\frac{1}{\Omega} \left( \frac{C_1}{C_2} + \frac{\sinh(p)}{p} \right)} - \frac{\Omega (\cosh^2(p) - 1) \left( 1 + \frac{2p^2}{R \sinh(p)} \right) + \Omega p \sinh(2p) \left( 2 - \frac{\cosh^2(p)}{2} \right) + \cosh^2(p) + \alpha (\cosh(p) - k) \left( \cosh(p) - \frac{\sinh(p)}{p} \right)}{\left( \frac{1}{C_2} \right) (2 \cosh^2(p) - 1 - k) + \frac{\sinh(p)}{C_1 p} (\cosh(p) - k)} \right]$$

เอกสารนี้เป็นเอกสารที่สงวนไว้สำหรับการใช้งานเพื่อการศึกษาเท่านั้น ไม่อนุญาตให้นำไปใช้ประโยชน์ด้านการค้า ไม่ว่าจะกรณีใดๆ ทั้งสิ้น อีกทั้งห้ามมิให้ตัดแปลงเนื้อหา และต้องอ้างอิงถึงเจ้าของเอกสารทุกครั้งที่มีการนำไปใช้



รูป 4.6 กราฟแสดงค่า Sensitivity (C1) ของวงจร BPF one notch characteristics

-การคำนวณหา Sensitivity ของ C2

$$T_{(p)} = \frac{x_1(y_1 - 1)(C_1 + \frac{C_2 \sinh(p_2)}{p_2})k}{(x_2(y_2^2 - 1) + x_1(y_1 y_2 - k))C_1 + \frac{C_2 \sinh(p_2)}{p_2} (x_1(y_1 y_2 - k))}$$

$$S_{C_2}^{T(p)} = C_2 \left( \frac{N'(s)}{N(s)} - \frac{D'(s)}{D(s)} \right)$$

$$N(s) = x_1(y_1 - 1)(C_1 + \frac{C_2 \sinh(p_2)}{p_2})k$$

$$N'(s) = kx_1(y_1 - 1)(SR_2) \left[ \frac{C_1 C_2}{2p_2^2} (\cosh(p_2) - \frac{\sinh(p_2)}{p_2}) + \frac{\sinh(p_2)}{SR_2 p_2} \right]$$

ให้  $x_1 = x_2 = x, y_1 = y_2 = y$

$$N'(s) = k \left( \frac{p(\cosh(p) - 1)}{R \sinh(p)} \right) (SR_2) \left[ \frac{C_1 C_2}{2p_2^2} (\cosh(p_2) - \frac{\sinh(p_2)}{p_2}) + \frac{\sinh(p_2)}{SR_2 p_2} \right]$$

เอกสารนี้เป็นเอกสารที่สงวนไว้สำหรับการใช้งานเพื่อการศึกษาเท่านั้น ไม่อนุญาตให้นำไปใช้ประโยชน์ด้านการค้า ไม่ว่าจะกรณีใดๆ ทั้งสิ้น อีกทั้งห้ามมิให้ตัดแปลงเนื้อหา และต้องอ้างอิงถึงเจ้าของเอกสารทุกครั้งที่มีการนำไปใช้

$$\frac{C_2 N'(s)}{N(s)} = \frac{1}{2} \left[ \frac{C_1 \cosh(\rho) - \frac{\sinh(\rho)}{\rho} (2 - C_1)}{\frac{1}{C_2 \alpha} \left[ \frac{C_1}{C_2} + \frac{\sinh(\rho)}{\rho} \right]} \right]$$

$$D'(s) = C_1 \frac{d}{dC_2} \left( \frac{\rho_2 (\cosh^2(\rho_2) - 1)}{R_2 \sinh(\rho_2)} \right) + x_1 y_1 \frac{d}{dC_2} (\cosh(\rho_2)) + (x_1 (y_1 - k)) \frac{d}{dC_2} \left( \frac{C_2 \sinh(\rho_2)}{\rho_2} \right)$$

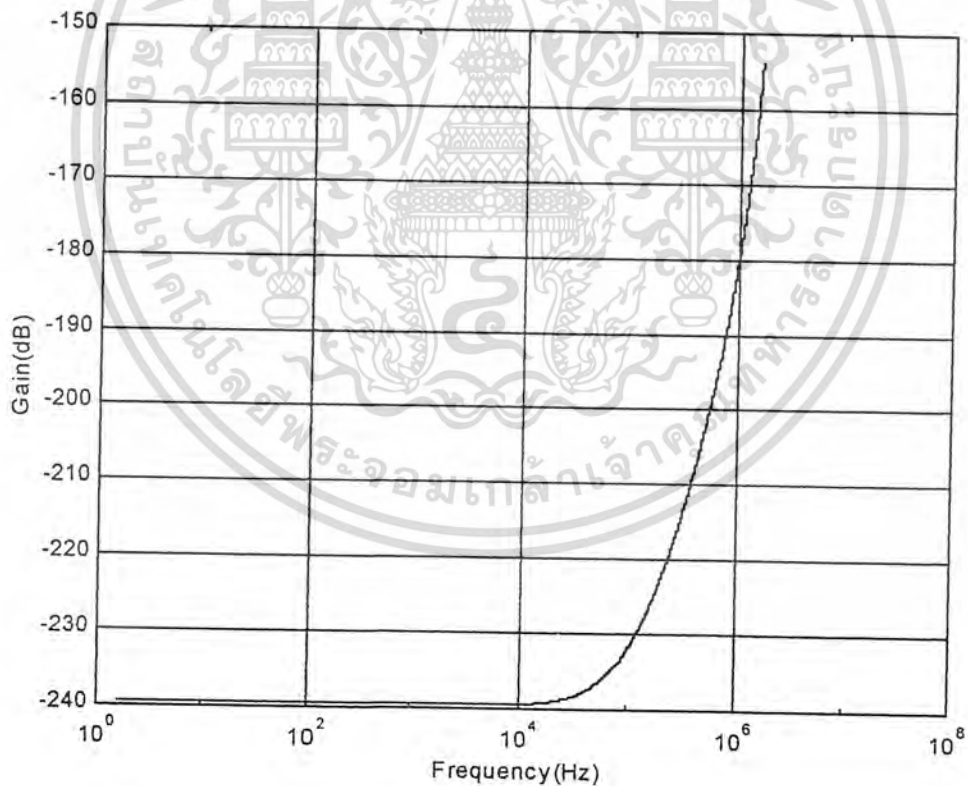
ให้  $x_1 = x_2 = x, y_1 = y_2 = y$

$$D'(s) = (SR_2) \left( \frac{\rho}{R \sinh(\rho)} \right) \left[ \frac{C_1^2}{2} \left( \frac{\sinh(2\rho)}{\rho} + \frac{(\cosh^2(\rho) - 1)}{\rho} \left( \frac{1}{\rho} - \frac{\sinh(2\rho)}{2} \right) \right) + \frac{C_2 \cosh(\rho)}{2} \left( \frac{\sinh(\rho)}{\rho} \right) \right. \\ \left. + (\cosh(\rho) - k) \left( \frac{C_1 C_2}{2\rho^2} (\cosh(\rho) - \frac{\sinh(\rho)}{\rho}) + \frac{\sinh(\rho)}{SR\rho} \right) \right]$$

$$D(s) = \frac{\rho}{R \sinh(\rho)} \left[ \left( \frac{1 - \alpha}{\alpha} \right) (2 \cosh^2(\rho) - 1 - k) + \left( \frac{\sinh(\rho)}{\rho} \right) (\cosh(\rho) - k) \right]$$

$$C_2 \frac{D'(s)}{D(s)} = \frac{\frac{1}{2} \left[ \rho \sinh(2\rho) (1 + C_1) + (\cosh^2(\rho) - 1) \left( 1 - \frac{\rho \sinh(2\rho)}{2} \right) + C_2 (\cosh(\rho) - k) \left( \cosh(\rho) - \frac{\sinh(\rho)}{\rho} \right) + \frac{2 \sinh(\rho)}{\rho} \right]}{\left( \frac{1}{\alpha C_2} \right) (2 \cosh^2(\rho) - 1 - k) + \frac{\sinh(\rho)}{\alpha C_1 \rho} (\cosh(\rho) - k)}$$

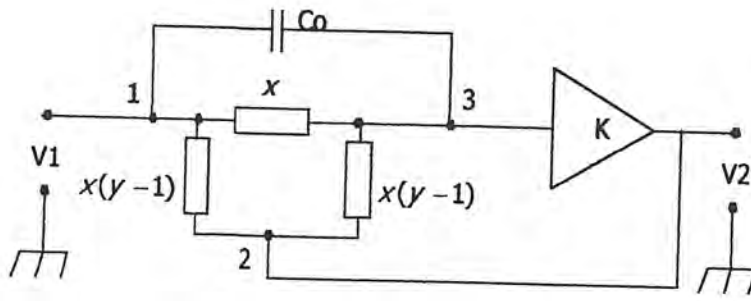
$$S_{C_2}^{D(s)} = \frac{1}{2} \left[ \frac{C_1 \cosh(\rho) + \frac{\sinh(\rho)}{\rho} (2 - C_1)}{\frac{1}{C_2 \alpha} \left( \frac{C_1}{C_2} + \frac{\sinh(\rho)}{\rho} \right)} \frac{\rho \sinh(2\rho) (1 + C_1) + (\cosh^2(\rho) - 1) \left( 1 - \frac{\rho \sinh(2\rho)}{2} \right) + C_2 (\cosh(\rho) - k) \left( \cosh(\rho) - \frac{\sinh(\rho)}{\rho} \right) + \frac{2 \sinh(\rho)}{\rho}}{\left( \frac{1}{\alpha C_2} \right) (2 \cosh^2(\rho) - 1 - k) + \frac{\sinh(\rho)}{\alpha C_1 \rho} (\cosh(\rho) - k)} \right]$$



รูป 4.7 กราฟแสดงค่า Sensitivity (C2) ของวงจร BPF one notch characteristics

เอกสารนี้เป็นเอกสารที่สงวนไว้สำหรับการใช้งานเพื่อการศึกษาเท่านั้น ไม่อนุญาตให้นำไปใช้ประโยชน์ด้านการค้า ไม่ว่าจะกรณีใดๆ ทั้งสิ้น อีกทั้งห้ามมิให้ตัดแปลงเนื้อหา และต้องอ้างอิงถึงเจ้าของเอกสารทุกครั้งที่มีการนำไปใช้

4.2 การคำนวณหา Sensitivity ของวงจร Active notch characteristics



รูป 4.8 การคำนวณทางคณิตศาสตร์ของวงจร Active notch characteristics

-การคำนวณหา Sensitivity ของ K2

$$T(p) = \frac{(\frac{C_3}{C_0} + P \sinh(p))K_2}{\frac{C_3}{C_0} \cosh(p) + P \sinh(p) + K_2 \frac{C_3}{C_0} (1 - \cosh(p))}$$

จากสูตร

$$S_{K_2}^{T(p)} = K_2 \left( \frac{N'(S)}{N(S)} - \frac{D'(S)}{D(S)} \right)$$

$$N(S) = K_2 \left( P \sinh(p) + \frac{C_3}{C_0} \right)$$

$$N'(S) = \left( P \sinh(p) + \frac{C_3}{C_0} \right) \frac{dK_2}{dK_2} = P \sinh(p) + \frac{C_3}{C_0}$$

$$D(S) = P \sinh(p) + \frac{C_3}{C_0} \cosh(p) + K_2 \frac{C_3}{C_0} (1 - \cosh(p))$$

$$D'(S) = \frac{C_3}{C_0} (1 - \cosh(p)) \frac{dK_2}{dK_2} = \frac{C_3}{C_0} (1 - \cosh(p))$$

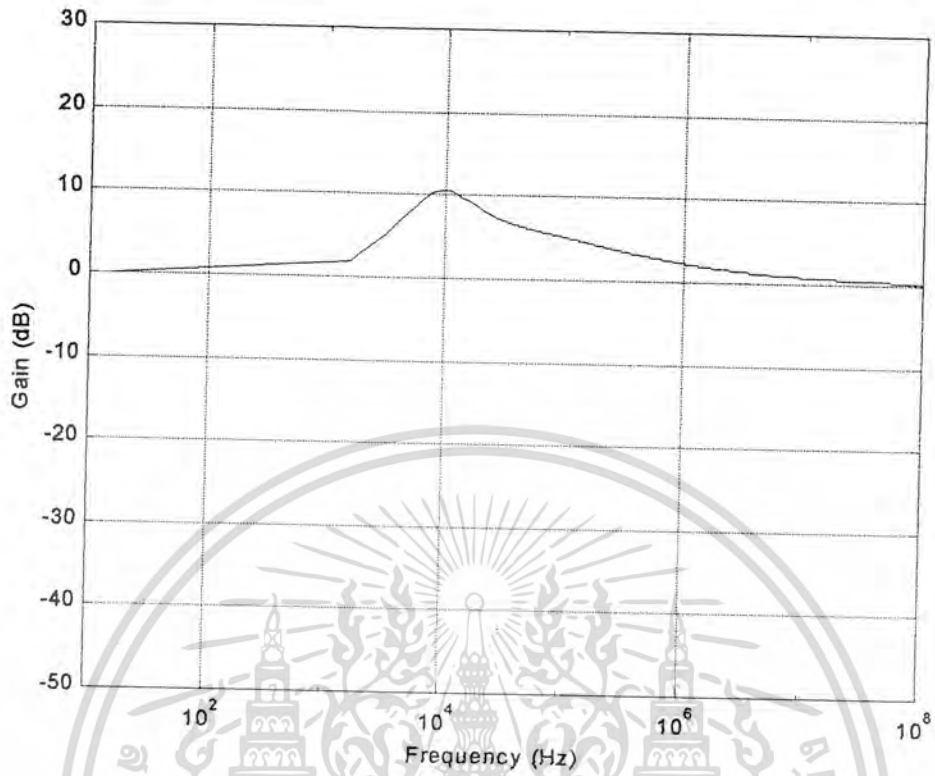
$$S_{K_2}^{T(p)} = K_2 \left( \frac{P \sinh(p) + \frac{C_3}{C_0}}{K_2 \left( P \sinh(p) + \frac{C_3}{C_0} \right)} - \frac{\frac{C_3}{C_0} (1 - \cosh(p))}{P \sinh(p) + \frac{C_3}{C_0} \cosh(p) + K_2 \frac{C_3}{C_0} (1 - \cosh(p))} \right)$$

$$= 1 - \frac{K_2 \frac{C_3}{C_0} (1 - \cosh(p))}{P \sinh(p) + \frac{C_3}{C_0} \cosh(p) + K_2 \frac{C_3}{C_0} (1 - \cosh(p))}$$

$$= \frac{P \sinh(p) + \frac{C_3}{C_0} \cosh(p) + K_2 \frac{C_3}{C_0} (1 - \cosh(p)) - K_2 \frac{C_3}{C_0} (1 - \cosh(p))}{P \sinh(p) + \frac{C_3}{C_0} \cosh(p) + K_2 \frac{C_3}{C_0} (1 - \cosh(p))}$$

$$= \frac{P \sinh(p) + \frac{C_3}{C_0} \cosh(p)}{P \sinh(p) + \frac{C_3}{C_0} \cosh(p) + K_2 \frac{C_3}{C_0} (1 - \cosh(p))}$$

เอกสารนี้เป็นเอกสารที่สงวนไว้สำหรับการใช้งานเพื่อการศึกษาเท่านั้น ไม่อนุญาตให้นำไปใช้ประโยชน์ด้านการค้า ไม่ว่าจะกรณีใดๆ ทั้งสิ้น อีกทั้งห้ามมิให้ตัดแปลงเนื้อหา และต้องอ้างอิงถึงเจ้าของเอกสารทุกครั้งที่มีการนำไปใช้



รูป 4.9 กราฟแสดงค่า Sensitivity ( $K_2$ ) ของวงจร Active notch characteristics

-การคำนวณหา Sensitivity ของ  $C_0$

$$T_{(p)} = \frac{\left(\frac{C_3}{C_0} + P \sinh(P)\right)K_2}{\frac{C_3}{C_0} \cosh(P) + P \sinh(P) + K_2 \frac{C_3}{C_0} (1 - \cosh(P))}$$

เอา  $C_0$  คูณตลอด

$$T_{(p)} = \frac{(C_0 P \sinh(P) + C_3)K_2}{C_3 \cosh(P) + C_0 P \sinh(P) + K_2 C_3 (1 - \cosh(P))}$$

จากสูตร

$$S_{K_2}^{T_{(p)}} = C_0 \left( \frac{N'(S)}{N(S)} - \frac{D'(S)}{D(S)} \right)$$

$$N(S) = K_2 (C_0 P \sinh(p) + C_3)$$

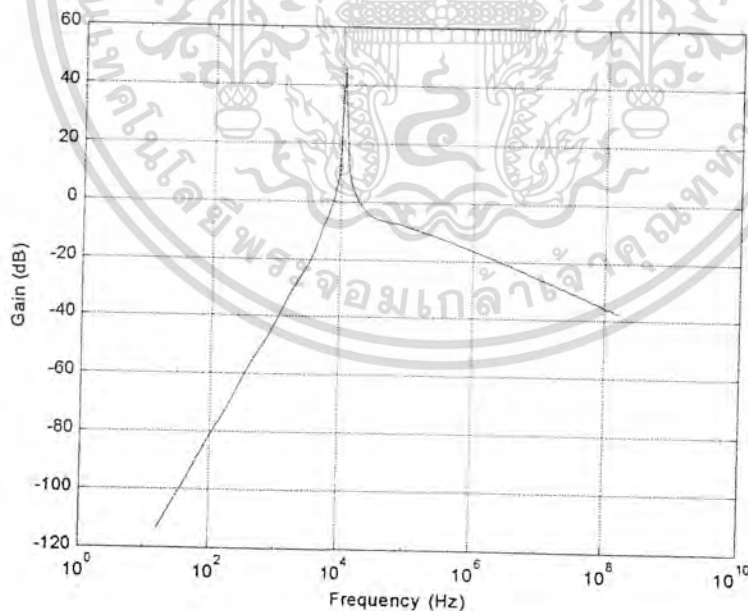
$$N'(S) = K_2 (P) \sinh p$$

เอกสารนี้เป็นเอกสารที่สงวนไว้สำหรับการใช้งานเพื่อการศึกษาเท่านั้น ไม่อนุญาตให้นำไปใช้ประโยชน์ด้านการค้า ไม่ว่าจะกรณีใดๆ ทั้งสิ้น อีกทั้งห้ามมิให้ตัดแปลงเนื้อหา และต้องอ้างอิงถึงเจ้าของเอกสารทุกครั้งที่มีการนำไปใช้

$$D(S) = C_0 P \sinh(\rho) + C_3 \cosh(\rho) + K_2 C_3 (1 - \cosh(\rho))$$

$$D'(S) = P \sinh(\rho)$$

$$\begin{aligned} S_{C_0}^{T(w)} &= C_0 \left( \frac{P \sinh(\rho)}{C_0 P \sinh(\rho) + C_3 \cosh(\rho) + K_2 C_3 (1 - \cosh(\rho))} \right) \\ &= \frac{P \sinh(\rho)}{P \sinh(\rho) + \frac{C_3}{C_0} \cosh(\rho) + K_2 \frac{C_3}{C_0} (1 - \cosh(\rho))} \\ &= \frac{1}{1 + \frac{C_3}{C_0 P \sinh(\rho)} \left( \frac{C_3}{C_0} \cosh(\rho) + K_2 \frac{C_3}{C_0} (1 - \cosh(\rho)) \right)} \\ &= \frac{P \sinh(\rho) + \frac{C_3}{C_0} (1 - K_2) \cosh(\rho) + K_2 \frac{C_3}{C_0} - P \sinh(\rho) - \frac{C_3}{C_0}}{P \sinh(\rho) + \frac{C_3}{C_0} \cosh(\rho) + K_2 \frac{C_3}{C_0} (1 - \cosh(\rho)) + \frac{C_3}{C_0} + \frac{C_3^2 (1 - K_2) \cosh(\rho)}{C_0^2 P \sinh(\rho)} + \frac{C_3^2 K_2}{C_0^2 P \sinh(\rho)}} \\ &= \frac{\frac{C_3}{C_0} (K_2 + (1 - K_2) \cosh(\rho) - 1)}{\frac{C_3}{C_0} \left( \frac{1}{P \sinh(\rho)} \left( \frac{C_3 K_2}{C_0} + \frac{C_3 (1 - K_2)}{C_0} \right) + 1 + K_2 (1 - \cosh(\rho)) + \cosh(\rho) \right) + P \sinh(\rho)} \\ &= \frac{P \sinh(\rho) (1 - K_2) (\cosh(\rho) - 1)}{\frac{C_3}{C_0} (K_2 + (1 - K_2) \cosh(\rho)) + P \sinh(\rho) ((1 - K_2) \cosh(\rho) + 1 + K_2) + \frac{C_0 P^2 \sinh^2(\rho)}{C_3}} \\ &= \frac{P \sinh(\rho) (\cosh(\rho) - 1)}{\frac{C_3}{C_0} \left( \frac{K_2}{(1 - K_2)} + \cosh(\rho) \right) + P \sinh(\rho) (\cosh(\rho) + \frac{1 + K_2}{1 - K_2}) + \frac{C_0 P^2 \sinh^2(\rho)}{C_3 (1 - K_2)}} \end{aligned}$$



รูป 4.10 กราฟแสดงค่า Sensitivity (Co) ของวงจร Active notch characteristics

เอกสารนี้เป็นเอกสารที่สงวนไว้สำหรับการใช้งานเพื่อการศึกษาเท่านั้น ไม่อนุญาตให้นำไปใช้ประโยชน์ด้านการค้า ไม่ว่าจะกรณีใดๆ ทั้งสิ้น อีกทั้งห้ามมิให้ตัดแปลงเนื้อหา และต้องอ้างอิงถึงเจ้าของเอกสารทุกครั้งที่มีการนำไปใช้

### -การคำนวณหา Sensitivity ของ R3

$$T(p) = \frac{(C_3 + P \sinh(p))K_2}{\frac{C_3}{C_0} \cosh(p) + P \sinh(p) + K_2 \frac{C_3}{C_0} (1 - \cosh(p))}$$

จากสูตร

$$S_{k_2}^{T(p)} = R_3 \left( \frac{N'(S)}{N(S)} - \frac{D'(S)}{D(S)} \right)$$

$$N(S) = K_2(P \sinh(p) + \frac{C_3}{C_0})$$

$$\begin{aligned} N'(S) &= K_2 \left( \frac{Pd \sinh(p)}{dR_2} + \frac{\sinh(p)dP}{dR_2} \right) \\ &= K_2 \left( \frac{SC_3 \sinh(p)}{2P} + SC_3 \frac{\cosh(p)}{2} \right) \\ &= \frac{SC_3 K_2}{2} \left( \frac{\sinh(p)}{P} + \cosh(p) \right) \end{aligned}$$

$$D(S) = C_0 P \sinh(p) + \frac{C_3}{C_0} \cosh(p) + K_2 \frac{C_3}{C_0} (1 - \cosh(p))$$

$$\begin{aligned} D'(S) &= \frac{d}{dR_3} \left( P \sinh(p) + \frac{C_3}{C_0} (1 - K_2) \cosh(p) + \frac{K_2 C_3}{C_0} \right) \\ &= SC_3 \left( \frac{P \sinh(p)}{2P} + \frac{\cosh(p)}{2} \right) + SC_3 \frac{C_3}{C_0} (1 - K_2) \frac{\sinh(p)}{2P} \\ &= SC_3 \frac{\sinh(p)}{2P} \left( 1 + \frac{C_3}{C_0} (1 - K_2) \right) + SC_3 \frac{\cosh(p)}{2} \end{aligned}$$

$$S_{C_0}^{T(p)} = \frac{1}{2} \left[ \frac{P \sinh(p) + P^2 \cosh(p)}{P \sinh(p) + \frac{C_3}{C_0}} - \frac{1 + (1 - K_2) \frac{C_3}{C_0} + \frac{P \cosh(p)}{\sinh(p)}}{1 + \frac{C_3(1 - K_2) \cosh(p)}{C_0 P \sinh(p)} + \frac{C_3 K_2}{C_0 P \sinh(p)}} \right] = \frac{e_1}{e_2}$$

$$\begin{aligned} e_1 &= P \sinh(p) + \frac{C_3}{C_0} (1 - K_2) \cosh(p) + \frac{K_2 C_3}{C_0} + P^2 \cosh(p) + \frac{C_3(1 - K_2) P \cosh^2(p)}{C_0 \sinh(p)} \\ &\quad + \frac{C_3 K_2 P \cosh(p)}{C_0 \sinh(p)} - P \sinh(p) - \frac{C_3}{C_0} (1 - K_2) P \sinh(p) - P^2 \cosh(p) - \frac{C_3}{C_0} \\ &\quad - \frac{C_3^2 (1 - K_2)}{C_0^2} - \frac{C_3 P \cosh(p)}{C_0 \sinh(p)} \end{aligned}$$

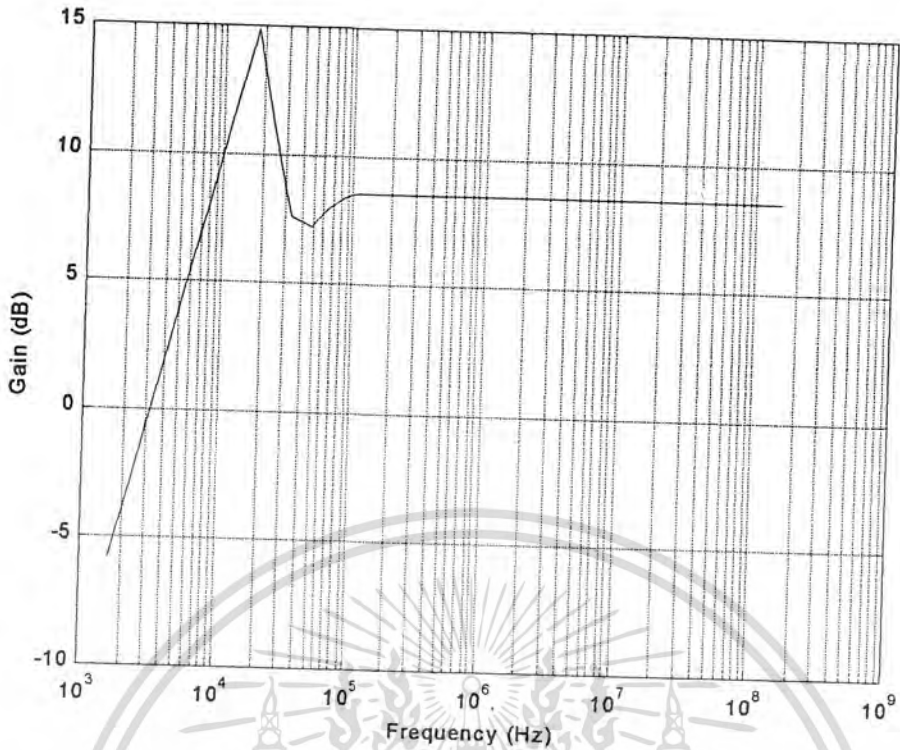
$$= P \cosh^2(p)(1 - K_2) - P \cosh(p)(1 - K_2) - \sinh(p)(1 - K_2) - \frac{C_3}{C_0} \sinh(p)(1 - K_2)$$

$$\begin{aligned} e_2 &= P \sinh(p) + \frac{C_3}{C_0} (1 - K_2) \cosh(p) + \frac{K_2 C_3}{C_0} + \frac{C_3}{C_0} + \frac{C_3^2 (1 - K_2) \cosh(p)}{C_0^2 P \sinh(p)} + \frac{C_3^2 K_2}{C_0^2 P \sinh(p)} \\ &= \frac{C_3}{C_0 \sinh(p)} \left( \frac{C_3}{C_0 P} (K_2 + (1 - K_2) \cosh(p)) + \sinh(p)(1 + K_2 + (1 - K_2) \cosh(p)) + \frac{C_0}{C_3} P \sinh^2(p) \right) \end{aligned}$$

$$\frac{e_1}{e_2} = \frac{1}{2} \left[ \frac{p \cosh(p)(\cosh(p) - 1) - \sinh(p)(1 + \frac{C_3}{C_0})}{\frac{(1 - K_2)}{P} \left( \frac{C_3}{C_0} \left( \frac{K_2}{1 - K_2} + \cosh(p) \right) + P \sinh(p) \left( \frac{1 + K_2}{1 - K_2} + \cosh(p) \right) + \frac{C_0 P^2 \sinh^2(p)}{C_3(1 - K_2)} \right)} \right]$$

$$= \frac{1}{2} \left[ \frac{p^2 \cosh(p)(\cosh(p) - 1) - P \sinh(p) \left( \frac{C_3}{C_0} + 1 \right)}{\frac{C_3}{C_0} \left( \frac{K_2}{1 - K_2} + \cosh(p) \right) + P \sinh(p) \left( \frac{1 + K_2}{1 - K_2} + \cosh(p) \right) + \frac{C_0 P^2 \sinh^2(p)}{C_3(1 - K_2)}} \right]$$

เอกสารนี้เป็นเอกสารที่สงวนไว้สำหรับการใช้งานเพื่อการศึกษาเท่านั้น ไม่อนุญาตให้นำไปใช้ประโยชน์ด้านการค้า ไม่ว่ากรณีใดๆ ทั้งสิ้น อีกทั้งห้ามมิให้ตัดแปลงเนื้อหา และต้องอ้างอิงถึงเจ้าของเอกสารทุกครั้งที่มีการนำไปใช้



รูป 4.11 กราฟแสดงค่า Sensitivity (R3) ของวงจร Active notch characteristics

-การคำนวณหา Sensitivity ของ  $C_3$

$$T_{(p)} = \frac{\left(\frac{C_3}{C_o} + P \sinh(P)\right)K_2}{\frac{C_3}{C_o} \cosh(P) + P \sinh(P) + K_2 \frac{C_3}{C_o} (1 - \cosh(P))}$$

จากสูตร

$$S_{K_2}^{T_{(p)}} = C_3 \left( \frac{N'(S)}{N(S)} - \frac{D'(S)}{D(S)} \right)$$

$$N(S) = K_2 \left( P \sinh(p) + \frac{C_3}{C_o} \right)$$

$$\begin{aligned} N'(S) &= K_2 \left( \frac{Pd \sinh(p)}{dC_3} + \frac{\sinh(p)dP}{dC_3} + \frac{dC_3}{C_o dC_3} \right) \\ &= K_2 \left( \frac{SR_3 \sinh(p)}{2P} - SR_3 \frac{\cosh(p)}{2} + \frac{1}{C_o} \right) \\ &= \frac{SR_3 K_2}{2} \left( \frac{\sinh(p)}{P} - \cosh(p) \right) + \frac{K_2}{C_o} \end{aligned}$$

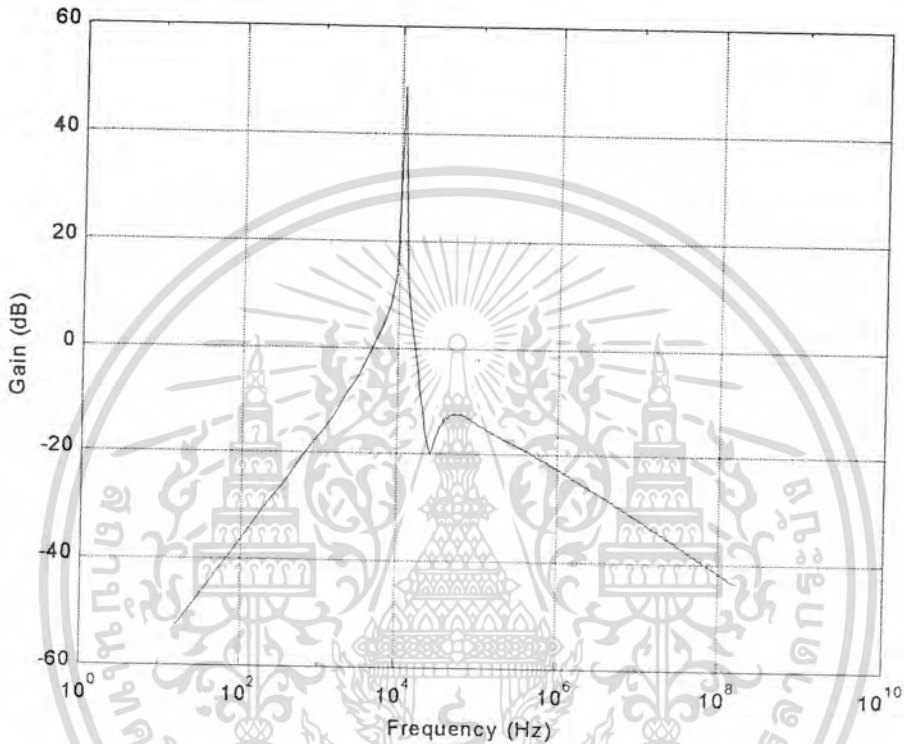
$$D(S) = P \sinh(p) + \frac{C_3}{C_o} \cosh(p) + K_2 \frac{C_3}{C_o} (1 - \cosh(p))$$

$$D'(S) = \frac{Pd \sinh(p)}{dC_3} + \sinh(p) \frac{dP}{dC_3} + \frac{d}{dC_3} \left( \frac{C_3}{C_o} (1 - K_2) \cosh(p) \right) + \frac{K_2 dC_3}{C_o dC_3}$$

$$= SR_3 \left( \frac{\sinh(p)}{2P} (1 + \frac{C_3}{C_o} (1 - K_2) + \frac{\cosh(p)}{2}) + \frac{\cosh(p)}{C_o} (1 - K_2) + \frac{K_2}{C_o} \right)$$

เอกสารนี้เป็นเอกสารที่สงวนไว้สำหรับการใช้งานเพื่อการศึกษาเท่านั้น ไม่อนุญาตให้นำไปใช้ประโยชน์ด้านการค้า ไม่ว่าจะกรณีใดๆ ทั้งสิ้น อีกทั้งห้ามมิให้ตัดแปลงเนื้อหา และต้องอ้างอิงถึงเจ้าของเอกสารทุกครั้งที่มีการนำไปใช้

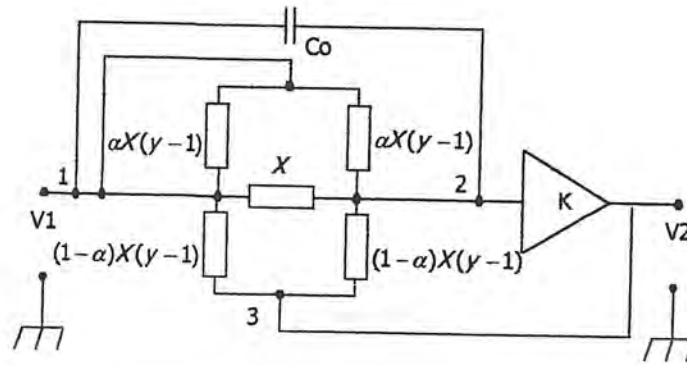
$$S_{C_0}^{T(p)} = \frac{1}{2} \left[ \frac{p^2 \cosh(p) + p \sinh(p) + 2 \frac{C_3}{C_0}}{p \sinh(p) + \frac{C_3}{C_0}} - \frac{p \sinh(p) \left( \frac{C_3(1-K_2)}{C_0} + 1 \right) + p^2 \cosh(p) + \frac{2C_3(1-K_2) \cosh(p)}{C_0} + 2 \frac{C_3 K_2}{C_0}}{p \sinh(p) + \frac{C_3 \cosh(p)}{C_0} + \frac{C_3 K_2}{C_0} (1 - \cosh(p))} \right] = \frac{e_1}{e_2}$$



รูป 4.12 กราฟแสดงค่า Sensitivity (C3) ของวงจร Active notch characteristics

เอกสารนี้เป็นเอกสารที่สงวนไว้สำหรับการใช้งานเพื่อการศึกษาเท่านั้น ไม่อนุญาตให้นำไปใช้ประโยชน์ด้านการค้า ไม่ว่าจะกรณีใดๆ ทั้งสิ้น อีกทั้งห้ามมิให้ตัดแปลงเนื้อหา และต้องอ้างอิงถึงเจ้าของเอกสารทุกครั้งที่มีการนำไปใช้

### 4.3 การคำนวณหา Sensitivity ของวงจร Tunable Notch filter



รูป 4.13 การคำนวณทางคณิตศาสตร์ของวงจร Tunable Notch filter

#### -การคำนวณหา Sensitivity ของ K3

$$T_{(p)} = \frac{k_3(1-\alpha + \alpha \cosh(p) + \beta p \sinh(p))}{(1-k_3(1-\alpha))\cosh(p) + \beta p \sinh(p) + k_3(1-\alpha)}$$

$$S_{k_3}^{T_{(p)}} = k_3 \left( \frac{N'(S)}{N(S)} - \frac{D'(S)}{D(S)} \right)$$

$$N(S) = k_3(1-\alpha + \alpha \cosh(p) + \beta p \sinh(p))$$

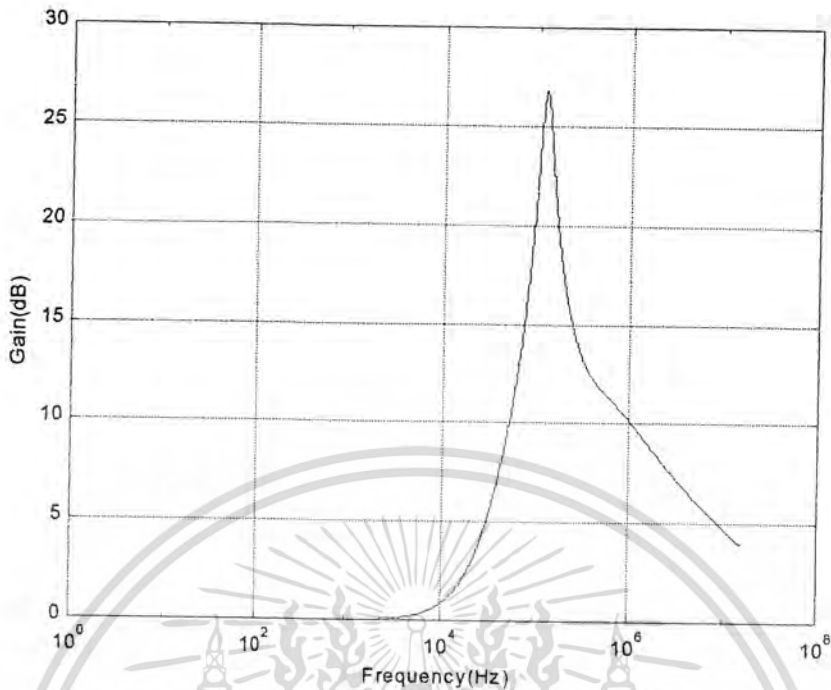
$$N'(S) = 1-\alpha + \alpha \cosh(p) + \beta p \sinh(p)$$

$$D(S) = (1-k_3(1-\alpha))\cosh(p) + \beta p \sinh(p) + k_3(1-\alpha)$$

$$D'(S) = (1-\alpha)(1-\cosh(p))$$

$$\begin{aligned} S_{k_3}^{T_{(p)}} &= k_3 \left( \frac{(1-\alpha + \alpha \cosh(p) + \beta p \sinh(p))}{(1-\alpha + \alpha \cosh(p) + \beta p \sinh(p))k_3} \frac{1-\cosh(p)}{\cosh(p) - \cosh(p) + \frac{\beta p \sinh(p)}{k_3(1-\alpha)} + 1} \right) \\ &= \frac{\cosh(p) + \beta p \sinh(p)}{(1-k_3(1-\alpha))\cosh(p) + \beta p \sinh(p) + k_3(1-\alpha)} \end{aligned}$$

เอกสารนี้เป็นเอกสารที่สงวนไว้สำหรับการใช้งานเพื่อการศึกษาเท่านั้น ไม่อนุญาตให้นำไปใช้ประโยชน์ด้านการค้า ไม่ว่าจะกรณีใดๆ ทั้งสิ้น อีกทั้งห้ามมิให้ตัดแปลงเนื้อหา และต้องอ้างอิงถึงเจ้าของเอกสารทุกครั้งที่มีการนำไปใช้



รูป 4.14 กราฟแสดงค่า Sensitivity (K3) ของวงจร Tunable Notch filter

-การคำนวณหา Sensitivity ของ Co

$$T_{Co} = \frac{k_3(1-\alpha + \alpha \cosh(p) + \beta p \sinh(p))}{(1-k_3(1-\alpha)) \cosh(p) + \beta p \sinh(p) + k_3(1-\alpha)}$$

$$S_{Co}^{T_{Co}} = Co \left( \frac{N'(S)}{N(S)} - \frac{D'(S)}{D(S)} \right)$$

$$N(S) = k_3(1-\alpha + \alpha \cosh(p) + \beta p \sinh(p))$$

$$N'(S) = \frac{k_3 p \sinh(p)}{C_1 + C_2}$$

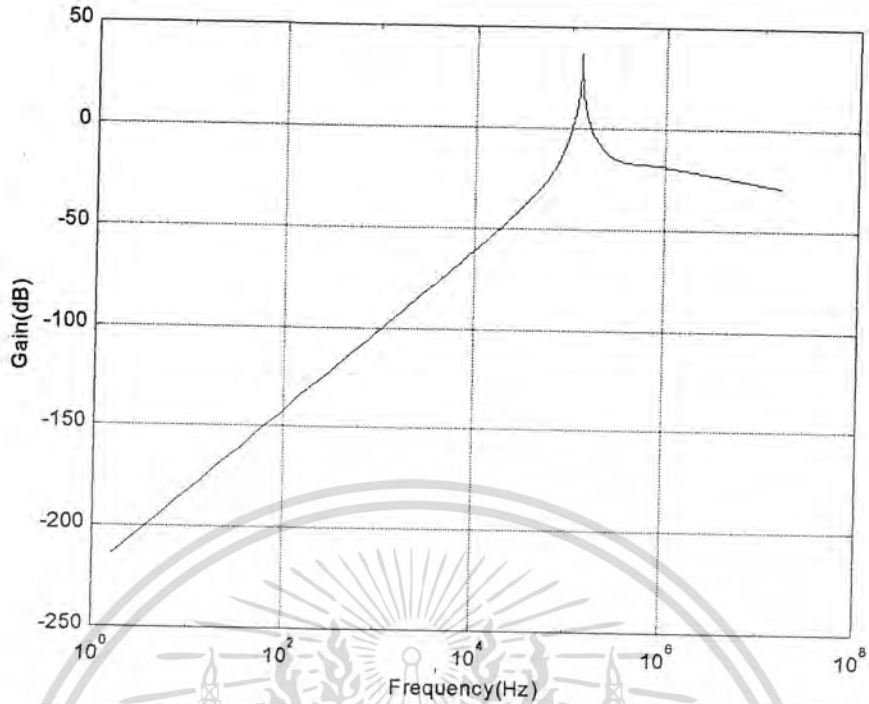
$$D(S) = (1-k_3(1-\alpha)) \cosh(p) + \beta p \sinh(p) + k_3(1-\alpha)$$

$$D'(S) = \frac{p \sinh(p)}{C_1 + C_2}$$

$$S_{Co}^{T_{Co}} = Co \left( \frac{\frac{k_3 p \sinh(p)}{C_1 + C_2}}{(1-\alpha + \alpha \cosh(p) + \beta p \sinh(p)) k_3} - \frac{\frac{p \sinh(p)}{C_1 + C_2}}{(1-k_3(1-\alpha)) \cosh(p) + \beta p \sinh(p) + k_3(1-\alpha)} \right)$$

$$= \frac{\beta p \sinh(p)}{1-\alpha + \alpha \cosh(p) + \beta p \sinh(p)} - \frac{\beta p \sinh(p)}{(1-k_3(1-\alpha)) \cosh(p) + \beta p \sinh(p) + k_3(1-\alpha)}$$

เอกสารนี้เป็นเอกสารที่สงวนไว้สำหรับการใช้งานเพื่อการศึกษาเท่านั้น ไม่อนุญาตให้นำไปใช้ประโยชน์ด้านการค้า ไม่ว่าจะกรณีใดๆ ทั้งสิ้น อีกทั้งห้ามมิให้ตัดแปลงเนื้อหา และต้องอ้างอิงถึงเจ้าของเอกสารทุกครั้งที่มีการนำไปใช้



รูป 4.15 กราฟแสดงค่า Sensitivity (Co) ของวงจร Tunable Notch filter

#### -การคำนวณหา Sensitivity ของ C2

$$T_{(p)} = \frac{k_3(C_1 + C_2 \cosh(p) + C_o p \sinh(p))}{(C_1(1-k_3) + C_2) \cosh(p) + C_o p \sinh(p) + k_3 C_1}$$

$$S_{C_2}^{T_{(p)}} = C_2 \left( \frac{N'(S)}{N(S)} - \frac{D'(S)}{D(S)} \right)$$

$$N(S) = k_3(C_1 + C_2 \cosh(p) + C_o p \sinh(p))$$

$$N'(S) = k_3 \frac{d}{dC_2} (C_1 + C_2 \cosh(p) + C_o p \sinh(p))$$

$$= k_3 \left[ C_2 \frac{d}{dC_2} \cosh(p) + \cosh(p) \frac{dC_2}{dC_2} + C_o \left( p \frac{d}{dC_2} \sinh(p) + \sinh(p) \frac{dp}{dC_2} \right) \right]$$

$$= k_3 \left[ \frac{SR_3 \sinh(p)}{2p} (C_2 + C_o) + \frac{SR_3 C_o \cosh(p)}{2} + \cosh(p) \right]$$

$$D(S) = (C_1(1-k_3) + C_2) \cosh(p) + C_o p \sinh(p) + C_1 k_3$$

$$D'(S) = \frac{d}{dC_2} (C_1(1-k_3) + C_2) \cosh(p) + C_o p \sinh(p) + C_1 k_3$$

$$= C_1(1-k_3) \frac{SR_3 \sinh(p)}{2p} + \frac{C_2 SR_3 \sinh(p)}{2p} + \cosh(p)$$

$$+ C_o \left( SR_3 \frac{\sinh(p)}{2p} + SR_3 \frac{\cosh(p)}{2} \right)$$

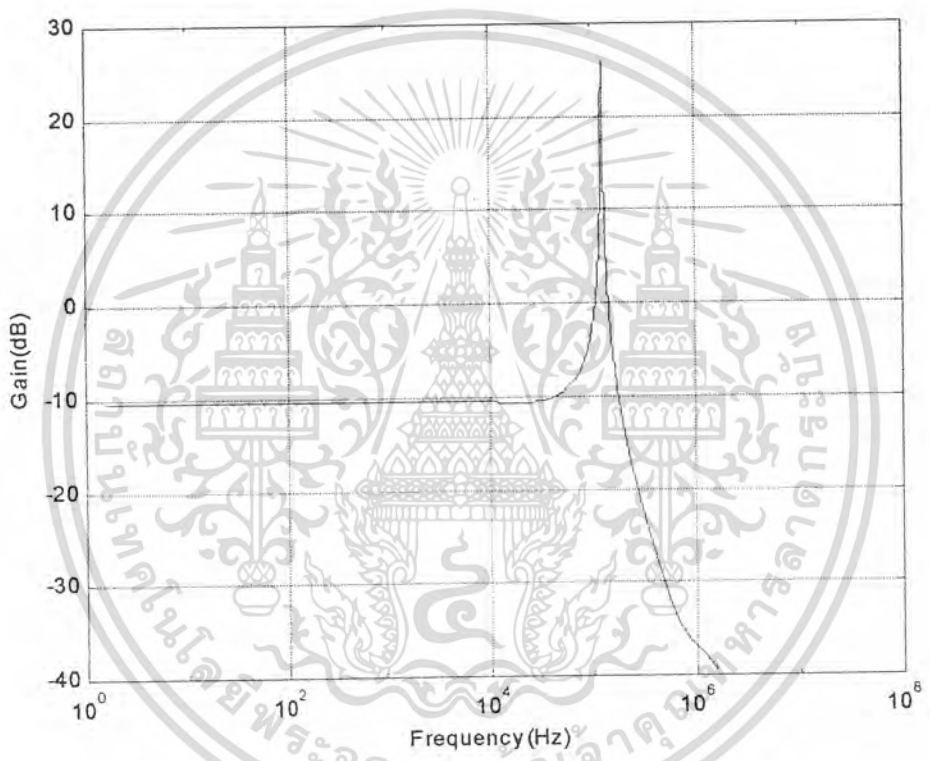
$$= SR_3 \left[ \frac{\sinh(p)}{2p} (C_1(1-k_3) + C_2 + C_o) + C_o \frac{\cosh(p)}{2} \right] + \cosh(p)$$

เอกสารนี้เป็นเอกสารที่สงวนไว้สำหรับการใช้งานเพื่อการศึกษาเท่านั้น ไม่อนุญาตให้นำไปใช้ประโยชน์ด้านการค้า ไม่ว่าจะกรณีใดๆ ทั้งสิ้น อีกทั้งห้ามมิให้ตัดแปลงเนื้อหา และต้องอ้างอิงถึงเจ้าของเอกสารทุกครั้งที่มีการนำไปใช้

$$C_2 \frac{N'(S)}{N(S)} = \frac{p(C_2 + C_o) \frac{\sinh(p)}{2} + (C_1 + C_2) \cosh(p) + C_o p^2 \frac{\cosh(p)}{2}}{C_1(C_1 + C_2) + (C_1 + C_2) \cosh(p) + \frac{C_o}{C_2} (C_1 + C_2) p \sinh(p)}$$

$$C_2 \frac{D'(S)}{D(S)} = \frac{p \frac{\sinh(p)}{2} (C_1(1-k_3) + C_2 + C_o) + (C_1 + C_2) \cosh(p) + C_o \frac{p^2 \cosh(p)}{2}}{(C_1 + C_2)(C_1(1-k_3) + C_2) \cosh(p) + C_o(C_1 + C_o) p \sinh(p) + K_3(C_1 + C_2)(C_1 + C_2 + C_o)}$$

$$S_{C_2}^{T_{(s)}} = \frac{1}{2} \left[ \frac{(\alpha + \beta) p \sinh(p) + 2 \cosh(p) + \beta p^2 \cosh(p)}{\frac{\Omega}{\alpha} + \cosh(p) + \frac{\beta}{\alpha} p \sinh(p)} - \frac{(\Omega(1-k_3) + \alpha + \beta) p \sinh(p) + 2 \cosh(p) + \beta p^2 \cosh(p)}{(1 + \frac{\Omega}{\alpha}(1-k_3)) \cosh(p) + \frac{\beta}{\alpha} p \sinh(p) + \frac{K_3 \beta}{\alpha}} \right]$$



รูป 4.16 กราฟแสดงค่า Sensitivity (C2) ของวงจร Tunable Notch filter

เอกสารนี้เป็นเอกสารที่สงวนไว้สำหรับการใช้งานเพื่อการศึกษาเท่านั้น ไม่อนุญาตให้นำไปใช้ประโยชน์ด้านการค้า ไม่ว่าจะกรณีใดๆ ทั้งสิ้น อีกทั้งห้ามมิให้ตัดแปลงเนื้อหา และต้องอ้างอิงถึงเจ้าของเอกสารทุกครั้งที่มีการนำไปใช้

### -การคำนวณหา Sensitivity ของ C1

$$T_{(p)} = \frac{k_3(C_1 + C_2 \cosh(p) + C_0 p \sinh(p))}{(C_1(1-k_3) + C_2) \cosh(p) + C_0 p \sinh(p) + k_3 C_1}$$

$$S_{C_1}^{T_{(p)}} = C_1 \left( \frac{N'(S)}{N(S)} - \frac{D'(S)}{D(S)} \right)$$

$$N(S) = k_3(C_1 + C_2 \cosh(p) + C_0 p \sinh(p))$$

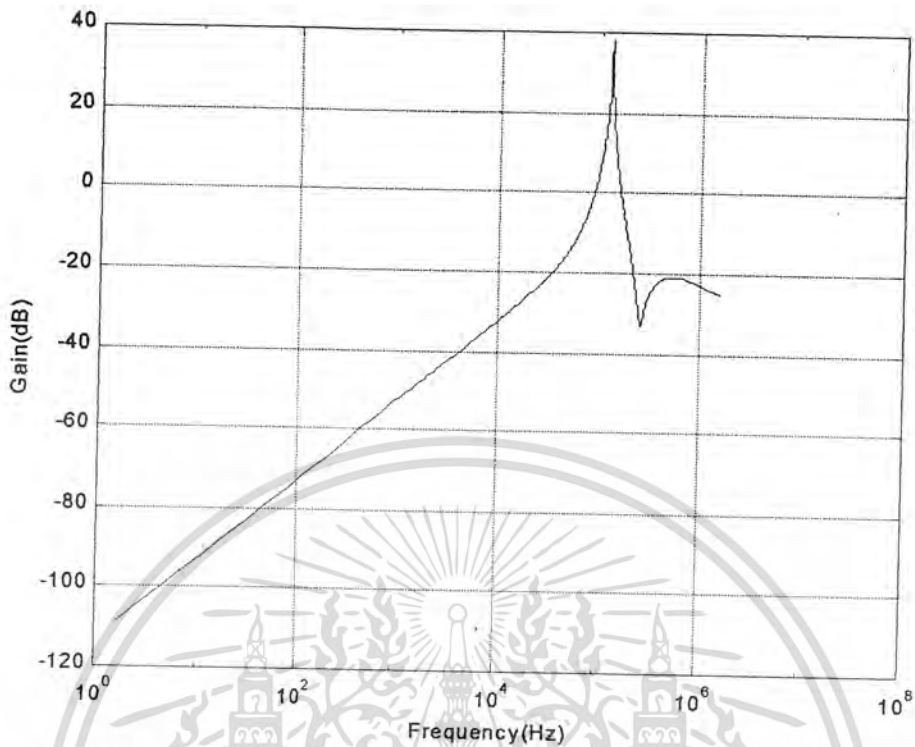
$$\begin{aligned} N'(S) &= k_3 \frac{d}{dC_1} (C_1 + C_2 \cosh(p) + C_0 p \sinh(p)) \\ &= k_3 \left[ \frac{SR_3 \sinh(p)}{2p} (C_2 + C_0) + \frac{SR_3 C_0 \cosh(p)}{2} \right] + k_3 \end{aligned}$$

$$D(S) = (C_1(1-k_3) + C_2) \cosh(p) + C_0 p \sinh(p) + C_1 k_3$$

$$D'(S) = \frac{d}{dC_1} (C_1(1-k_3) + C_2) \cosh(p) + C_0 p \sinh(p) + C_1 k_3$$

$$\begin{aligned} &= (1-k_3) \left[ \frac{C_1 SR_3 \sinh(p)}{2p} + \cosh(p) \right] + \frac{SR_3 C_2 \sinh(p)}{2p} \\ &\quad + C_0 \left( SR_3 \frac{\sinh(p)}{2p} + SR_3 \frac{\cosh(p)}{2} \right) + k_3 \\ &= SR_3 \left[ \frac{\sinh(p)}{2p} (C_1(1-k_3) + C_2 + C_0) + C_0 \frac{\cosh(p)}{2} \right] + (1-k_3) \cosh(p) + k_3 \\ &= \frac{(C_2 + C_0) \frac{p \sinh(p)}{2} + C_1 + C_2 + C_0 p \frac{\cosh(p)}{2}}{C_1 + C_2 + \frac{C_2}{\Omega} \cosh(p) + \frac{C_0}{\Omega} p \sinh(p)} \\ &= \frac{\frac{p \sinh(p)}{2} (C_1(1-k_3) + C_2 + C_0) + (C_1 + C_2) [(1-k_3) \cosh(p) + k_3] + C_0 \frac{p^2 \cosh(p)}{2}}{\left( \frac{C_2}{\Omega} + \frac{C_1}{\Omega} (1-k_3) \right) \cosh(p) + \frac{C_0}{\Omega} p \sinh(p) + k_3 \frac{C_1}{\Omega}} \\ S_{C_1}^{T_{(p)}} &= \frac{1}{2} \left[ \frac{(\alpha + \beta) p \sinh(p) + 2 + \beta p^2 \cosh(p)}{1 + \frac{\alpha}{\Omega} \cosh(p) + \frac{\beta}{\Omega} p \sinh(p)} - \frac{(\Omega(1-k_3) + \alpha + \beta) p \sinh(p) + 2(1-k_3) \cosh(p) + \beta p^2 \cosh(p) + 2k_3}{\left( \frac{\alpha}{\Omega} + (1-k_3) \right) \cosh(p) + \frac{\beta}{\Omega} p \sinh(p) + k_3} \right] \end{aligned}$$

เอกสารนี้เป็นเอกสารที่สงวนไว้สำหรับการใช้งานเพื่อการศึกษาเท่านั้น ไม่อนุญาตให้นำไปใช้ประโยชน์ด้านการค้า ไม่ว่าจะกรณีใดๆ ทั้งสิ้น อีกทั้งห้ามมิให้ตัดแปลงเนื้อหา และต้องอ้างอิงถึงเจ้าของเอกสารทุกครั้งที่มีการนำไปใช้



รูป 4.17 กราฟแสดงค่า Sensitivity (C1) ของวงจร Tunable Notch filter

### -การคำนวณหา Sensitivity ของ R3

$$T_{(p)} = \frac{k_3(1-\alpha + \alpha \cosh(p) + \beta p \sinh(p))}{(1-k_3(1-\alpha))\cosh(p) + \beta p \sinh(p) + k_3(1-\alpha)}$$

$$S_{R_3}^{T_{(p)}} = R_3 \left( \frac{N'(S)}{N(S)} - \frac{D'(S)}{D(S)} \right)$$

$$N(S) = k_3(1-\alpha + \alpha \cosh(p) + \beta p \sinh(p))$$

$$N'(S) = k_3 \left[ \frac{\alpha \sinh(p)}{2p} (S(C_1 + C_2)) + \beta \left( \frac{p \cosh(p)}{2p} (S(C_1 + C_2)) + \frac{\sinh(p)}{2p} (S(C_1 + C_2)) \right) \right]$$

$$= k_3 S(C_1 + C_2) \left[ \frac{\sinh(p)}{2p} (\alpha + \beta) + \beta \frac{\cosh(p)}{p} \right]$$

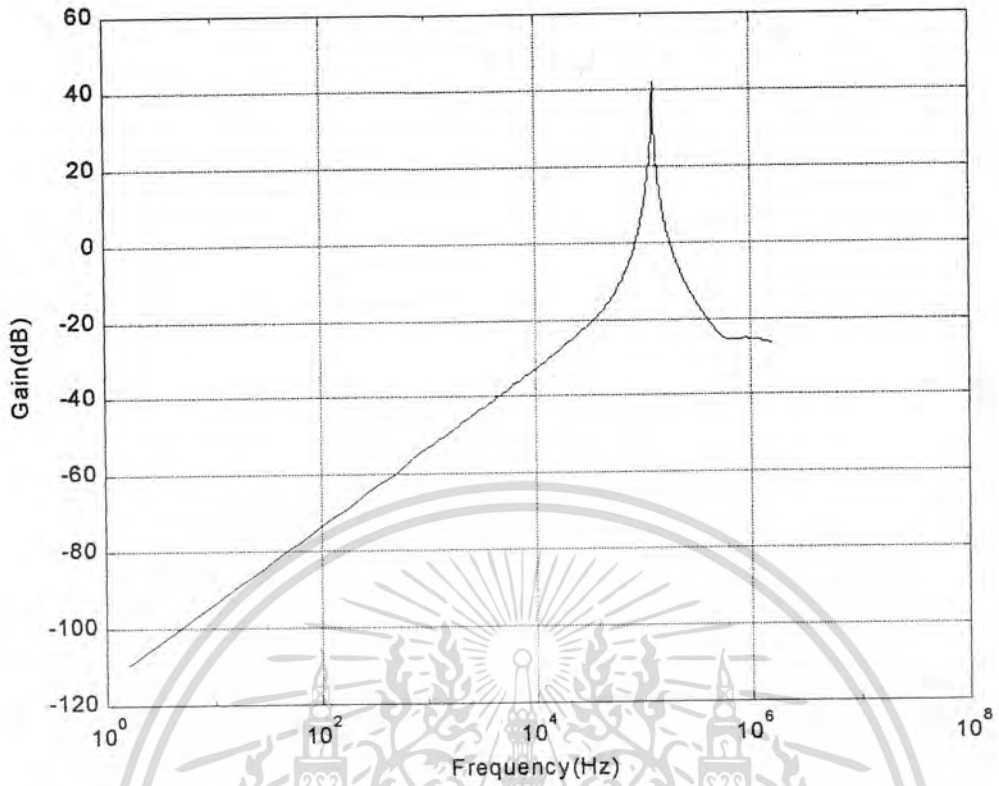
$$D(S) = (1-k_3(1-\alpha))\cosh(p) + \beta p \sinh(p) + k_3(1-\alpha)$$

$$D'(S) = (1-k_3(1-\alpha)) \frac{\sinh(p)}{2p} (S(C_1 + C_2)) + \beta (S(C_1 + C_2)) \left( \frac{p \cosh(p)}{2p} + \frac{\sinh(p)}{2p} \right)$$

$$S_{R_3}^{T_{(p)}} = \frac{\frac{p \sinh(p)}{2} (\alpha + \beta) + \frac{p^2 \beta \cosh(p)}{2}}{1-\alpha + \alpha \cosh(p) + \beta p \sinh(p)} - \frac{\frac{p \sinh(p)}{2} (1 + \beta + k_3(1-\alpha)) + \frac{p^2 \beta \cosh(p)}{2}}{(1-k_3(1-\alpha))\cosh(p) + \beta p \sinh(p) + k_3(1-\alpha)}$$

$$= \frac{1}{2} \frac{p \sinh(p) (\alpha + \beta) + p^2 \beta \cosh(p)}{1-\alpha + \alpha \cosh(p) + \beta p \sinh(p)} - \frac{p \sinh(p) (1 + \beta + k_3(1-\alpha)) + p^2 \beta \cosh(p)}{(1-k_3(1-\alpha))\cosh(p) + \beta p \sinh(p) + k_3(1-\alpha)}$$

เอกสารนี้เป็นเอกสารที่สงวนไว้สำหรับการใช้งานเพื่อการศึกษาเท่านั้น ไม่อนุญาตให้นำไปใช้ประโยชน์ด้านการค้า ไม่ว่าจะกรณีใดๆ ทั้งสิ้น อีกทั้งห้ามมิให้ตัดแปลงเนื้อหา และต้องอ้างอิงถึงเจ้าของเอกสารทุกครั้งที่มีการนำไปใช้



รูป 4.18 กราฟแสดงค่า Sensitivity (R3) ของวงจร Tunable Notch filter

เอกสารนี้เป็นเอกสารที่สงวนไว้สำหรับการใช้งานเพื่อการศึกษาเท่านั้น ไม่อนุญาตให้นำไปใช้ประโยชน์ด้านการค้า ไม่ว่าจะกรณีใดๆ ทั้งสิ้น อีกทั้งห้ามมิให้ตัดแปลงเนื้อหา และต้องอ้างอิงถึงเจ้าของเอกสารทุกครั้งที่มีการนำไปใช้

## บทที่ 5

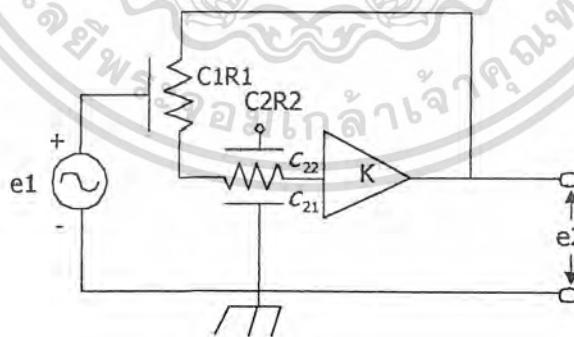
### ผลการทดลองทางด้าน Matlab , P-Spice และเครื่อง Audio Analyzer

#### 5.1 กล่าวนำ

ในการทดลองจะแบ่งออกเป็น 3 ส่วนคือ ส่วนที่ 1. การทดลองโดยใช้โปรแกรม Matlab ซึ่งเป็นการ simulator ทางสมการหรือจะเรียกได้ว่าเป็นการทดลองทางทฤษฎี ต่อมาในส่วนที่ 2. จะเป็นการ simulator วงจรที่จะสร้างจริงด้วยโปรแกรม P-Spice และส่วนที่ 3. จะเป็นการทดลองจริงแล้วใช้เครื่อง Audio Analyzer วัดผลตอบสนองทางความถี่ ซึ่งจากการทดลองทั้ง 3 ส่วนนี้จะเป็นการยืนยันถึงผลทางทฤษฎี และทางปฏิบัติว่าใกล้เคียงกัน

#### 5.2 การใช้ Matlab ในการวิเคราะห์วงจร

##### 5.2.1 BPF with one notch characteristics



รูป 5.1 วงจร BPF with one notch characteristics

เอกสารนี้เป็นเอกสารที่สงวนไว้สำหรับการใช้งานเพื่อการศึกษาเท่านั้น ไม่อนุญาตให้นำไปใช้ประโยชน์ด้านการค้า ไม่ว่าจะกรณีใดๆ ทั้งสิ้น อีกทั้งห้ามมิให้ตัดแปลงเนื้อหา และต้องอ้างอิงถึงเจ้าของเอกสารทุกครั้งที่มีการนำไปใช้

กำหนดให้

$$\alpha = 0.179$$

$$C1 = C2 = C = 100 \text{ pF}$$

$$R1 = R2 = R = 100 \text{ K}\Omega$$

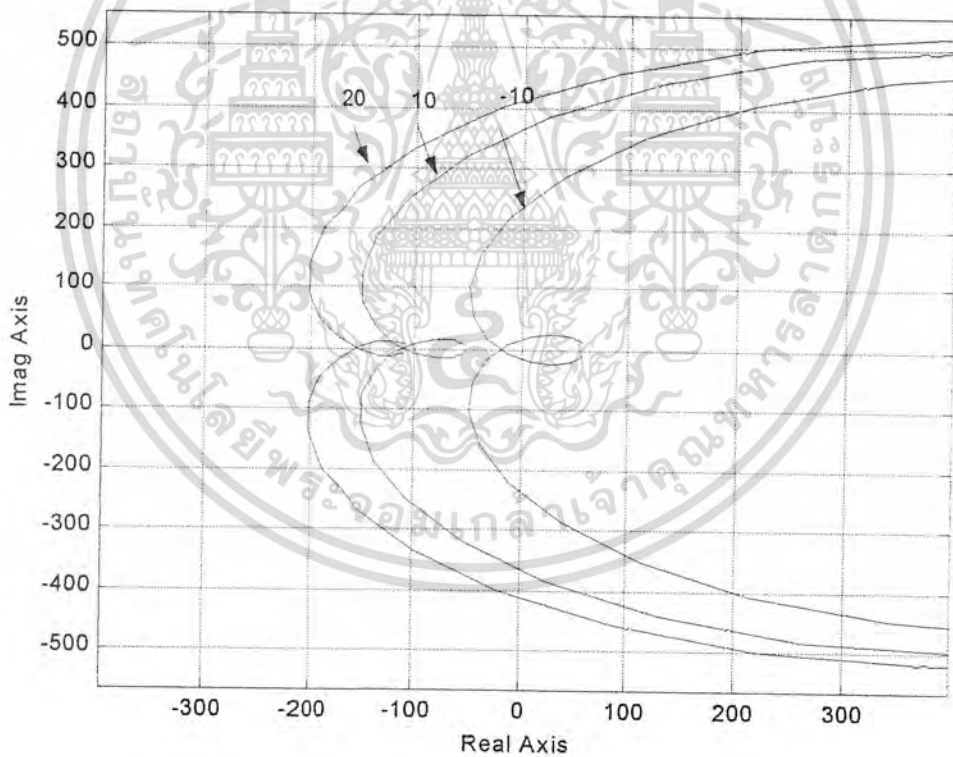
$$C12 = 82 \text{ pF}$$

$$C22 = 18 \text{ pF}$$

$$K = -10$$

$$\frac{V_o}{V_i} = \frac{(\cosh P - 1) \left( \frac{1 - \alpha}{\alpha} + \frac{\sinh P}{P} \right) K_1}{\cosh 2P \frac{1 - \alpha}{\alpha} + \frac{\sinh 2P}{2P} - K_1 \left( \frac{1 - \alpha}{\alpha} + \frac{\sinh P}{P} \right)}$$

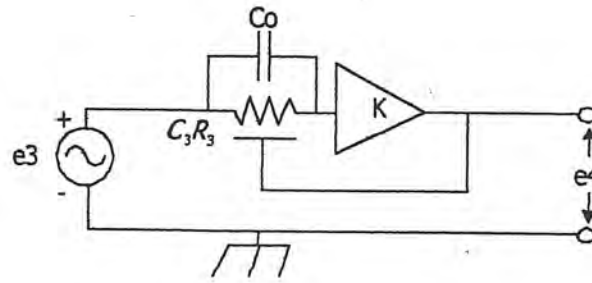
ซึ่งสามารถนำไปประมวลผลด้วยโปรแกรม Matlab เพื่อหาเสถียรภาพของวงจรได้ดังรูป



รูป 5.2 กราฟแสดงความเสถียรภาพของวงจร BPF with one notch characteristics

เอกสารนี้เป็นเอกสารที่สงวนไว้สำหรับการใช้งานเพื่อการศึกษาเท่านั้น ไม่อนุญาตให้นำไปใช้ประโยชน์ด้านการค้า ไม่ว่าจะกรณีใดๆ ทั้งสิ้น อีกทั้งห้ามมิให้ตัดแปลงเนื้อหา และต้องอ้างอิงถึงเจ้าของเอกสารทุกครั้งที่มีการนำไปใช้

### 5.2.2 Active notch characteristics circuit



รูป 5.3 วงจร Active notch characteristics

กำหนดให้

$$C_3 = 1000 \text{ pF}$$

$$R_3 = 1 \text{ M}\Omega$$

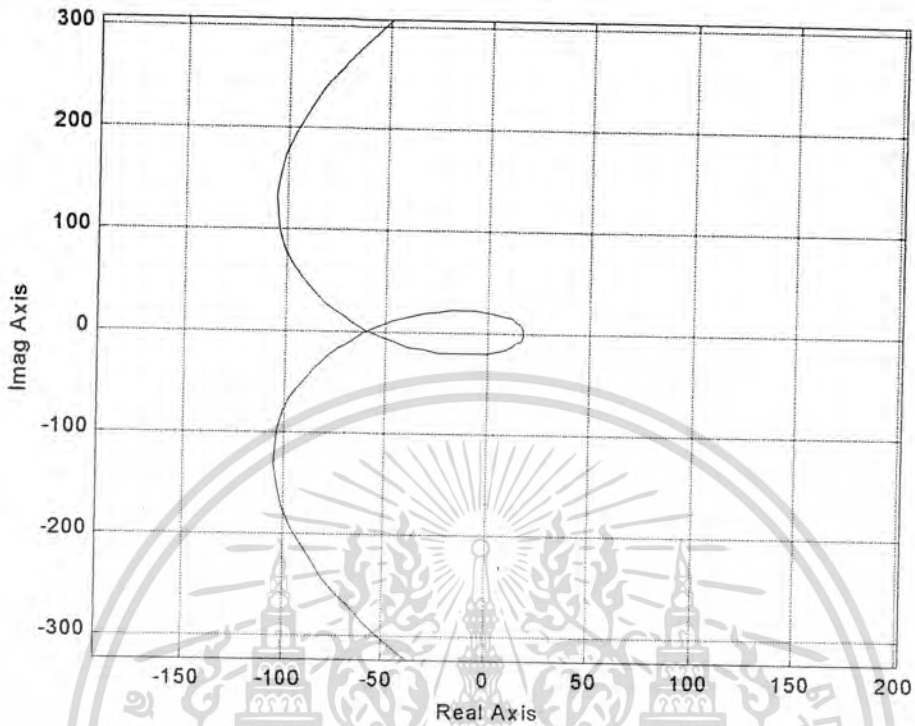
$$C_o = 56.22 \text{ pF}$$

$$K_2 = 0.7$$

$$\frac{V_o}{V_i} = \frac{\left(\frac{C}{C_o} + P \sinh P\right) K_2}{\frac{C}{C_o} \cosh P + P \sinh P + K_2 \frac{C}{C_o} (1 - \cosh P)}$$

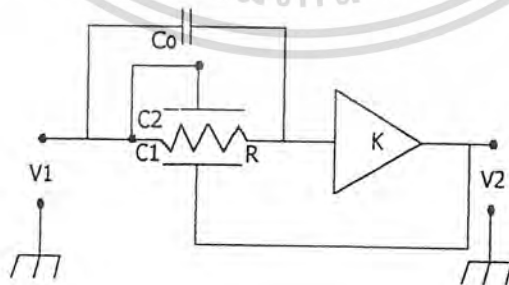
เอกสารนี้เป็นเอกสารที่สงวนไว้สำหรับการใช้งานเพื่อการศึกษาเท่านั้น ไม่อนุญาตให้นำไปใช้ประโยชน์ด้านการค้า ไม่ว่าจะกรณีใดๆ ทั้งสิ้น อีกทั้งห้ามมิให้ตัดแปลงเนื้อหา และต้องอ้างอิงถึงเจ้าของเอกสารทุกครั้งที่มีการนำไปใช้

ซึ่งสามารถนำไปประมวลผลด้วยโปรแกรม Matlab เพื่อหาเสถียรภาพของวงจรได้ดังรูป



รูป 5.4 กราฟแสดงความเสถียรภาพของวงจร Active notch characteristics

### 5.2.3 Tunable notch filter



รูป 5.5 วงจร Tunable notch filter

เอกสารนี้เป็นเอกสารที่สงวนไว้สำหรับการใช้งานเพื่อการศึกษาเท่านั้น ไม่อนุญาตให้นำไปใช้ประโยชน์ด้านการค้า ไม่ว่าจะกรณีใดๆ ทั้งสิ้น อีกทั้งห้ามมิให้ตัดแปลงเนื้อหา และต้องอ้างอิงถึงเจ้าของเอกสารทุกครั้งที่มีการนำไปใช้

กำหนดให้

$$\alpha = 0.04$$

$$\beta = 0.032$$

$$\Omega = 0.92$$

$$C = 1000 \text{ pF}$$

$$R = 100 \text{ K}\Omega$$

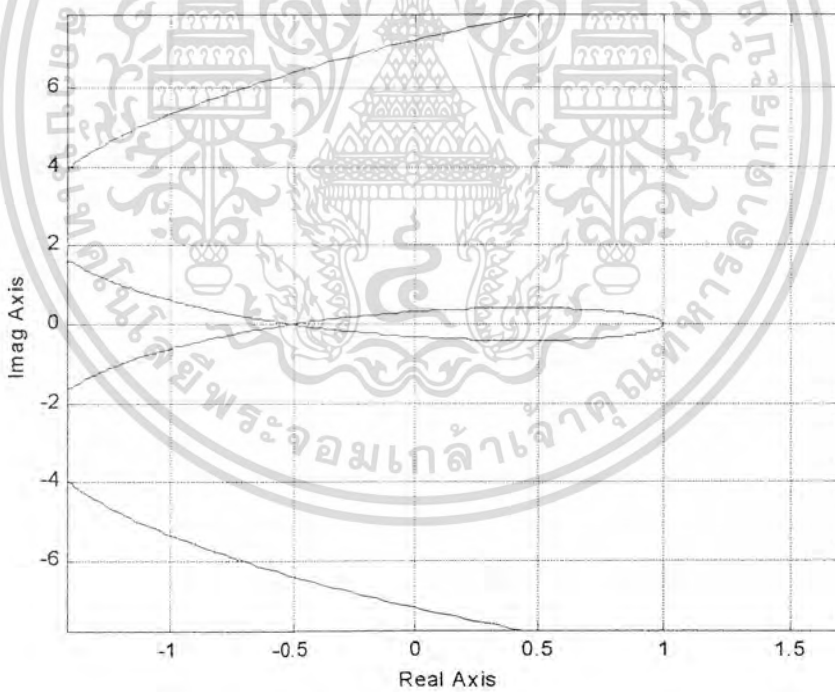
$$C1 = 920 \text{ pF}$$

$$C2 = 80 \text{ pF}$$

$$K = 0.95$$

$$\frac{V_o}{V_i} = \frac{k_3(1 - \alpha + \alpha \cosh p + \beta p \sinh p)}{(1 - k_3(1 - \alpha)) \cosh p + \beta p \sinh p + k_3(1 - \alpha)}$$

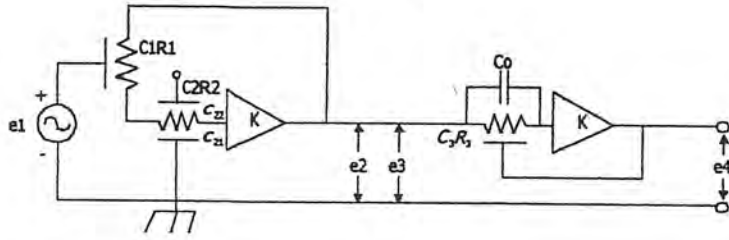
ซึ่งสามารถนำไปประมวลผลด้วยโปรแกรม Matlab เพื่อหาเสถียรภาพของวงจรได้ดังรูป



รูป 5.6 กราฟแสดงความเสถียรภาพของวงจร Tunable notch filter

เอกสารนี้เป็นเอกสารที่สงวนไว้สำหรับการใช้งานเพื่อการศึกษาเท่านั้น ไม่อนุญาตให้นำไปใช้ประโยชน์ด้านการค้า ไม่ว่าจะกรณีใดๆ ทั้งสิ้น อีกทั้งห้ามมิให้ตัดแปลงเนื้อหา และต้องอ้างอิงถึงเจ้าของเอกสารทุกครั้งที่มีการนำไปใช้

### 5.2.4 BPF with double notch characteristics



รูป 5.7 วงจร BPF with double notch characteristics

กำหนดให้

$$\alpha = 0.179$$

$$C3 = 1000 \text{ pF}$$

$$R3 = 1 \text{ M}\Omega$$

$$C0 = 56.22 \text{ pF}$$

$$K2 = 0.7$$

$$C1 = C2 = C = 100 \text{ pF}$$

$$R1 = R2 = R = 100 \text{ K}\Omega$$

$$C12 = 82 \text{ pF}$$

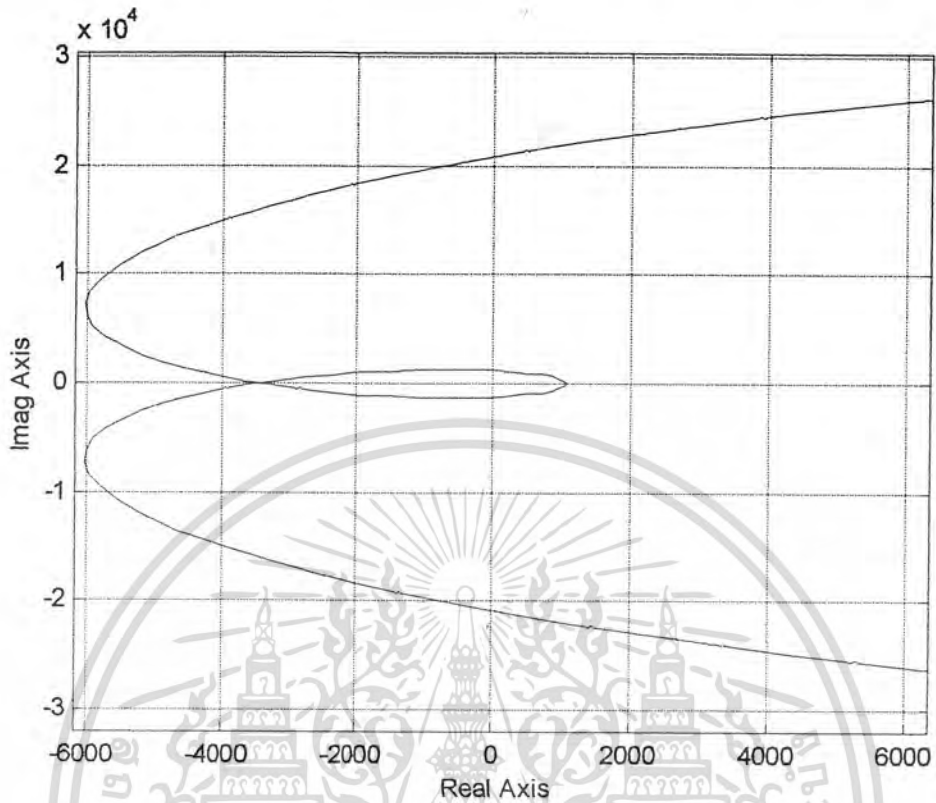
$$C22 = 18 \text{ pF}$$

$$K = -10$$

$$\frac{V_o}{V_i} = \left[ \frac{(\cosh P - 1) \left( \frac{1-\alpha}{\alpha} + \frac{\sinh P}{P} \right) K_1}{\cosh 2P \frac{1-\alpha}{\alpha} + \frac{\sinh 2P}{2P} - K_1 \left( \frac{1-\alpha}{\alpha} + \frac{\sinh P}{P} \right)} \right] \left[ \frac{\left( \frac{C}{C_0} + P \sinh P \right) K_2}{\cosh P + P \sinh P + K_2 \frac{C}{C_0} (1 - \cosh P)} \right]$$

เอกสารนี้เป็นเอกสารที่สงวนไว้สำหรับการใช้งานเพื่อการศึกษาเท่านั้น ไม่อนุญาตให้นำไปใช้ประโยชน์ด้านการค้า ไม่ว่าจะกรณีใดๆ ทั้งสิ้น อีกทั้งห้ามมิให้ตัดแปลงเนื้อหา และต้องอ้างอิงถึงเจ้าของเอกสารทุกครั้งที่มีการนำไปใช้

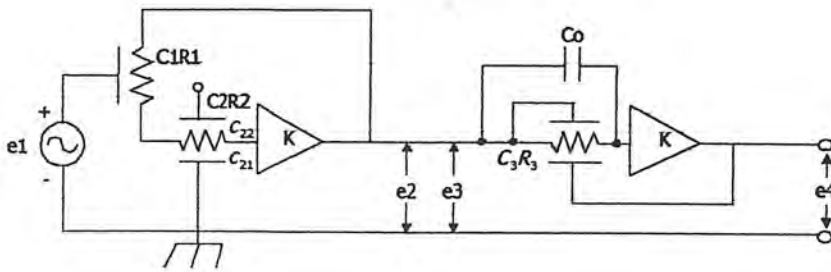
ซึ่งสามารถนำไปประมวลผลด้วยโปรแกรม Matlab เพื่อหาเสถียรภาพของวงจรได้ดังรูป



รูป 5.8 กราฟแสดงความเสถียรภาพของวงจร BPF with double notch characteristics

เอกสารนี้เป็นเอกสารที่สงวนไว้สำหรับการใช้งานเพื่อการศึกษาเท่านั้น ไม่อนุญาตให้นำไปใช้ประโยชน์ด้านการค้า ไม่ว่าจะกรณีใดๆ ทั้งสิ้น อีกทั้งห้ามมิให้ตัดแปลงเนื้อหา และต้องอ้างอิงถึงเจ้าของเอกสารทุกครั้งที่มีการนำไปใช้

### 5.2.5 BPF with Tunable notch filter



รูป 5.9 วงจร BPF with Tunable notch filter

กำหนดให้

$$\alpha = 0.04$$

$$\beta = 0.032$$

$$\Omega = 0.92$$

$$C = 1000 \text{ pF}$$

$$R = 100 \text{ K}\Omega$$

$$C1 = 920 \text{ pF}$$

$$C1 = C2 = C = 100 \text{ pF}$$

$$R1 = R2 = R = 100 \text{ K}\Omega$$

$$C12 = 82 \text{ pF}$$

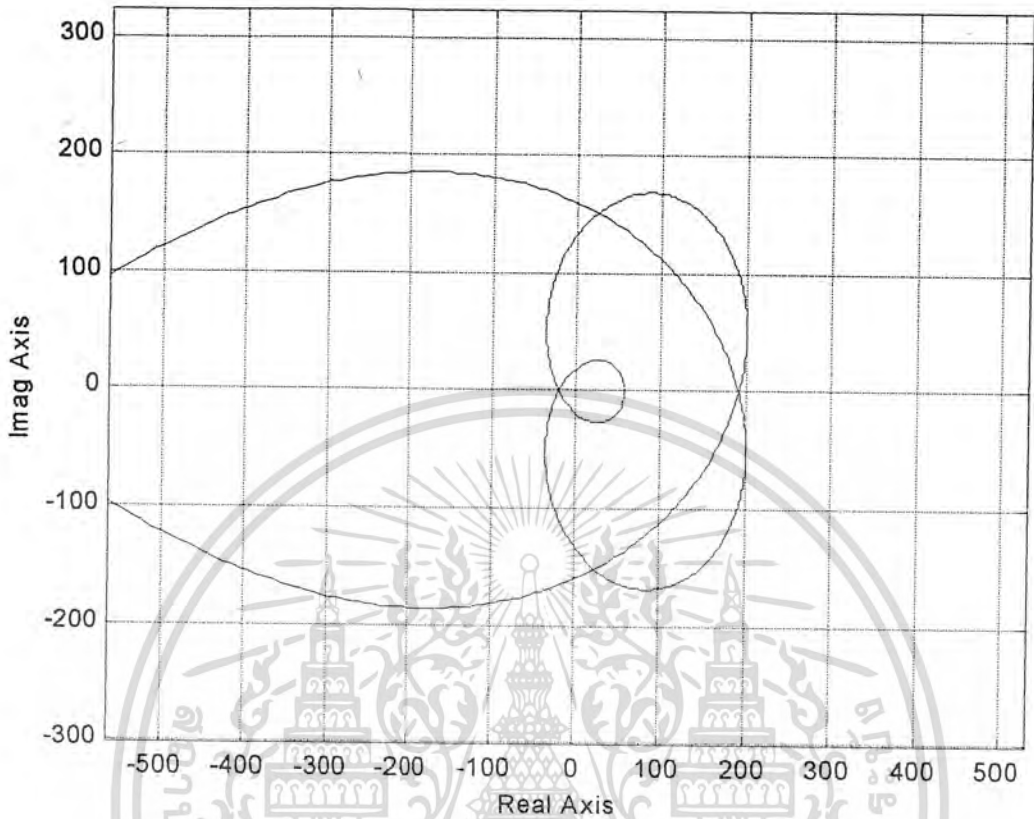
$$C22 = 18 \text{ pF}$$

$$K = -10$$

$$\frac{V_o}{V_i} = \left[ \frac{(\cosh p - 1) \left( \frac{1-\alpha}{\alpha} + \frac{\sinh p}{p} \right) K_1}{\cosh 2p \frac{1-\alpha}{\alpha} + \frac{\sinh 2p}{2p} - K_1 \left( \frac{1-\alpha}{\alpha} + \frac{\sinh p}{p} \right)} \right] \left[ \frac{k_3 (1-\alpha + \alpha \cosh p + \beta p \sinh p)}{(1-k_3(1-\alpha)) \cosh p + \beta p \sinh p + k_3(1-\alpha)} \right]$$

เอกสารนี้เป็นเอกสารที่สงวนไว้สำหรับการใช้งานเพื่อการศึกษาเท่านั้น ไม่อนุญาตให้นำไปใช้ประโยชน์ด้านการค้า ไม่ว่าจะกรณีใดๆ ทั้งสิ้น อีกทั้งห้ามมิให้ตัดแปลงเนื้อหา และต้องอ้างอิงถึงเจ้าของเอกสารทุกครั้งที่มีการนำไปใช้

ซึ่งสามารถนำไปประมวลผลด้วยโปรแกรม Matlab เพื่อหาเสถียรภาพของวงจรได้ดังรูป



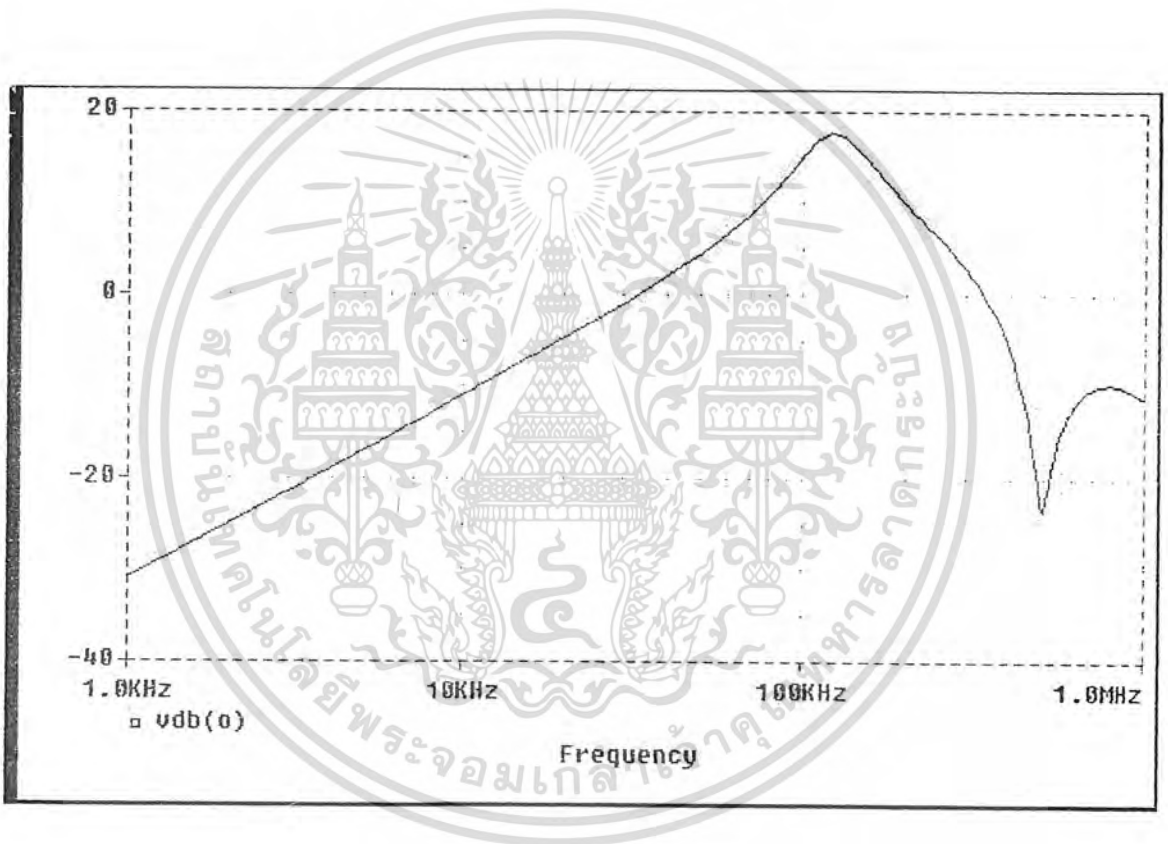
รูป 5.10 กราฟแสดงความเสถียรภาพของวงจร BPF with Tunable notch filter

เอกสารนี้เป็นเอกสารที่สงวนไว้สำหรับการใช้งานเพื่อการศึกษาเท่านั้น ไม่อนุญาตให้นำไปใช้ประโยชน์ด้านการค้า ไม่ว่าจะกรณีใดๆ ทั้งสิ้น อีกทั้งห้ามมิให้ตัดแปลงเนื้อหา และต้องอ้างอิงถึงเจ้าของเอกสารทุกครั้งที่มีการนำไปใช้

### 5.3 การใช้ P-Spice ในการวิเคราะห์วงจร

ในการใช้โปรแกรม P-Spice ในการsimulate นั้นจะได้รูปกราฟที่แตกต่างจากการใช้โปรแกรม Matlap เพราะวงจรที่ใช้งานจริงนั้นจะมีค่าสูญเสียต่างๆและอีกทั้งค่าอุปกรณ์ที่นำมาใช้นั้นหาซื้อได้ยาก ดังนั้นเราจึงประมาณค่าให้ใกล้เคียงที่สุดและได้ทำการเปรียบเทียบรูปกราฟระหว่างค่าอุปกรณ์ที่เราคำนวณ ได้กับค่าอุปกรณ์ที่ใช้งานจริง

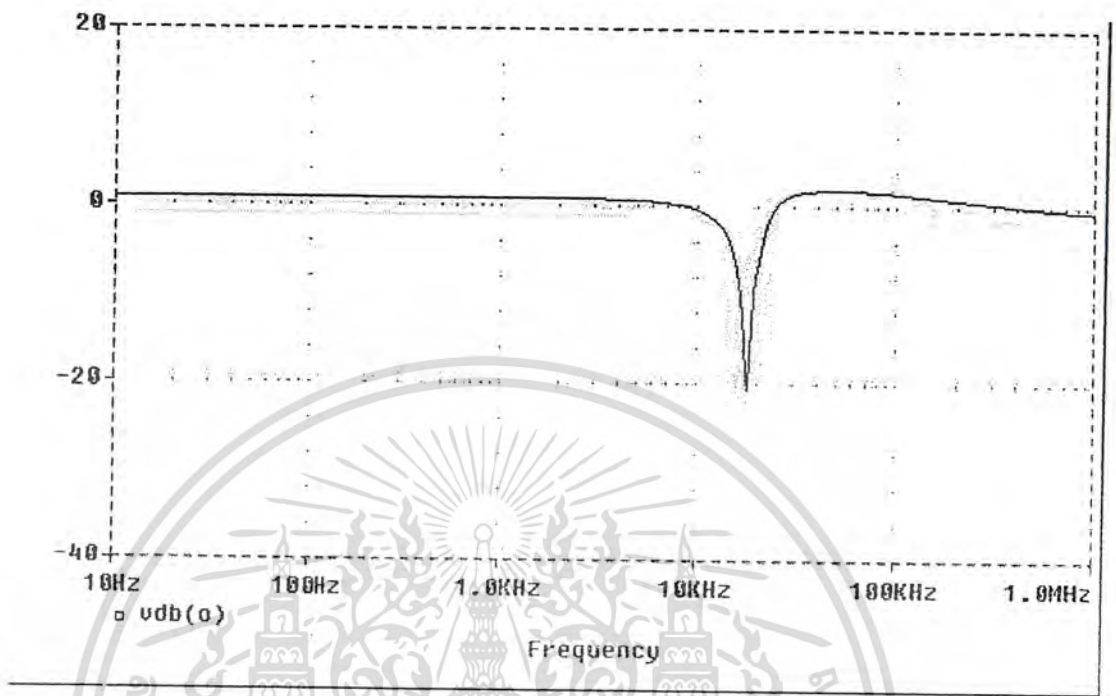
#### 5.3.1 BPF with one notch characteristics



รูป 5.11กราฟแสดงความถี่ResponseของวงจรBPF with Tunable notch filter

เอกสารนี้เป็นเอกสารที่สงวนไว้สำหรับการใช้งานเพื่อการศึกษาเท่านั้น ไม่อนุญาตให้นำไปใช้ประโยชน์ด้านการค้า ไม่ว่าจะกรณีใดๆ ทั้งสิ้น อีกทั้งห้ามมิให้ตัดแปลงเนื้อหา และต้องอ้างอิงถึงเจ้าของเอกสารทุกครั้งที่มีการนำไปใช้

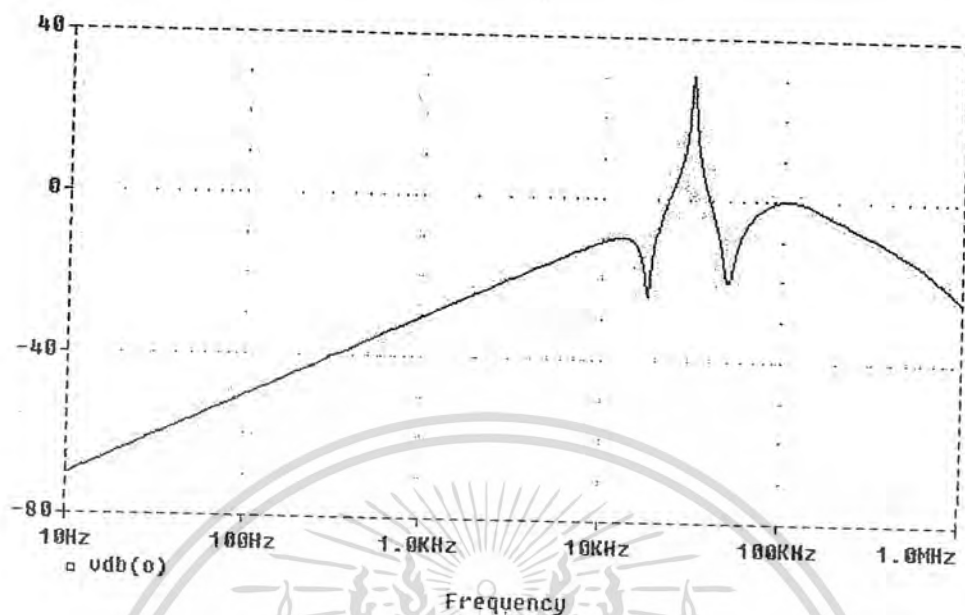
### 5.3.2 Tunable notch filter



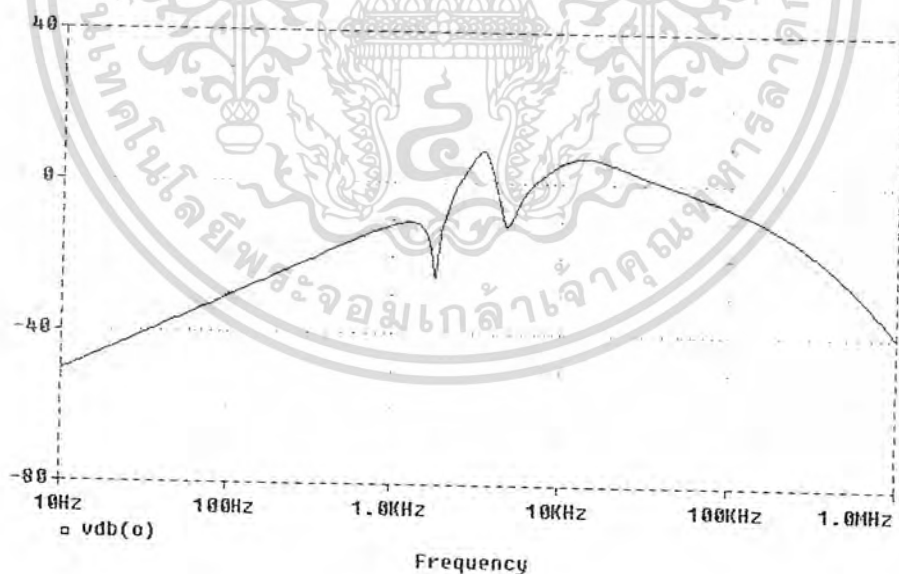
รูป 5.12 กราฟแสดงความถี่ Response ของวงจร Tunable notch filter

เอกสารนี้เป็นเอกสารที่สงวนไว้สำหรับการใช้งานเพื่อการศึกษาเท่านั้น ไม่อนุญาตให้นำไปใช้ประโยชน์ด้านการค้า ไม่ว่าจะกรณีใดๆ ทั้งสิ้น อีกทั้งห้ามมิให้ตัดแปลงเนื้อหา และต้องอ้างอิงถึงเจ้าของเอกสารทุกครั้งที่มีการนำไปใช้

### 5.3.3 BPF with Tunable notch filter

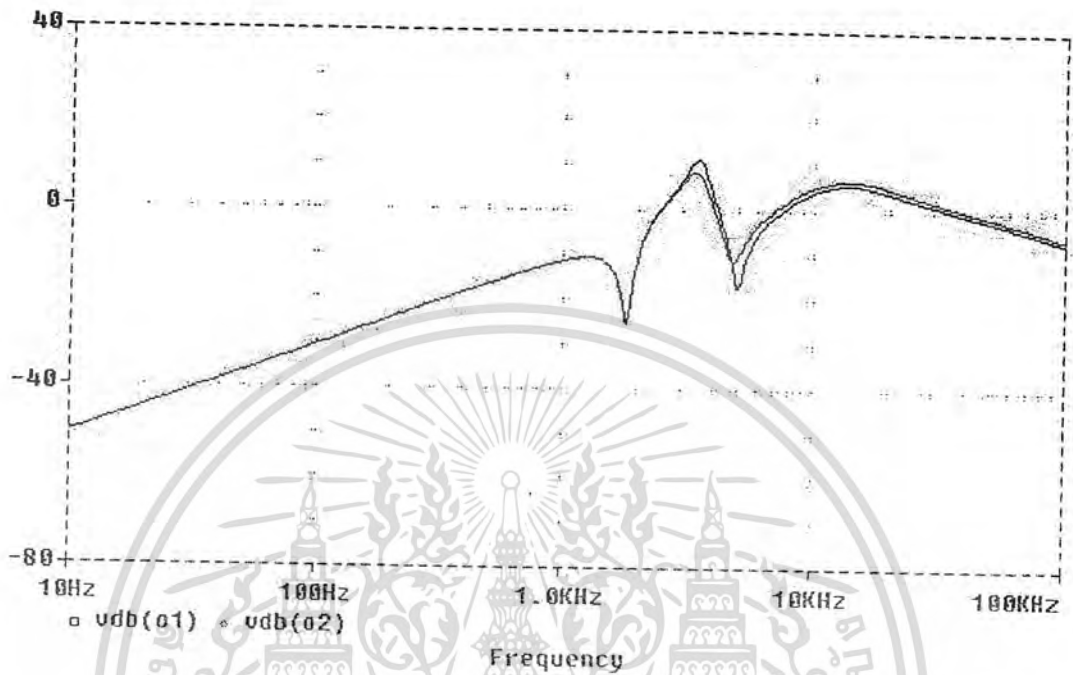


รูป 5.13 กราฟแสดงความถี่ Response ของวงจร BPF with Tunable notch filter



รูป 5.14 กราฟแสดงความถี่ Response ของวงจร BPF with Tunable notch filter  
(ของวงจรที่ใช้งานจริง)

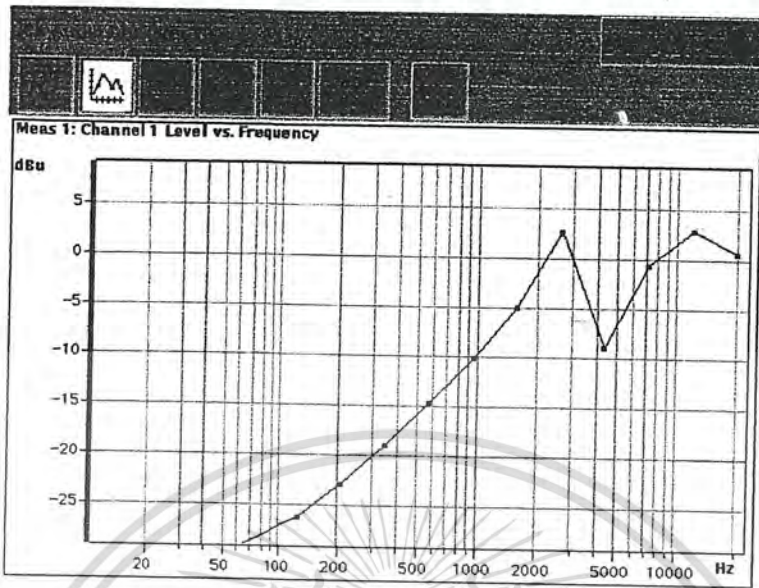
เอกสารนี้เป็นเอกสารที่สงวนไว้สำหรับการใช้งานเพื่อการศึกษาเท่านั้น ไม่อนุญาตให้นำไปใช้ประโยชน์ด้านการค้า ไม่ว่าจะกรณีใดๆ ทั้งสิ้น อีกทั้งห้ามมิให้ตัดแปลงเนื้อหา และต้องอ้างอิงถึงเจ้าของเอกสารทุกครั้งที่มีการนำไปใช้



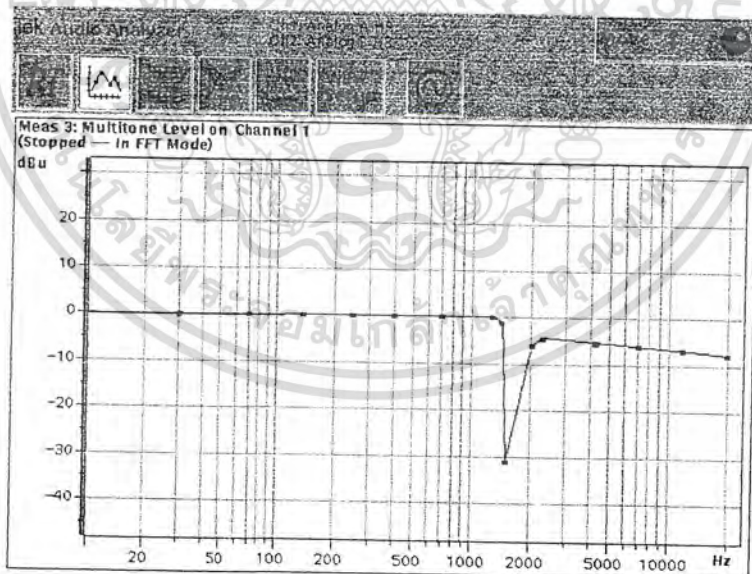
รูป 5.15 กราฟแสดงการเปรียบเทียบความถี่ Response ของวงจร BPF with Tunable notch filter

เอกสารนี้เป็นเอกสารที่สงวนไว้สำหรับการใช้งานเพื่อการศึกษาเท่านั้น ไม่อนุญาตให้นำไปใช้ประโยชน์ด้านการค้า ไม่ว่าจะกรณีใดๆ ทั้งสิ้น อีกทั้งห้ามมิให้ตัดแปลงเนื้อหา และต้องอ้างอิงถึงเจ้าของเอกสารทุกครั้งที่มีการนำไปใช้

## 5.4 ผลการทดลองโดยใช้เครื่อง Audio Analyzer

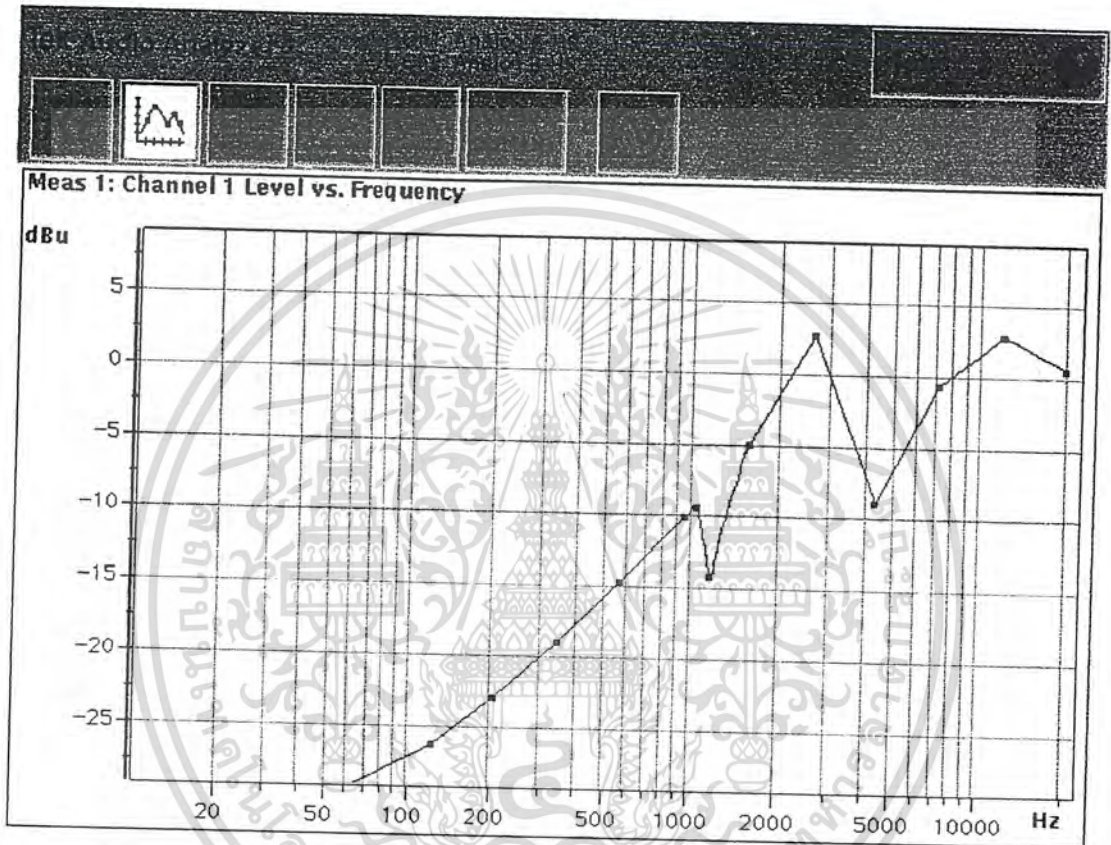


รูป 5.16 กราฟแสดงความถี่ Response ของวงจร BPF with Tunable notch filter โดยใช้เครื่อง Audio Analyzer



รูป 5.17 กราฟแสดงความถี่ Response ของวงจร Tunable notch filter โดยใช้เครื่อง Audio Analyzer

เอกสารนี้เป็นเอกสารที่สงวนไว้สำหรับการใช้งานเพื่อการศึกษาเท่านั้น ไม่อนุญาตให้นำไปใช้ประโยชน์ด้านการค้า ไม่ว่าจะกรณีใดๆ ทั้งสิ้น อีกทั้งห้ามมิให้ตัดแปลงเนื้อหา และต้องอ้างอิงถึงเจ้าของเอกสารทุกครั้งที่มีการนำไปใช้



รูป 5.18 กราฟแสดงความถี่ Response ของวงจร BPF with Tunable notch filter โดยใช้เครื่อง Audio Analyzer

เอกสารนี้เป็นเอกสารที่สงวนไว้สำหรับการใช้งานเพื่อการศึกษาเท่านั้น ไม่อนุญาตให้นำไปใช้ประโยชน์ด้านการค้า ไม่ว่าจะกรณีใดๆ ทั้งสิ้น อีกทั้งห้ามมิให้ตัดแปลงเนื้อหา และต้องอ้างอิงถึงเจ้าของเอกสารทุกครั้งที่มีการนำไปใช้

## บทที่ 6

### สรุปและวิจารณ์ผลการทดลอง

#### 6.1 สรุปผลการทดลอง

จากการทดลองเราจะเห็นได้ว่าวงจรกรองสัญญาณ โดยใช้ตัวยูนิฟอร์มดิสทริบิวท์ (Uniform Distributed RC,URC) สามารถให้การตอบสนองทางความถี่ได้ดีเช่นเดียวกับวงจรที่ใช้อุปกรณ์ประเภทลัมป์ (Lump) วงจร BPF with one notch characteristics ที่เรานำมาทดลองนั้นรูปกราฟความถี่ responses จะมีรูปที่ชันน้อยเกินไป ดังนั้นเราจึงนำวงจร Active notch characteristics มาต่อร่วมกัน จึงทำให้รูปกราฟชันมากขึ้น และจะทำให้แคบว่าเดิมด้วย

และอีกวงจรหนึ่งที่เรานำมาทดลองคือการนำเอาวงจร BPF with one notch characteristics มาต่อกับวงจร Tunable notch filter ซึ่งใช้ตัว DURC ดังนั้นเราจะได้รูปกราฟความถี่ responses ที่มีขนาดแคบกว่าวงจรแรกอีก

ในการใช้ตัว URC ในการออกแบบวงจร Band pass filter นั้นค่าความไว (Sensitivity) จะมีค่าที่ดีกว่าวงจร Band pass filter ที่ใช้ตัว RC แบบธรรมดา และข้อดีอีกอย่างหนึ่งคือสามารถจะทำให่วงจร LSI ซึ่งมีขนาดเล็กกว่าวงจรแบบลัมป์มาก ซึ่งเป็นผลดีเมื่อนำมาใช้งานเพราะมีขนาดเล็กนั่นเอง

#### 6.2 ปัญหาและแนวทางการแก้ไข

ปัญหาที่เกิดขึ้นจากการทำโครงการนี้คือ

- ในการใช้อุปกรณ์นำมาต่อเป็นวงจร เราจะหาซื้อได้ลำบาก เพราะค่าอุปกรณ์ที่เราคำนวณได้นั้นจะไม่ค่อยมีขายในท้องตลาด ดังนั้นวงจรที่เราประกอบขึ้นมานั้นจะมีคุณสมบัติแตกต่างจากที่เราคำนวณไว้
- ในการสร้าง URC ด้วยการต่อแบบลัมป์อาร์ซีเอ็นถ้าแต่ละตัวห่างกัน ก็จะก่อให้เกิดการรบกวนและการลดทอนได้ โดยได้มีการแก้ไขการจับวางอุปกรณ์ให้อยู่ในรูปช็อตเกตไอซี ซึ่งสามารถลดปัญหานี้ได้

เอกสารนี้เป็นเอกสารที่สงวนไว้สำหรับการใช้งานเพื่อการศึกษาเท่านั้น ไม่อนุญาตให้นำไปใช้ประโยชน์ด้านการค้าไม่ว่ากรณีใดๆ ทั้งสิ้น อีกทั้งห้ามมิให้ตัดแปลงเนื้อหา และต้องอ้างอิงถึงเจ้าของเอกสารทุกครั้งที่มีการนำไปใช้

### 6.3 แนวทางการพัฒนาและการวิจัย

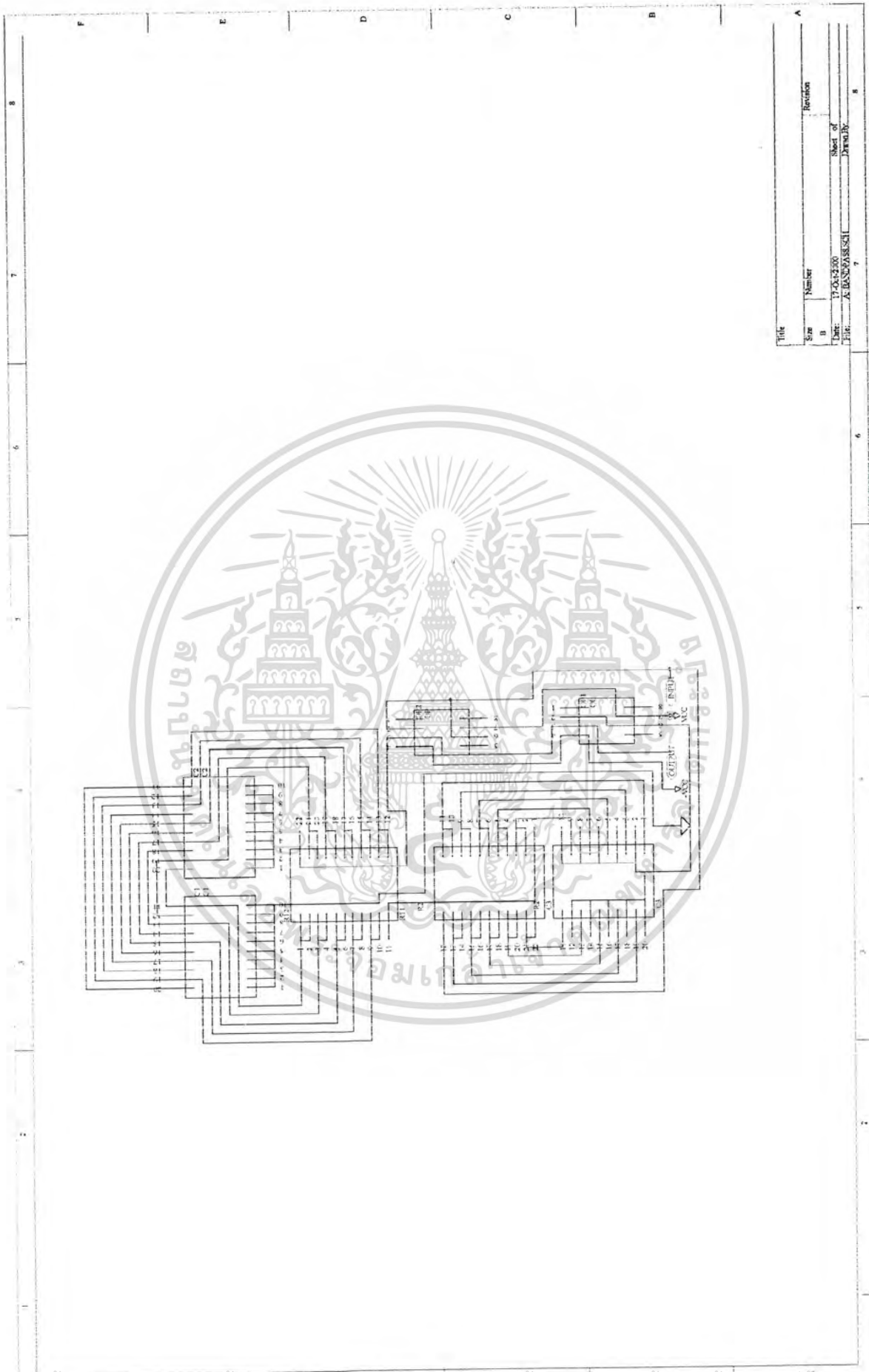
ในปฏิญานិพนธ์ฉบับนี้สามารถนำไปพัฒนาต่อโดยการ นำมอสเฟส หรือซิมอสมาทำเป็น อาร์ซี ซึ่งคุณสมบัติของมอสเฟส 1 ตัว จะเทียบเท่ากับ URC 1 ตัว ขึ้นอยู่กับการจัดวงจร ข้อดีของการใช้ มอสเฟส จะทำให้วงจรมีขนาดเล็กกลง สามารถใช้กับความถี่สูงๆได้ และสามารถปรับเปลี่ยนค่าซีของยูอาร์ซีได้ โดยการปรับแรงดันไบอัสที่ขาเกตของมอสเฟส ซึ่งมีผลทำให้ค่า C ภายในมอสเฟสมีการเปลี่ยนแปลงได้



เอกสารนี้เป็นเอกสารที่สงวนไว้สำหรับการใช้งานเพื่อการศึกษาเท่านั้น ไม่อนุญาตให้นำไปใช้ประโยชน์ด้านการค้า ไม่ว่าจะกรณีใดๆ ทั้งสิ้น อีกทั้งห้ามมิให้ตัดแปลงเนื้อหา และต้องอ้างอิงถึงเจ้าของเอกสารทุกครั้งที่มีการนำไปใช้



เอกสารนี้เป็นเอกสารที่สงวนไว้สำหรับการใช้งานเพื่อการศึกษาเท่านั้น ไม่อนุญาตให้นำไปใช้ประโยชน์ด้านการค้า  
ไม่ว่ากรณีใดๆ ทั้งสิ้น อีกทั้งห้ามมิให้ตัดแปลงเนื้อหา และต้องอ้างอิงถึงเจ้าของเอกสารทุกครั้งที่มีการนำไปใช้

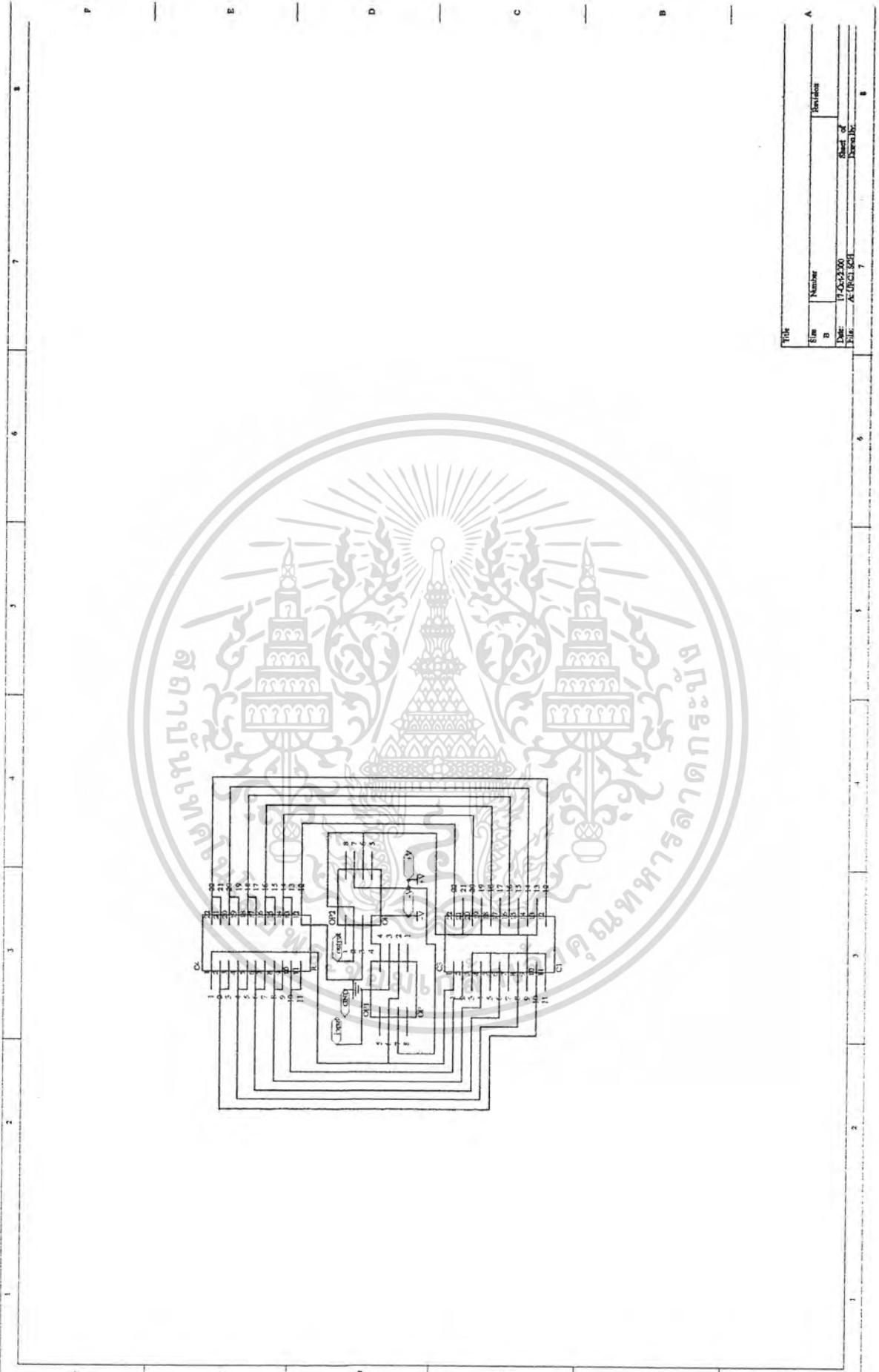


|       |              |          |  |
|-------|--------------|----------|--|
| Title |              |          |  |
| Draw  | Number       | Revision |  |
| B     |              |          |  |
| Date: | 17-03-2000   | Sheet of |  |
| File: | A.BANDAS.SCH | Drawn By |  |
|       |              |          |  |

เอกสารนี้เป็นเอกสารที่สงวนไว้สำหรับใช้สำหรับการทำงานเพื่อการศึกษาเท่านั้น ไม่นำไปใช้ประโยชน์ด้านการค้า  
ไม่ว่ากรณีใดๆ ทั้งสิ้น อีกทั้งห้ามมิให้ตัดแปลงเนื้อหา และต้องอ้างอิงถึงเจ้าของเอกสารทุกครั้งที่มีการนำไปใช้

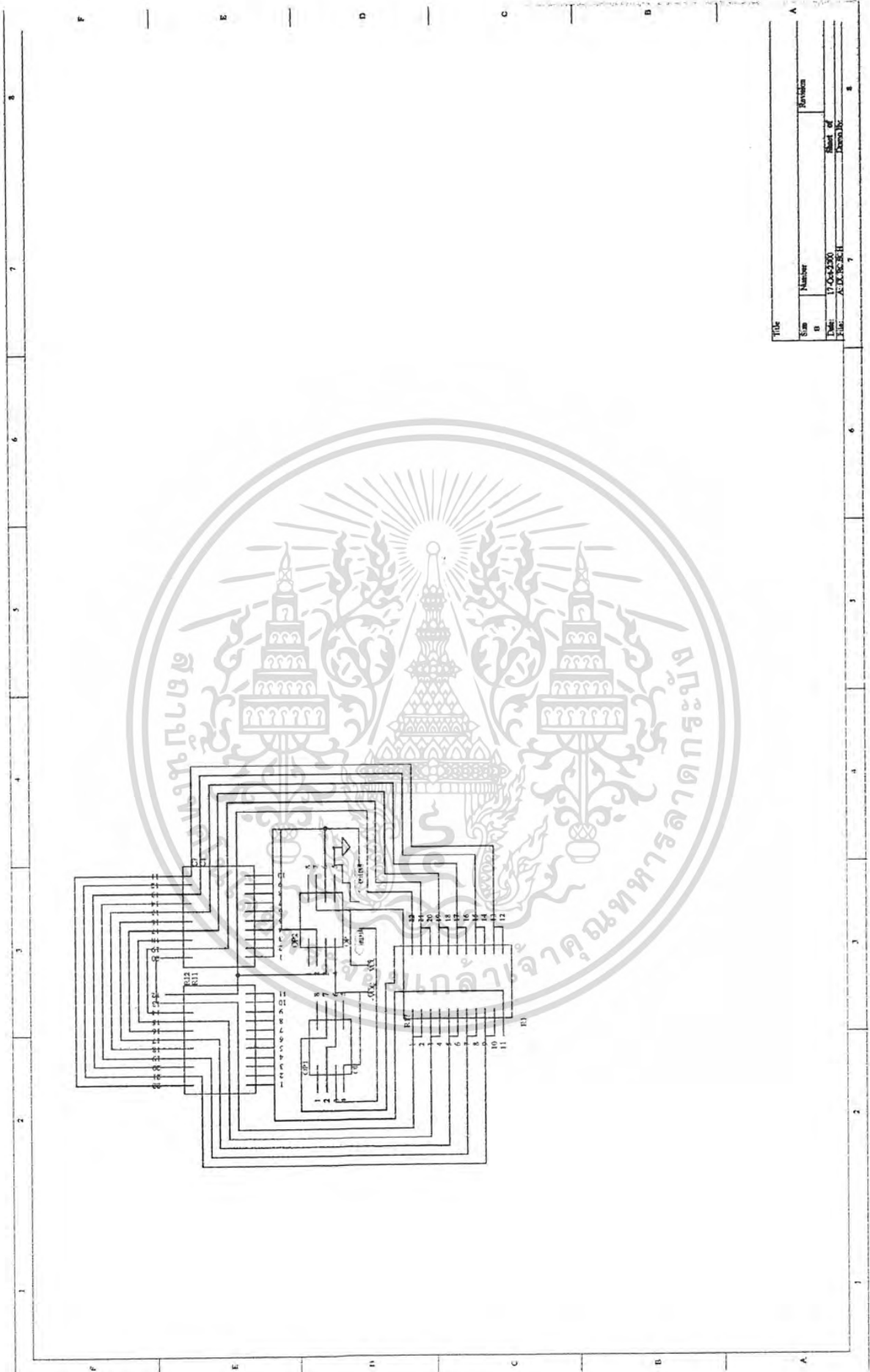


เอกสารนี้เป็นเอกสารที่สงวนไว้สำหรับการใช้งานเพื่อการศึกษาเท่านั้น ไม่อนุญาตให้นำไปใช้ประโยชน์ด้านการค้า  
ไม่ว่ากรณีใดๆ ทั้งสิ้น อีกทั้งห้ามมิให้ตัดแปลงเนื้อหา และต้องอ้างอิงถึงเจ้าของเอกสารทุกครั้งที่มีการนำไปใช้



| Title |            | A         |      |
|-------|------------|-----------|------|
| Size  | Number     | Rev.      | Rev. |
| B     |            |           |      |
| Date: | 17-05-2560 | Sheet of  |      |
| File: | PCB01.Sch1 | Drawn by: |      |
|       |            |           |      |

เอกสารนี้เป็นเอกสารที่สงวนไว้สำหรับการใช้งานเพื่อการศึกษาเท่านั้น ไม่อนุญาตให้นำไปใช้ประโยชน์ด้านการค้า  
ไม่ว่ากรณีใดๆ ทั้งสิ้น อีกทั้งห้ามมิให้ตัดแปลงเนื้อหา และต้องอ้างอิงถึงเจ้าของเอกสารทุกครั้งที่มีการนำไปใช้



|        |               |          |  |
|--------|---------------|----------|--|
| Title  |               |          |  |
| Sam No | Number        | Revision |  |
| Date   | 17/05/2560    | Sheet of |  |
| Total  | 1/01/01/01/01 | Drawn by |  |

เอกสารนี้เป็นเอกสารที่สงวนไว้สำหรับการใช้งานเพื่อการศึกษาเท่านั้น ไม่อนุญาตให้นำไปใช้ประโยชน์ด้านการค้า  
ไม่ว่ากรณีใดๆ ทั้งสิ้น อีกทั้งห้ามมิให้ตัดแปลงเนื้อหา และต้องอ้างอิงถึงเจ้าของเอกสารทุกครั้งที่มีการนำไปใช้



เอกสารนี้เป็นเอกสารที่สงวนไว้สำหรับการใช้งานเพื่อการศึกษาเท่านั้น ไม่อนุญาตให้นำไปใช้ประโยชน์ด้านการค้า  
ไม่ว่ากรณีใดๆ ทั้งสิ้น อีกทั้งห้ามมิให้ตัดแปลงเนื้อหา และต้องอ้างอิงถึงเจ้าของเอกสารทุกครั้งที่มีการนำไปใช้



ภาคผนวก ข

รายละเอียดของตัวอุปกรณ์

(Data Sheet)

เอกสารนี้เป็นเอกสารที่สงวนไว้สำหรับการใช้งานเพื่อการศึกษาเท่านั้น ไม่อนุญาตให้นำไปใช้ประโยชน์ด้านการค้า  
ไม่ว่ากรณีใดๆ ทั้งสิ้น อีกทั้งห้ามมิให้ดัดแปลงเนื้อหา และต้องอ้างอิงถึงเจ้าของเอกสารทุกครั้งที่มีการนำไปใช้

## LF351 Wide Bandwidth JFET Input Operational Amplifier

### General Description

The LF351 is a low cost high speed JFET input operational amplifier with an internally trimmed input offset voltage (BI-FET II™ technology). The device requires a low supply current and yet maintains a large gain bandwidth product and a fast slew rate. In addition, well matched high voltage JFET input devices provide very low input bias and offset currents. The LF351 is pin compatible with the standard LM741 and uses the same offset voltage adjustment circuitry. This feature allows designers to immediately upgrade the overall performance of existing LM741 designs.

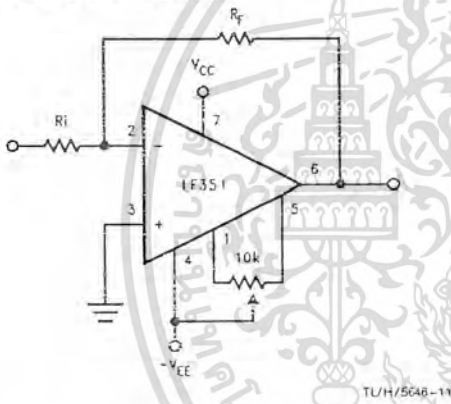
The LF351 may be used in applications such as high speed integrators, fast D/A converters, sample-and-hold circuits and many other circuits requiring low input offset voltage, low input bias current, high input impedance, high slew rate and wide bandwidth. The device has low noise and offset voltage drift, but for applications where these requirements are critical, the LF356 is recommended. If maximum supply

current is important, however, the LF351 is the better choice.

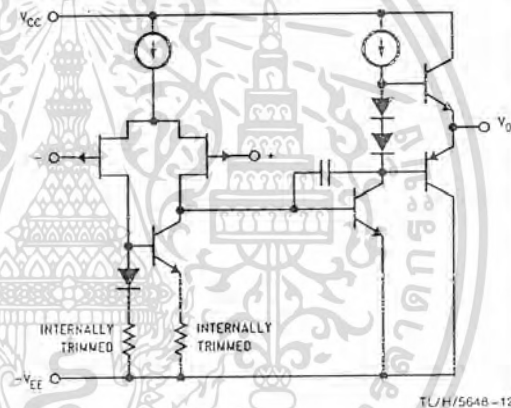
### Features

- Internally trimmed offset voltage 10 mV
- Low input bias current 50 pA
- Low input noise voltage 25 nV/√Hz
- Low input noise current 0.01 pA/√Hz
- Wide gain bandwidth 4 MHz
- High slew rate 13 V/μs
- Low supply current 1.8 mA
- High input impedance 10<sup>12</sup>Ω
- Low total harmonic distortion A<sub>V</sub> = 10, R<sub>L</sub> = 10k, V<sub>O</sub> = 20 V<sub>p-p</sub>, BW = 20 Hz–20 kHz < 0.02%
- Low 1/f noise corner 50 Hz
- Fast settling time to 0.01% 2 μs

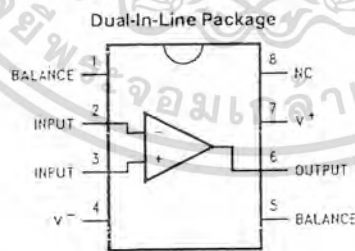
### Typical Connection



### Simplified Schematic



### Connection Diagrams



Order Number LF351M or LF351N  
See NS Package Number M08A or N08E

เอกสารนี้เป็นเอกสารที่สงวนไว้สำหรับการใช้งานเพื่อการศึกษาเท่านั้น ไม่อนุญาตให้นำไปใช้ประโยชน์ด้านการค้า ไม่ว่ากรณีใดๆ ทั้งสิ้น อีกทั้งห้ามมิให้ตัดแปลงเนื้อหา และต้องอ้างอิงถึงเจ้าของเอกสารทุกครั้งที่มีการนำไปใช้

## Absolute Maximum Ratings

If Military/Aerospace specified devices are required, please contact the National Semiconductor Sales Office/Distributors for availability and specifications.

|                                   |                 |
|-----------------------------------|-----------------|
| Supply Voltage                    | ±18V            |
| Power Dissipation (Notes 1 and 6) | 670 mW          |
| Operating Temperature Range       | 0°C to +70°C    |
| T <sub>J</sub> (MAX)              | 115°C           |
| Differential Input Voltage        | ±30V            |
| Input Voltage Range (Note 2)      | ±15V            |
| Output Short Circuit Duration     | Continuous      |
| Storage Temperature Range         | -65°C to +150°C |
| Lead Temp. (Soldering, 10 sec.)   |                 |
| Metal Can                         | 300°C           |
| DIP                               | 260°C           |

|                 |         |
|-----------------|---------|
| θ <sub>JA</sub> |         |
| N Package       | 120°C/W |
| M Package       | TBD     |

|                       |       |
|-----------------------|-------|
| Soldering Information |       |
| Dual-In-Line Package  |       |
| Soldering (10 sec.)   | 260°C |
| Small Outline Package |       |
| Vapor Phase (60 sec.) | 215°C |
| Infrared (15 sec.)    | 220°C |

See AN-450 "Surface Mounting Methods and Their Effect on Product Reliability" for other methods of soldering surface mount devices.

ESD rating to be determined.

## DC Electrical Characteristics (Note 3)

| Symbol               | Parameter                          | Conditions   | LF351 |                  |          | Units        |
|----------------------|------------------------------------|--|-------|------------------|----------|--------------|
|                      |                                    |  | Min   | Typ              | Max      |              |
| V <sub>OS</sub>      | Input Offset Voltage               | R <sub>S</sub> = 10 kΩ, T <sub>A</sub> = 25°C<br>Over Temperature  |       | 5                | 10<br>13 | mV<br>mV     |
| ΔV <sub>OS</sub> /ΔT | Average TC of Input Offset Voltage | R <sub>S</sub> = 10 kΩ   |       | 10               |          | μV/°C        |
| I <sub>OS</sub>      | Input Offset Current               | T <sub>J</sub> = 25°C, (Notes 3, 4)<br>T <sub>J</sub> ≤ 70°C   |       | 25               | 100<br>4 | μA<br>nA     |
| I <sub>B</sub>       | Input Bias Current                 | T <sub>J</sub> = 25°C, (Notes 3, 4)<br>T <sub>J</sub> ≤ ±70°C  |       | 50               | 200<br>8 | μA<br>nA     |
| R <sub>IN</sub>      | Input Resistance                   | T <sub>J</sub> = 25°C  |       | 10 <sup>12</sup> |          | Ω            |
| A <sub>VCL</sub>     | Large Signal Voltage Gain          | V <sub>S</sub> = ±15V, T <sub>A</sub> = 25°C<br>V <sub>O</sub> = ±10V, R <sub>L</sub> = 2 kΩ<br>Over Temperature | 25    | 100              |          | V/mV<br>V/mV |
| V <sub>O</sub>       | Output Voltage Swing               | V <sub>S</sub> = ±15V, R <sub>L</sub> = 10 kΩ  | ±12   | ±13.5            |          | V            |
| V <sub>CM</sub>      | Input Common-Mode Voltage Range    | V <sub>S</sub> = ±15V  | ±11   | ±15<br>-12       |          | V<br>V       |
| CMRR                 | Common-Mode Rejection Ratio        | R <sub>S</sub> ≤ 10 kΩ   | 70    | 100              |          | dB           |
| PSRR                 | Supply Voltage Rejection Ratio     | (Note 5)   | 70    | 100              |          | dB           |
| I <sub>S</sub>       | Supply Current                     |  |       | 1.8              | 3.4      | mA           |

เอกสารนี้เป็นเอกสารที่สงวนไว้สำหรับการใช้งานเพื่อการศึกษาเท่านั้น ไม่อนุญาตให้นำไปใช้ประโยชน์ด้านการค้า  
ไม่ว่ากรณีใดๆ ทั้งสิ้น อีกทั้งห้ามมิให้ตัดแปลงเนื้อหา และต้องอ้างอิงถึงเจ้าของเอกสารทุกครั้งที่มีการนำไปใช้

### AC Electrical Characteristics (Note 3)

| Symbol | Parameter                      | Conditions  | LF351 |      |     | Units          |
|--------|--------------------------------|---|-------|------|-----|----------------|
|        |                                |   | Min   | Typ  | Max |                |
| SR     | Slew Rate                      | $V_S = \pm 15V, T_A = 25^\circ C$                       |       | 13   |     | $V/\mu s$      |
| GBW    | Gain Bandwidth Product         | $V_S = \pm 15V, T_A = 25^\circ C$                       |       | 4    |     | MHz            |
| $e_n$  | Equivalent Input Noise Voltage | $T_A = 25^\circ C, R_S = 100\Omega, f = 1000\text{ Hz}$ |       | 25   |     | $nV/\sqrt{Hz}$ |
| $i_n$  | Equivalent Input Noise Current | $T_J = 25^\circ C, f = 1000\text{ Hz}$                  |       | 0.01 |     | $pA/\sqrt{Hz}$ |

**Note 1:** For operating at elevated temperature, the device must be derated based on the thermal resistance,  $\theta_{JA}$ .

**Note 2:** Unless otherwise specified the absolute maximum negative input voltage is equal to the negative power supply voltage.

**Note 3:** These specifications apply for  $V_S = \pm 15V$  and  $0^\circ C \leq T_A \leq +70^\circ C$ .  $V_{OS}$ ,  $I_B$  and  $I_{OS}$  are measured at  $V_{CM} = 0$ .

**Note 4:** The input bias currents are junction leakage currents which approximately double for every  $10^\circ C$  increase in the junction temperature,  $T_J$ . Due to the limited production test time, the input bias currents measured are correlated to junction temperature. In normal operation the junction temperature rises above the ambient temperature as a result of internal power dissipation,  $P_D$ .  $T_J = T_A + \theta_{JA} P_D$  where  $\theta_{JA}$  is the thermal resistance from junction to ambient. Use of a heat sink is recommended if input bias current is to be kept to a minimum.

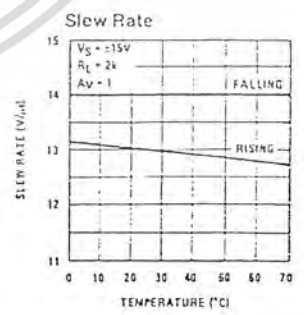
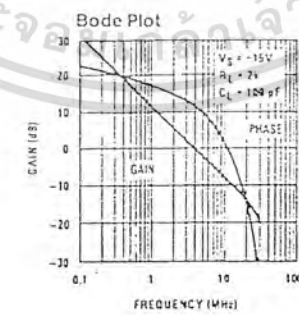
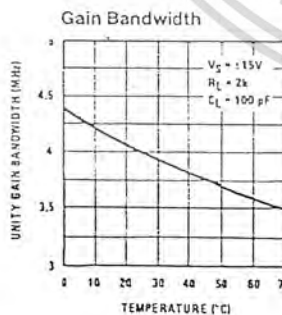
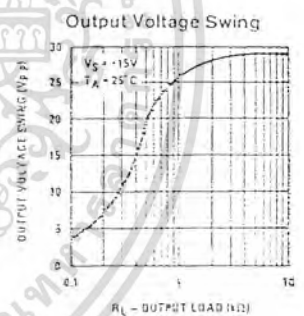
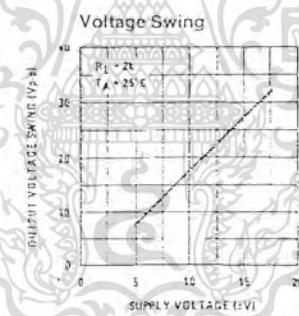
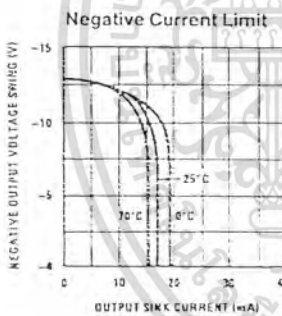
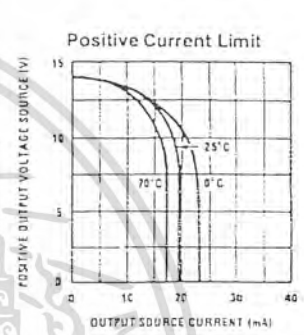
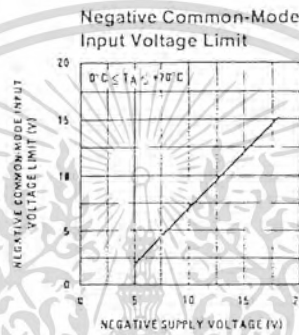
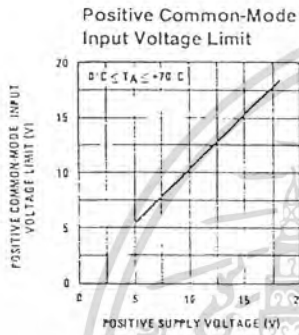
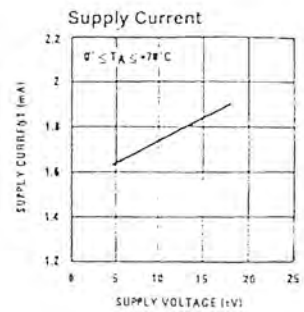
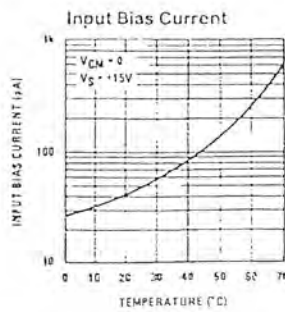
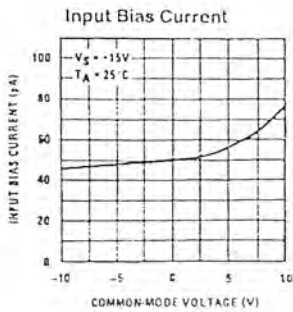
**Note 5:** Supply voltage rejection ratio is measured for both supply magnitudes increasing or decreasing simultaneously in accordance with common practice. From  $\pm 15V$  to  $\pm 5V$ .

**Note 6:** Max. Power Dissipation is defined by the package characteristics. Operating the part near the Max. Power Dissipation may cause the part to operate outside guaranteed limits.



เอกสารนี้เป็นเอกสารที่สงวนไว้สำหรับการใช้งานเพื่อการศึกษาเท่านั้น ไม่อนุญาตให้นำไปใช้ประโยชน์ด้านการค้า  
ไม่ว่ากรณีใดๆ ทั้งสิ้น อีกทั้งห้ามมิให้ตัดแปลงเนื้อหา และต้องอ้างอิงถึงเจ้าของเอกสารทุกครั้งที่มีการนำไปใช้

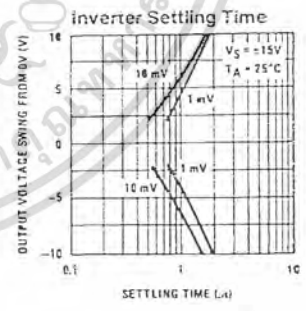
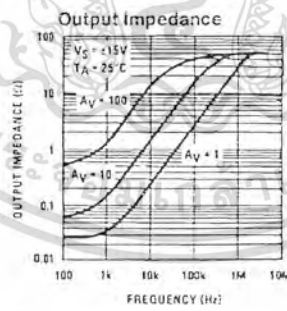
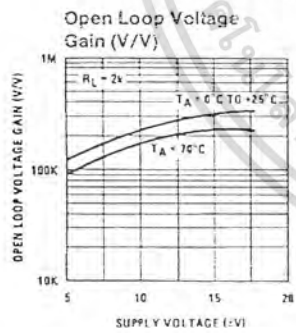
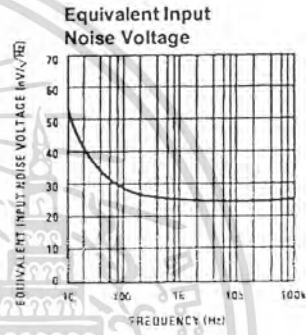
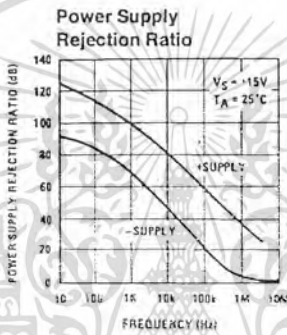
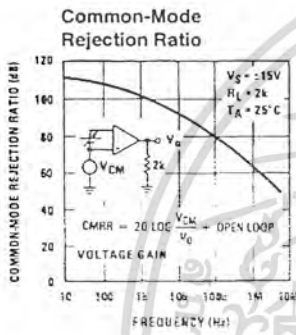
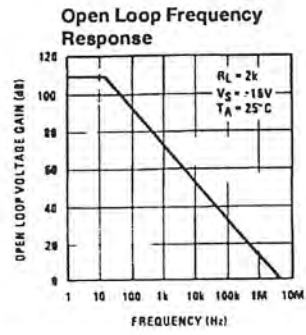
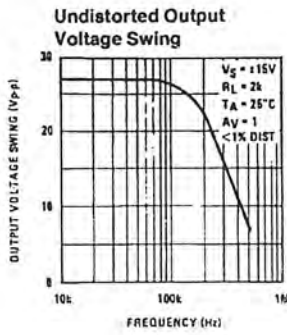
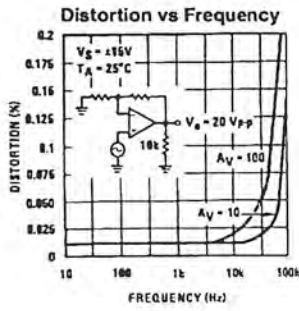
## Typical Performance Characteristics



TU/H/5648-2

เอกสารนี้เป็นเอกสารที่สงวนไว้สำหรับการใช้งานเพื่อการศึกษาเท่านั้น ไม่อนุญาตให้นำไปใช้ประโยชน์ด้านการค้า ไม่ว่าจะกรณีใดๆ ทั้งสิ้น อีกทั้งห้ามมิให้ตัดแปลงเนื้อหา และต้องอ้างอิงถึงเจ้าของเอกสารทุกครั้งที่มีการนำไปใช้

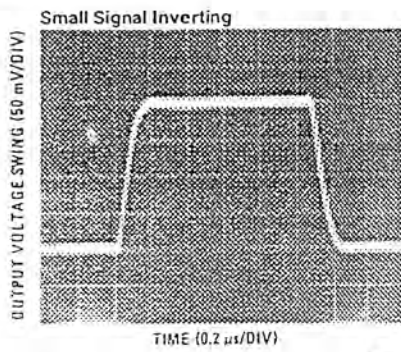
# Typical Performance Characteristics (Continued)



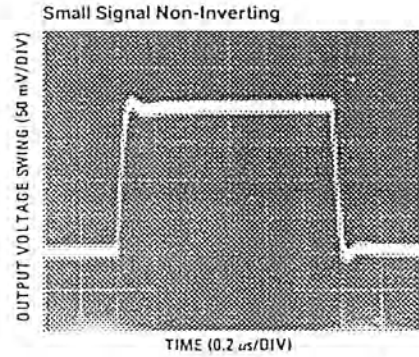
TL/H/5648-3

เอกสารนี้เป็นเอกสารที่สงวนไว้สำหรับการใช้งานเพื่อการศึกษาเท่านั้น ไม่อนุญาตให้นำไปใช้ประโยชน์ด้านการค้า ไม่ว่าจะกรณีใดๆ ทั้งสิ้น อีกทั้งห้ามมิให้ตัดแปลงเนื้อหา และต้องอ้างอิงถึงเจ้าของเอกสารทุกครั้งที่มีการนำไปใช้

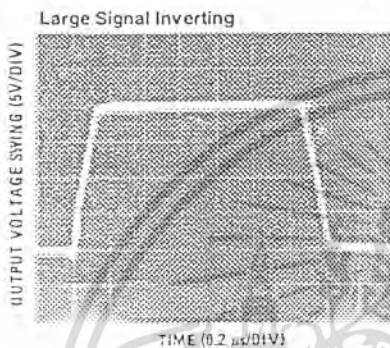
## Pulse Response



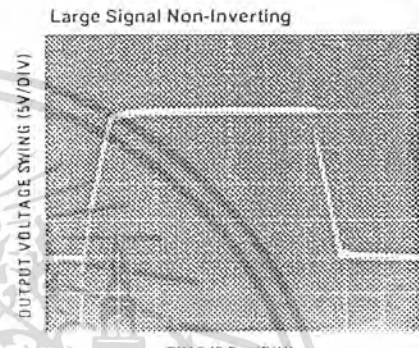
TL/H/5648-4



TL/H/5648-5



TL/H/5648-6



TL/H/5648-7

Current Limit ( $R_L = 100\Omega$ )



TL/H/5648-8

### Application Hints

The LF351 is an op amp with an internally trimmed input offset voltage and JFET input devices (BJFET ICM). These JFETs have large reverse breakdown voltages from gate to source and drain eliminating the need for clamps across the inputs. Therefore, large differential input voltages can easily be accommodated without a large increase in input current. The maximum differential input voltage is independent of the supply voltages. However, neither of the input voltages should be allowed to exceed the negative supply as this will

cause large currents to flow which can result in a destroyed unit.

Exceeding the negative common-mode limit on either input will force the output to a high state, potentially causing a reversal of phase to the output.

Exceeding the negative common-mode limit on both inputs will force the amplifier output to a high state. In neither case does a latch occur since raising the input back within the

## Application Hints (Continued)

common-mode range again puts the input stage and thus the amplifier in a normal operating mode.

Exceeding the positive common-mode limit on a single input will not change the phase of the output; however, if both inputs exceed the limit, the output of the amplifier will be forced to a high state.

The amplifier will operate with a common-mode input voltage equal to the positive supply; however, the gain bandwidth and slew rate may be decreased in this condition. When the negative common-mode voltage swings to within 3V of the negative supply, an increase in input offset voltage may occur.

The LF351 is biased by a zener reference which allows normal circuit operation on  $\pm 4V$  power supplies. Supply voltages less than these may result in lower gain bandwidth and slew rate.

The LF351 will drive a 2 k $\Omega$  load resistance to  $\pm 10V$  over the full temperature range of  $0^{\circ}C$  to  $+70^{\circ}C$ . If the amplifier is forced to drive heavier load currents, however, an increase in input offset voltage may occur on the negative voltage swing and finally reach an active current limit on both positive and negative swings.

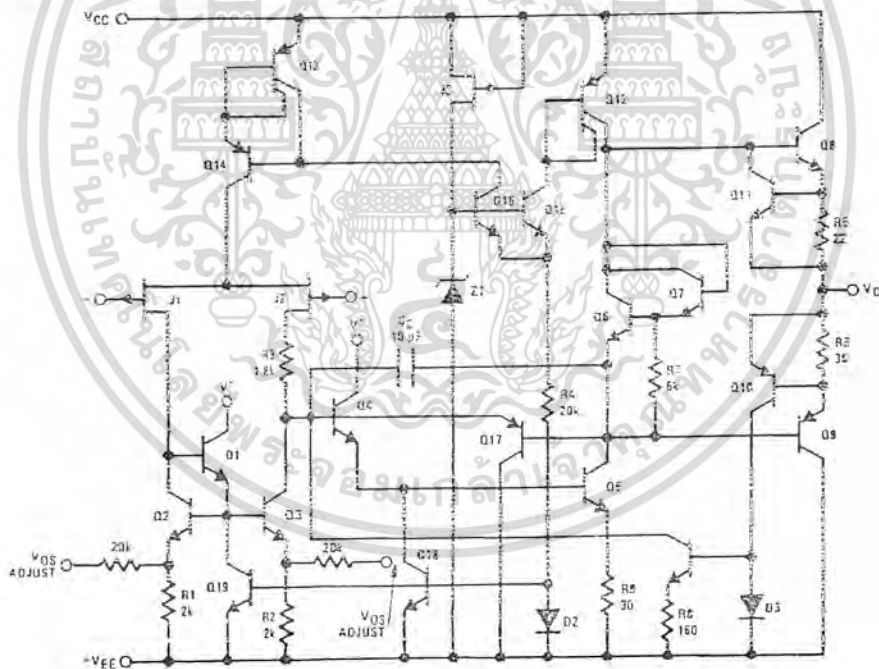
Precautions should be taken to ensure that the power supply for the integrated circuit never becomes reversed in polarity or that the unit is not inadvertently installed back-

wards in a socket as an unlimited current surge through the resulting forward diode within the IC could cause fusing of the internal conductors and result in a destroyed unit.

As with most amplifiers, care should be taken with lead dress, component placement and supply decoupling in order to ensure stability. For example, resistors from the output to an input should be placed with the body close to the input to minimize "pick-up" and maximize the frequency of the feedback pole by minimizing the capacitance from the input to ground.

A feedback pole is created when the feedback around any amplifier is resistive. The parallel resistance and capacitance from the input of the device (usually the inverting input) to AC ground set the frequency of the pole. In many instances the frequency of this pole is much greater than the expected 3 dB frequency of the closed loop gain and consequently there is negligible effect on stability margin. However, if the feedback pole is less than approximately 6 times the expected 3 dB frequency a lead capacitor should be placed from the output to the input of the op amp. The value of the added capacitor should be such that the RC time constant of this capacitor and the resistance it parallels is greater than or equal to the original feedback pole time constant.

## Detailed Schematic

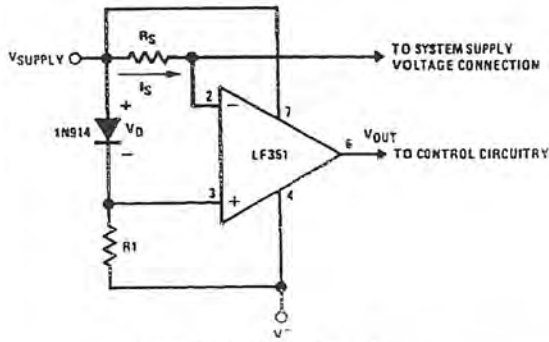


TL/H/554E-6

เอกสารนี้เป็นเอกสารที่สงวนไว้สำหรับการใช้งานเพื่อการศึกษาเท่านั้น ไม่อนุญาตให้นำไปใช้ประโยชน์ด้านการค้า  
ไม่ว่ากรณีใดๆ ทั้งสิ้น อีกทั้งห้ามมิให้ตัดแปลงเนื้อหา และต้องอ้างอิงถึงเจ้าของเอกสารทุกครั้งที่มีการนำไปใช้

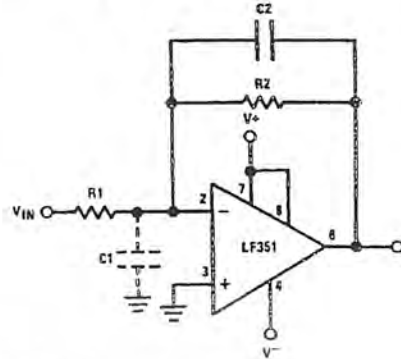
# Typical Applications

Supply Current Indicator/Limiter



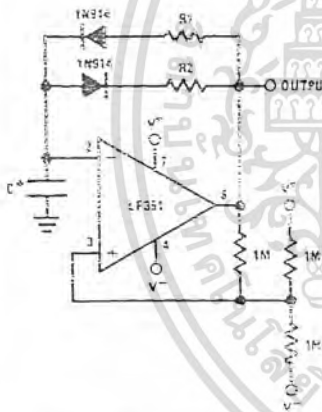
\*  $V_{OUT}$  switches high when  $R_S I_S > V_D$

Hi- $Z_{IN}$  Inverting Amplifier



Parasitic input capacitance  $C_1 \approx (3 \text{ pF for LF351 plus any additional layout capacitance})$  interacts with feedback elements and creates undesirable high frequency pole. To compensate, add  $C_2$  such that  $R_2 C_2 \approx R_1 C_1$

Ultra-Low (or High) Duty Cycle Pulse Generator



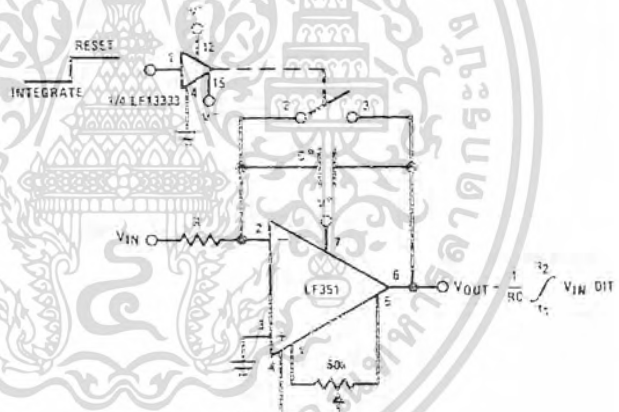
\*  $t_{OUTPUT HIGH} = R_1 C \ln \frac{4.5 - 2V_S}{4.5 - V_S}$

\*  $t_{OUTPUT LOW} = R_2 C \ln \frac{2V_S - 7.8}{V_S - 7.8}$

where  $V_S = V^+ + |V^-|$

\* low leakage capacitor

Long Time Integrator



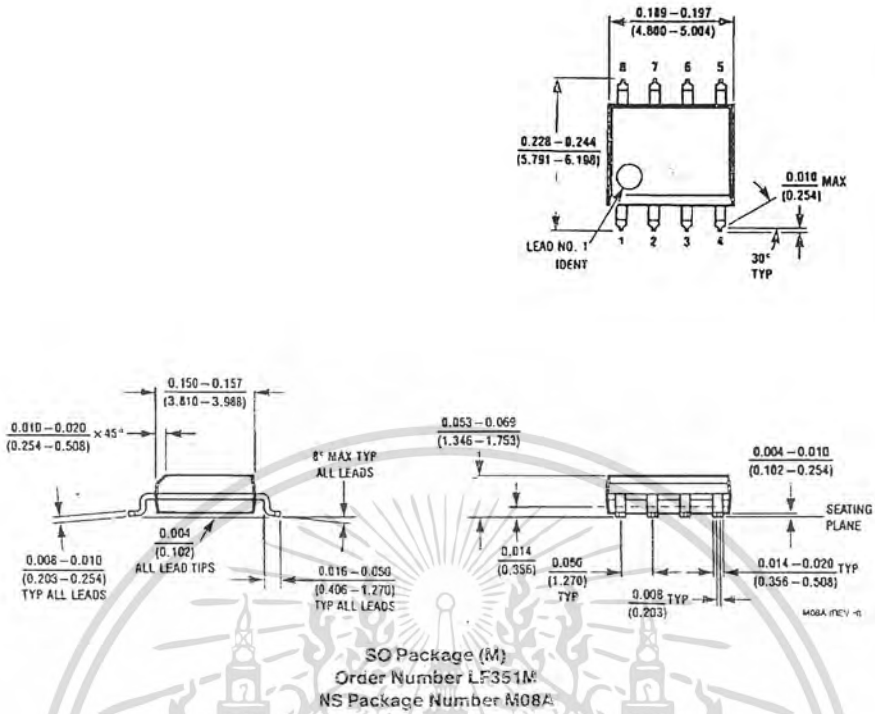
\* Low leakage capacitor

\* 50k pot used for less sensitive  $V_{OS}$  adjust

TL/H/5648-10

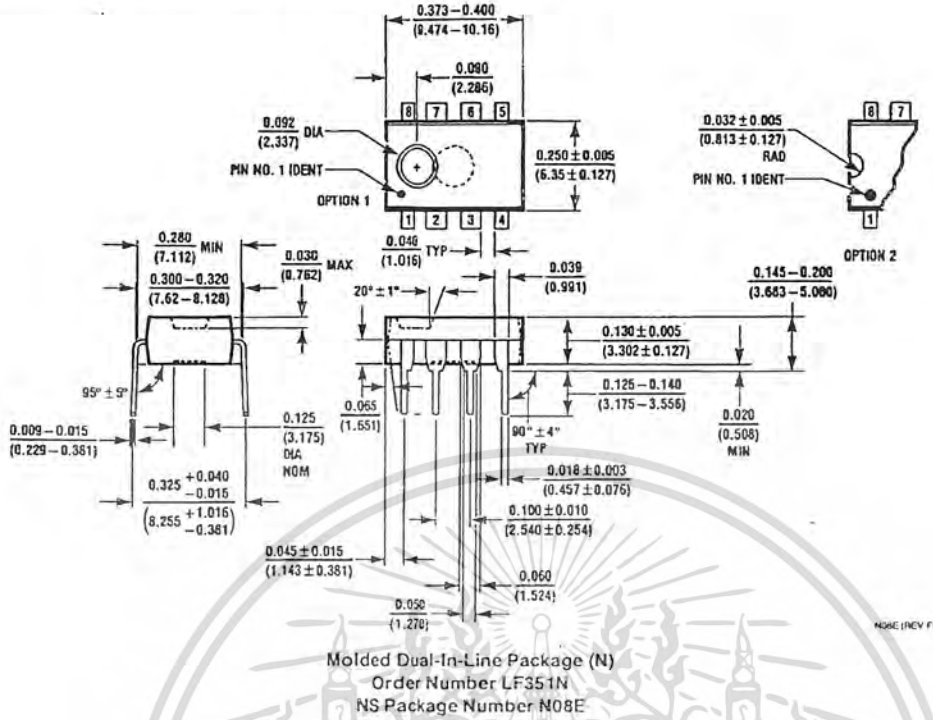
เอกสารนี้เป็นเอกสารที่สงวนไว้สำหรับการใช้งานเพื่อการศึกษาเท่านั้น ไม่อนุญาตให้นำไปใช้ประโยชน์ด้านการค้า ไม่ว่าจะกรณีใดๆ ทั้งสิ้น อีกทั้งห้ามมิให้ตัดแปลงเนื้อหา และต้องอ้างอิงถึงเจ้าของเอกสารทุกครั้งที่มีการนำไปใช้

**Physical Dimensions** inches (millimeters)



เอกสารนี้เป็นเอกสารที่สงวนไว้สำหรับการใช้งานเพื่อการศึกษาเท่านั้น ไม่อนุญาตให้นำไปใช้ประโยชน์ด้านการค้า ไม่ว่าจะกรณีใดๆ ทั้งสิ้น อีกทั้งห้ามมิให้ตัดแปลงเนื้อหา และต้องอ้างอิงถึงเจ้าของเอกสารทุกครั้งที่มีการนำไปใช้

**Physical Dimensions** inches (millimeters) (Continued)



**LIFE SUPPORT POLICY**

NATIONAL'S PRODUCTS ARE NOT AUTHORIZED FOR USE AS CRITICAL COMPONENTS IN LIFE SUPPORT DEVICES OR SYSTEMS WITHOUT THE EXPRESS WRITTEN APPROVAL OF THE PRESIDENT OF NATIONAL SEMICONDUCTOR CORPORATION. As used herein:

1. Life support devices or systems are devices or systems which, (a) are intended for surgical implant into the body, or (b) support or sustain life, and whose failure to perform, when properly used in accordance with instructions for use provided in the labeling, can be reasonably expected to result in a significant injury to the user.
2. A critical component is any component of a life support device or system whose failure to perform can be reasonably expected to cause the failure of the life support device or system, or to affect its safety or effectiveness.

**National Semiconductor Corporation**  
 1111 West Bardin Road  
 Arlington, TX 76017  
 Tel: 1(800) 272-9959  
 Fax: 1(800) 737-7018

**National Semiconductor Europe**  
 Fax: (+49) 0-180-530 85 86  
 Email: cnjwge@tvm2.nsc.com  
 Deutsch Tel: (+49) 0-180-530 85 85  
 English Tel: (+49) 0-180-532 78 32  
 Français Tel: (+49) 0-180-532 93 58  
 Italiano Tel: (+49) 0-180-534 16 80

**National Semiconductor Hong Kong Ltd.**  
 13th Floor, Straight Block,  
 Ocean Centre, 5 Canton Rd.  
 Tsimshatsui, Kowloon  
 Hong Kong  
 Tel: (852) 2737-1600  
 Fax: (852) 2735-9960

**National Semiconductor Japan Ltd.**  
 Tel: 81-043-299-2309  
 Fax: 81-043-299-2408

National does not assume any responsibility for use of any circuitry described; no circuit patent licenses are implied and National reserves the right at any time without notice to change said circuitry and specifications.

เอกสารนี้เป็นเอกสารที่สงวนไว้สำหรับการใช้งานเพื่อการศึกษาเท่านั้น ไม่อนุญาตให้นำไปใช้ประโยชน์ด้านการค้า  
 ไม่ว่าจะกรณีใดๆ ทั้งสิ้น อีกทั้งห้ามมิให้ตัดแปลงเนื้อหา และต้องอ้างอิงถึงเจ้าของเอกสารทุกครั้งที่มีการนำไปใช้

# LF353 Wide Bandwidth Dual JFET Input Operational Amplifier

## General Description

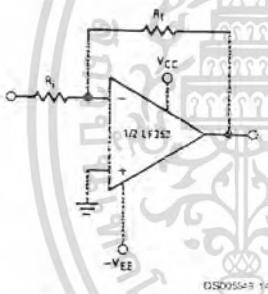
These devices are low cost, high speed, dual JFET input operational amplifiers with an internally trimmed input offset voltage (BI-FET II™ technology). They require low supply current yet maintain a large gain bandwidth product and fast slew rate. In addition, well matched high voltage JFET input devices provide very low input bias and offset currents. The LF353 is pin compatible with the standard LM1558 allowing designers to immediately upgrade the overall performance of existing LM1558 and LM358 designs.

These amplifiers may be used in applications such as high speed integrators, fast D/A converters, sample and hold circuits and many other circuits requiring low input offset voltage, low input bias current, high input impedance, high slew rate and wide bandwidth. The devices also exhibit low noise and offset voltage drift.

## Features

- Internally trimmed offset voltage: 10 mV
- Low input bias current: 50pA
- Low input noise voltage:  $25 \text{ nV}/\sqrt{\text{Hz}}$
- Low input noise current:  $0.01 \text{ pA}/\sqrt{\text{Hz}}$
- Wide gain bandwidth: 4 MHz
- High slew rate: 13 V/ $\mu\text{s}$
- Low supply current: 3.6 mA
- High input impedance:  $10^{12}\Omega$
- Low total harmonic distortion  $A_V=10$ ;  $<0.02\%$   
 $R_L=10k, V_O=20V_{p-p}, BW=20 \text{ Hz-20 kHz}$
- Low 1/f noise corner: 50 Hz
- Fast settling time to 0.01%: 2  $\mu\text{s}$

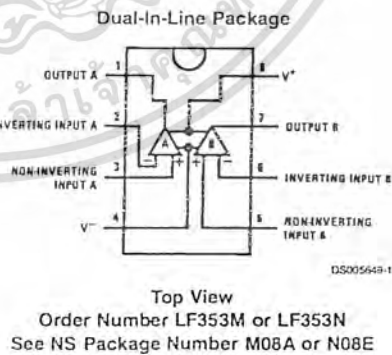
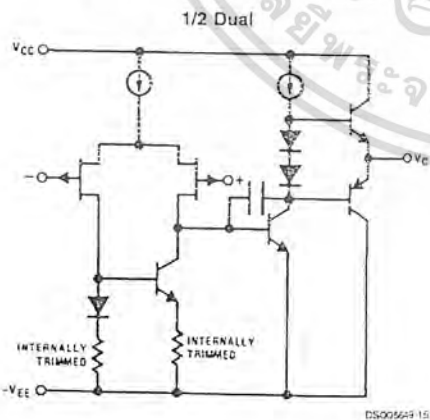
## Typical Connection



## Connection Diagrams



## Simplified Schematic



LF353 Wide Bandwidth Dual JFET Input Operational Amplifier

BI-FET II™ is a trademark of National Semiconductor Corporation.

เอกสารนี้เป็นเอกสารที่สงวนไว้สำหรับการใช้งานเพื่อการศึกษาเท่านั้น ไม่อนุญาตให้นำไปใช้ประโยชน์ด้านการค้า ไม่ว่าจะกรณีใดๆ ทั้งสิ้น อีกทั้งห้ามมิให้ตัดแปลงเนื้อหา และต้องอ้างอิงถึงเจ้าของเอกสารทุกครั้งที่มีการนำไปใช้

## Absolute Maximum Ratings (Note 1)

If Military/Aerospace specified devices are required, please contact the National Semiconductor Sales Office/Distributors for availability and specifications.

|                                 |                 |
|---------------------------------|-----------------|
| Supply Voltage                  | ±18V            |
| Power Dissipation               | (Note 2)        |
| Operating Temperature Range     | 0°C to +70°C    |
| T <sub>J</sub> (MAX)            | 150°C           |
| Differential Input Voltage      | ±30V            |
| Input Voltage Range (Note 3)    | ±15V            |
| Output Short Circuit Duration   | Continuous      |
| Storage Temperature Range       | -65°C to +150°C |
| Lead Temp. (Soldering, 10 sec.) | 260°C           |
| Soldering Information           |                 |
| Dual-In-Line Package            |                 |
| Soldering (10 sec.)             | 260°C           |

Small Outline Package

Vapor Phase (60 sec.)

215°C

Infrared (15 sec.)

220°C

See AN-450 "Surface Mounting Methods and Their Effect on Product Reliability" for other methods of soldering surface mount devices.

ESD Tolerance (Note 8)

1700V

θ<sub>JA</sub> M Package

TBD

Note 1: Absolute Maximum Ratings indicate limits beyond which damage to the device may occur. Operating ratings indicate conditions for which the device is functional, but do not guarantee specific performance limits. Electrical Characteristics state DC and AC electrical specifications under particular test conditions which guarantee specific performance limits. This assumes that the device is within the Operating Ratings. Specifications are not guaranteed for parameters where no limit is given, however, the typical value is a good indication of device performance.

## DC Electrical Characteristics

(Note 5)

| Symbol               | Parameter                          | Conditions  | LF353 |                  |     | Units |
|----------------------|------------------------------------|---|-------|------------------|-----|-------|
|                      |                                    |   | Min   | Typ              | Max |       |
| V <sub>OS</sub>      | Input Offset Voltage               | R <sub>S</sub> =10kΩ, T <sub>A</sub> =25°C                      |       | 5                | 10  | mV    |
|                      |                                    | Over Temperature  |       |                  | 13  | mV    |
| ΔV <sub>OS</sub> /ΔT | Average TC of Input Offset Voltage | R <sub>S</sub> =10 kΩ   |       | 10               |     | μV/°C |
| I <sub>OS</sub>      | Input Offset Current               | T <sub>J</sub> =25°C, (Notes 5, 6)                              |       | 25               | 100 | pA    |
|                      |                                    | T <sub>J</sub> ≤70°C  |       |                  | 4   | nA    |
| I <sub>B</sub>       | Input Bias Current                 | T <sub>J</sub> =25°C, (Notes 5, 6)                              |       | 50               | 200 | pA    |
|                      |                                    | T <sub>J</sub> ≤70°C  |       |                  | 8   | nA    |
| R <sub>IN</sub>      | Input Resistance                   | T <sub>J</sub> =25°C  |       | 10 <sup>12</sup> |     | Ω     |
| A <sub>VOL</sub>     | Large Signal Voltage Gain          | V <sub>S</sub> =±15V, T <sub>A</sub> =25°C                      | 25    | 100              |     | V/mV  |
|                      |                                    | V <sub>OS</sub> =±10V, R <sub>L</sub> =2 kΩ<br>Over Temperature | 15    |                  |     | V/mV  |
| V <sub>O</sub>       | Output Voltage Swing               | V <sub>S</sub> =±15V, R <sub>L</sub> =10kΩ                      | ±12   | ±13.5            |     | V     |
| V <sub>CM</sub>      | Input Common-Mode Voltage Range    | V <sub>S</sub> =±15V  | ±11   | +15              |     | V     |
|                      |                                    |   |       | -12              |     | V     |
| CMRR                 | Common-Mode Rejection Ratio        | R <sub>S</sub> ≤10kΩ  | 70    | 100              |     | dB    |
| PSRR                 | Supply Voltage Rejection Ratio     | (Note 7)  | 70    | 100              |     | dB    |
| I <sub>S</sub>       | Supply Current                     |   |       | 3.6              | 6.5 | mA    |

## AC Electrical Characteristics

(Note 5)

| Symbol         | Parameter                       | Conditions   | LF353 |      |     | Units  |
|----------------|---------------------------------|--|-------|------|-----|--------|
|                |                                 |  | Min   | Typ  | Max |        |
|                | Amplifier to Amplifier Coupling | T <sub>A</sub> =25°C, f=1 Hz-20 kHz<br>(Input Referred)  |       | -120 |     | dB     |
| SR             | Slew Rate                       | V <sub>S</sub> =±15V, T <sub>A</sub> =25°C               | 8.0   | 13   |     | V/μs   |
| GBW            | Gain Bandwidth Product          | V <sub>S</sub> =±15V, T <sub>A</sub> =25°C               | 2.7   | 4    |     | MHz    |
| e <sub>n</sub> | Equivalent Input Noise Voltage  | T <sub>A</sub> =25°C, R <sub>S</sub> =100Ω,<br>f=1000 Hz |       | 16   |     | nV/√Hz |
| i <sub>n</sub> | Equivalent Input Noise Current  | T <sub>J</sub> =25°C, f=1000 Hz                          |       | 0.01 |     | pA/√Hz |

Note 2: For operating at elevated temperatures, the device must be derated based on a thermal resistance of 115°C/W typ junction to ambient for the N package, and 158°C/W typ junction to ambient for the H package.

เอกสารนี้เป็นเอกสารที่สงวนไว้สำหรับการใช้งานเพื่อการศึกษาเท่านั้น ไม่อนุญาตให้นำไปใช้ประโยชน์ด้านการค้า  
ไม่ว่ากรณีใดๆ ทั้งสิ้น อีกทั้งห้ามมิให้ตัดแปลงเนื้อหา และต้องอ้างอิงถึงเจ้าของเอกสารทุกครั้งที่มีการนำไปใช้

## AC Electrical Characteristics (Continued)

Note 3: Unless otherwise specified the absolute maximum negative input voltage is equal to the negative power supply voltage.

Note 4: The power dissipation limit, however, cannot be exceeded.

Note 5: These specifications apply for  $V_S = \pm 15V$  and  $0^\circ C \leq T_A \leq +70^\circ C$ .  $V_{OS}$ ,  $I_B$  and  $I_{OS}$  are measured at  $V_{CM} = 0$ .

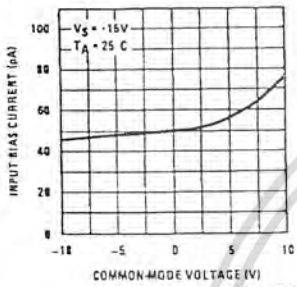
Note 6: The input bias currents are junction leakage currents which approximately double for every  $10^\circ C$  increase in the junction temperature,  $T_J$ . Due to the limited production test time, the input bias currents measured are correlated to junction temperature. In normal operation the junction temperature rises above the ambient temperature as a result of internal power dissipation,  $P_D$ .  $T_J = T_A + \theta_{JA} P_D$  where  $\theta_{JA}$  is the thermal resistance from junction to ambient. Use of a heat sink is recommended if input bias current is to be kept to a minimum.

Note 7: Supply voltage rejection ratio is measured for both supply magnitudes increasing or decreasing simultaneously in accordance with common practice.  $V_S = \pm 6V$  to  $\pm 15V$ .

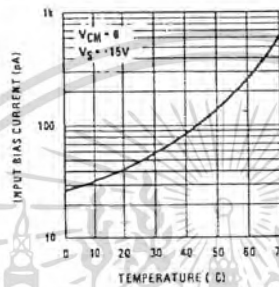
Note 8: Human body model,  $1.5 k\Omega$  in series with  $100 pF$ .

## Typical Performance Characteristics

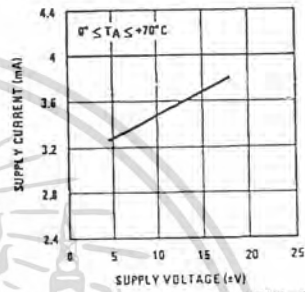
Input Bias Current



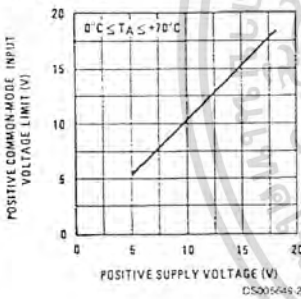
Input Bias Current



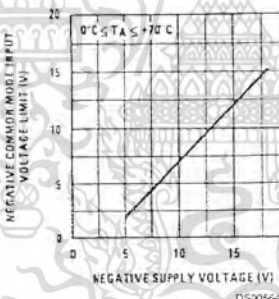
Supply Current



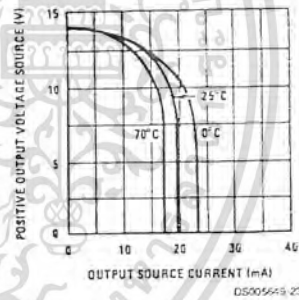
Positive Common-Mode Input Voltage Limit



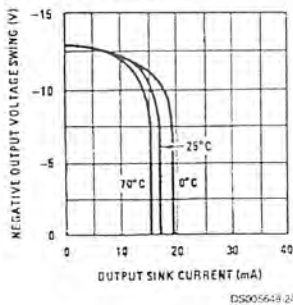
Negative Common-Mode Input Voltage Limit



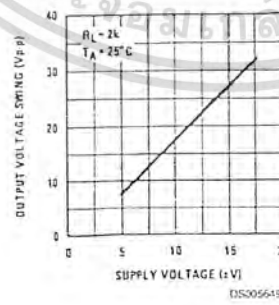
Positive Current Limit



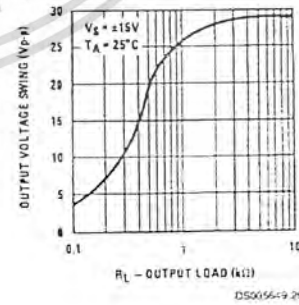
Negative Current Limit



Voltage Swing



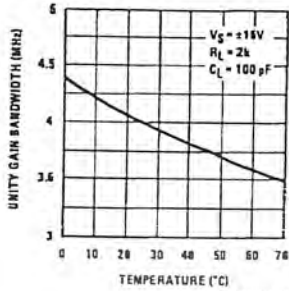
Output Voltage Swing



เอกสารนี้เป็นเอกสารที่สงวนไว้สำหรับการใช้งานเพื่อการศึกษาเท่านั้น ไม่อนุญาตให้นำไปใช้ประโยชน์ด้านการค้า ไม่ว่าจะกรณีใดๆ ทั้งสิ้น อีกทั้งห้ามมิให้ตัดแปลงเนื้อหา และต้องอ้างอิงถึงเจ้าของเอกสารทุกครั้งที่มีการนำไปใช้

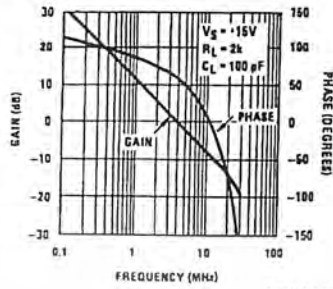
## Typical Performance Characteristics (Continued)

Gain Bandwidth



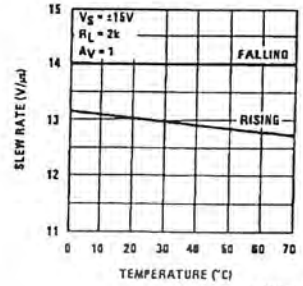
DS005649-27

Bode Plot



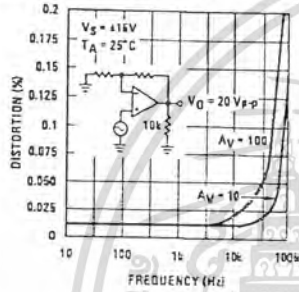
DS005649-28

Slew Rate



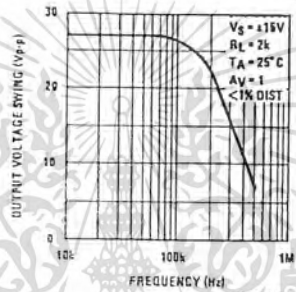
DS005649-29

Distortion vs Frequency



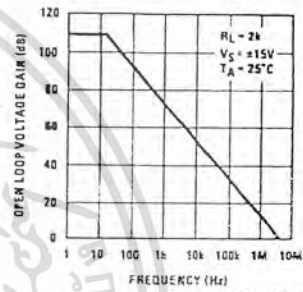
DS005649-30

Undistorted Output Voltage Swing



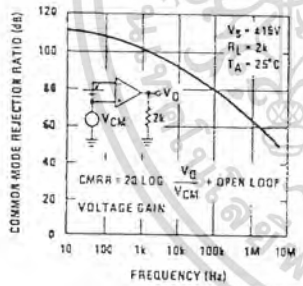
DS005649-31

Open Loop Frequency Response



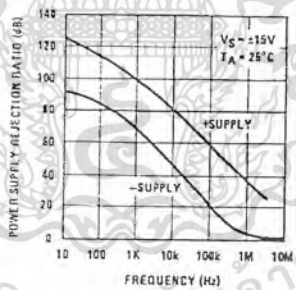
DS005649-32

Common-Mode Rejection Ratio



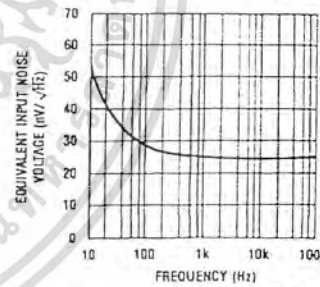
DS005649-33

Power Supply Rejection Ratio



DS005649-34

Equivalent Input Noise Voltage

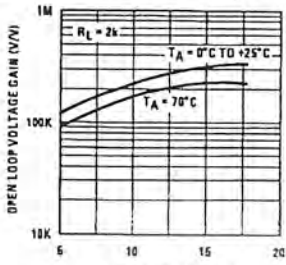


DS005649-35

เอกสารนี้เป็นเอกสารที่สงวนไว้สำหรับการใช้งานเพื่อการศึกษาเท่านั้น ไม่อนุญาตให้นำไปใช้ประโยชน์ด้านการค้า ไม่ว่าจะกรณีใดๆ ทั้งสิ้น อีกทั้งห้ามมิให้ตัดแปลงเนื้อหา และต้องอ้างอิงถึงเจ้าของเอกสารทุกครั้งที่มีการนำไปใช้

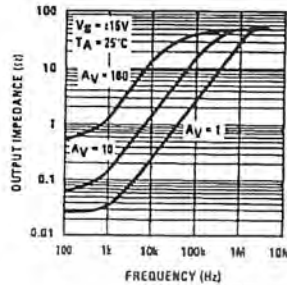
## Typical Performance Characteristics (Continued)

Open Loop Voltage Gain (V/V)



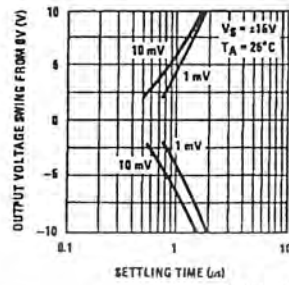
DS005649-36

Output Impedance



DS005649-37

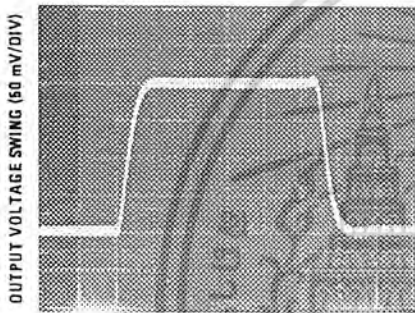
Inverter Settling Time



DS005649-38

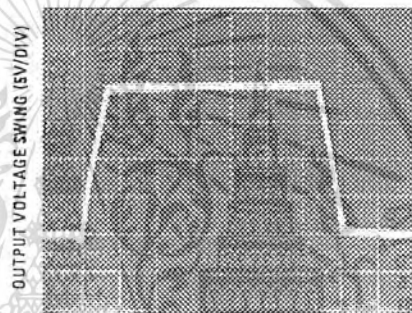
## Pulse Response

Small Signaling Inverting



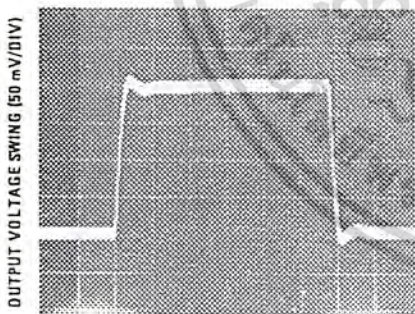
DS005649-4

Large Signal Inverting



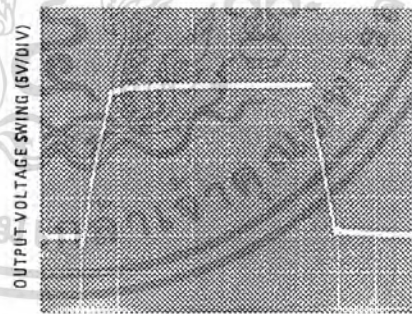
DS005649-5

Small Signal Non-Inverting



DS005649-6

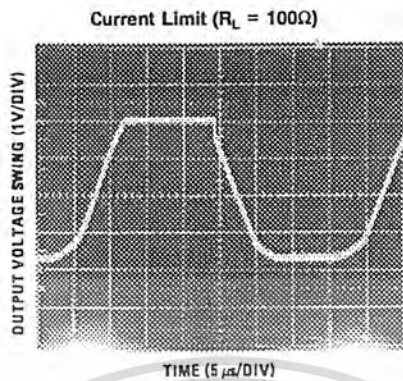
Large Signal Non-Inverting



DS005649-7

เอกสารนี้เป็นเอกสารที่สงวนไว้สำหรับการใช้งานเพื่อการศึกษาเท่านั้น ไม่อนุญาตให้นำไปใช้ประโยชน์ด้านการค้า ไม่ว่ากรณีใดๆ ทั้งสิ้น อีกทั้งห้ามมิให้ตัดแปลงเนื้อหา และต้องอ้างอิงถึงเจ้าของเอกสารทุกครั้งที่มีการนำไปใช้

## Pulse Response (Continued)



## Application Hints

These devices are op amps with an internally trimmed input offset voltage and JFET input devices (BI-FET II). These JFETs have large reverse breakdown voltages from gate to source and drain eliminating the need for clamps across the inputs. Therefore, large differential input voltages can easily be accommodated without a large increase in input current. The maximum differential input voltage is independent of the supply voltages. However, neither of the input voltages should be allowed to exceed the negative supply as this will cause large currents to flow which can result in a destroyed unit.

Exceeding the negative common-mode limit on either input will force the output to a high state, potentially causing a reversal of phase to the output. Exceeding the negative common-mode limit on both inputs will force the amplifier output to a high state. In neither case does a latch occur since raising the input back within the common-mode range again puts the input stage and thus the amplifier in a normal operating mode.

Exceeding the positive common-mode limit on a single input will not change the phase of the output; however, if both inputs exceed the limit, the output of the amplifier will be forced to a high state.

The amplifiers will operate with a common-mode input voltage equal to the positive supply; however, the gain bandwidth and slew rate may be decreased in this condition. When the negative common-mode voltage swings to within 3V of the negative supply, an increase in input offset voltage may occur.

Each amplifier is individually biased by a zener reference which allows normal circuit operation on  $\pm 6V$  power supplies. Supply voltages less than these may result in lower gain bandwidth and slew rate.

The amplifiers will drive a  $2\text{ k}\Omega$  load resistance to  $\pm 10V$  over the full temperature range of  $0^\circ\text{C}$  to  $+70^\circ\text{C}$ . If the amplifier is forced to drive heavier load currents, however, an increase in input offset voltage may occur on the negative voltage swing and finally reach an active current limit on both positive and negative swings.

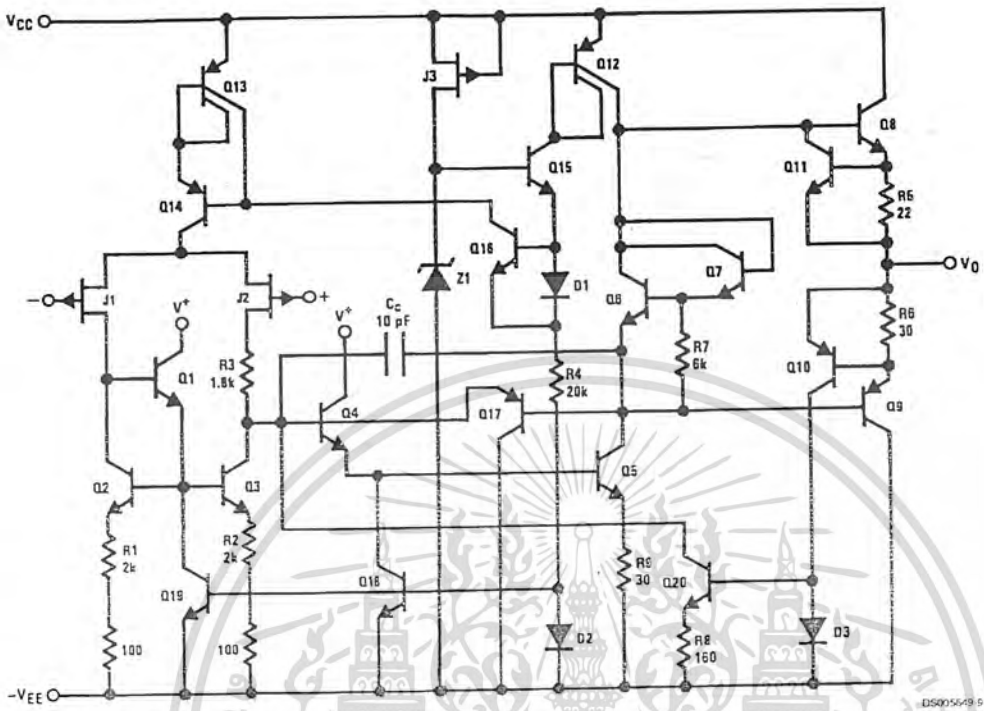
Precautions should be taken to ensure that the power supply for the integrated circuit never becomes reversed in polarity or that the unit is not inadvertently installed backwards in a socket as an unlimited current surge through the resulting forward diode within the IC could cause fusing of the internal conductors and result in a destroyed unit.

As with most amplifiers, care should be taken with lead dress, component placement and supply decoupling in order to ensure stability. For example, resistors from the output to an input should be placed with the body close to the input to minimize "pick-up" and maximize the frequency of the feedback pole by minimizing the capacitance from the input to ground.

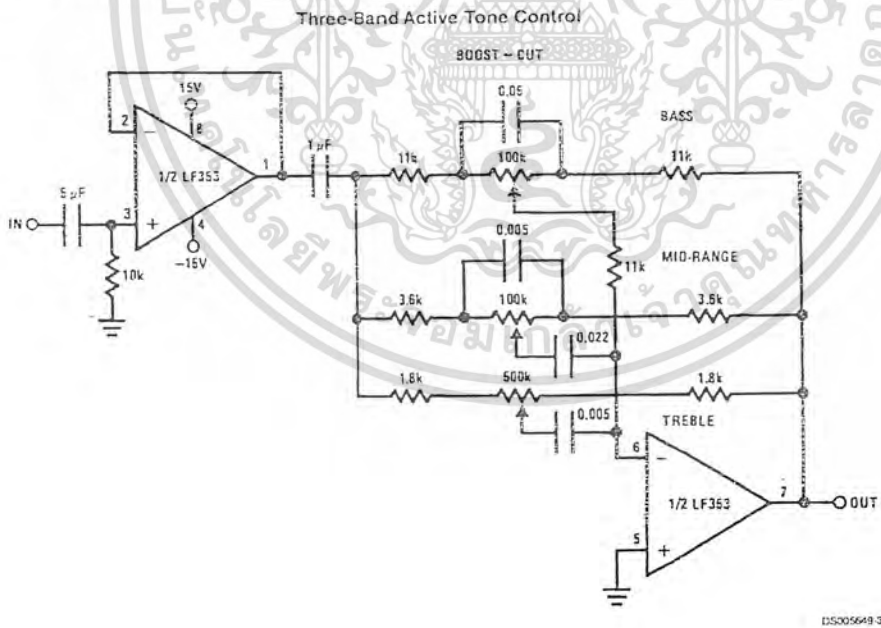
A feedback pole is created when the feedback around any amplifier is resistive. The parallel resistance and capacitance from the input of the device (usually the inverting input) to AC ground set the frequency of the pole. In many instances the frequency of this pole is much greater than the expected 3 dB frequency of the closed loop gain and consequently there is negligible effect on stability margin. However, if the feedback pole is less than approximately 6 times the expected 3 dB frequency a lead capacitor should be placed from the output to the input of the op amp. The value of the added capacitor should be such that the RC time constant of this capacitor and the resistance it parallels is greater than or equal to the original feedback pole time constant.

เอกสารนี้เป็นเอกสารที่สงวนไว้สำหรับการใช้งานเพื่อการศึกษาเท่านั้น ไม่อนุญาตให้นำไปใช้ประโยชน์ด้านการค้า  
ไม่ว่ากรณีใดๆ ทั้งสิ้น อีกทั้งห้ามมิให้ตัดแปลงเนื้อหา และต้องอ้างอิงถึงเจ้าของเอกสารทุกครั้งที่มีการนำไปใช้

## Detailed Schematic

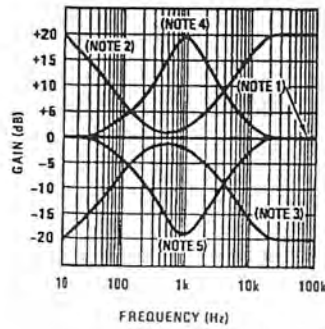


## Typical Applications



เอกสารนี้เป็นเอกสารที่สงวนไว้สำหรับการใช้งานเพื่อการศึกษาเท่านั้น ไม่อนุญาตให้นำไปใช้ประโยชน์ด้านการค้า ไม่ว่าจะกรณีใดๆ ทั้งสิ้น อีกทั้งห้ามมิให้ตัดแปลงเนื้อหา และต้องอ้างอิงถึงเจ้าของเอกสารทุกครั้งที่มีการนำไปใช้

## Typical Applications (Continued)



DS005649-40

**Note 1:** All controls flat.

**Note 2:** Bass and treble boost, mid flat.

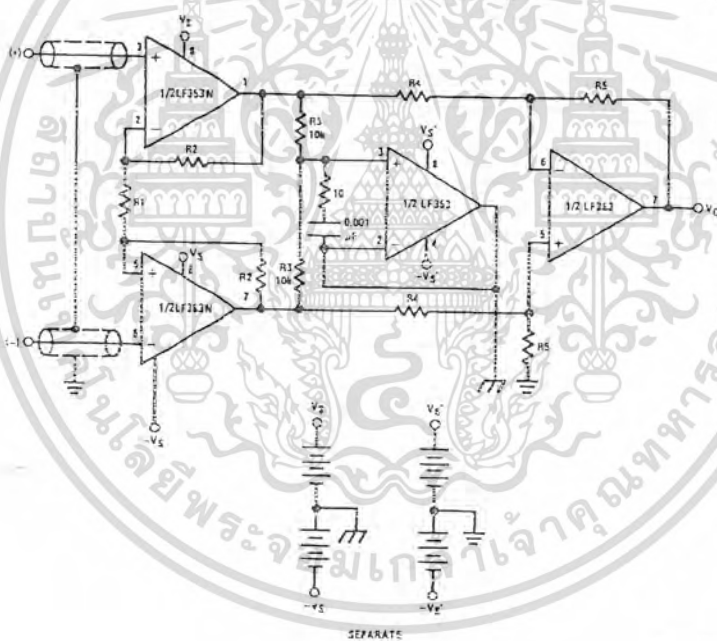
**Note 3:** Bass and treble cut, mid flat.

**Note 4:** Mid boost, bass and treble flat.

**Note 5:** Mid cut, bass and treble flat.

- All potentiometers are linear taper
- Use the LF347 Quad for stereo applications

### Improved CMRR Instrumentation Amplifier



SEPARATE

DS005649-41

$$A_V = \left( \frac{2R_2}{R_1} + 1 \right) \frac{R_5}{R_4}$$

$\perp$  and  $\perp$  are separate isolated grounds

Matching of R2's, R4's and R5's control CMRR

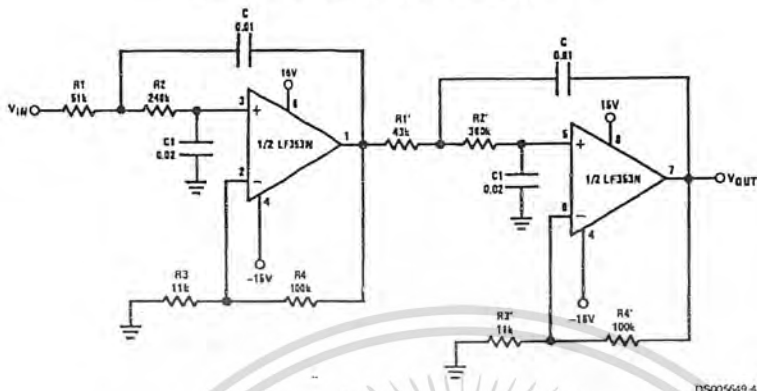
With  $A_{VT} = 1400$ , resistor matching = 0.01%: CMRR = 136 dB

- Very high input impedance
- Super high CMRR

เอกสารนี้เป็นเอกสารที่สงวนไว้สำหรับการใช้งานเพื่อการศึกษาเท่านั้น ไม่อนุญาตให้นำไปใช้ประโยชน์ด้านการค้า ไม่ว่าจะกรณีใดๆ ทั้งสิ้น อีกทั้งห้ามมิให้ตัดแปลงเนื้อหา และต้องอ้างอิงถึงเจ้าของเอกสารทุกครั้งที่มีการนำไปใช้

## Typical Applications (Continued)

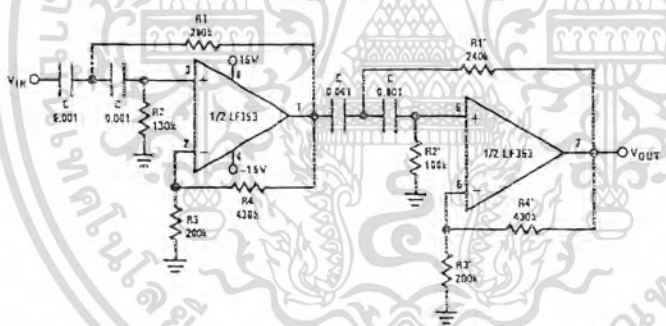
### Fourth Order Low Pass Butterworth Filter



DS005649-42

- Corner frequency ( $f_c$ ) =  $\sqrt{\frac{1}{R1R2CC1}} \cdot \frac{1}{2\pi} = \sqrt{\frac{1}{R1'R2'CC1}} \cdot \frac{1}{2\pi}$
- Passband gain ( $H_0$ ) =  $(1 + R4/R3) (1 + R4'/R3')$
- First stage  $Q = 1.31$
- Second stage  $Q = 0.541$
- Circuit shown uses nearest 5% tolerance resistor values for a filter with a corner frequency of 100 Hz and a passband gain of 100
- Offset nulling necessary for accurate DC performance

### Fourth Order High Pass Butterworth Filter



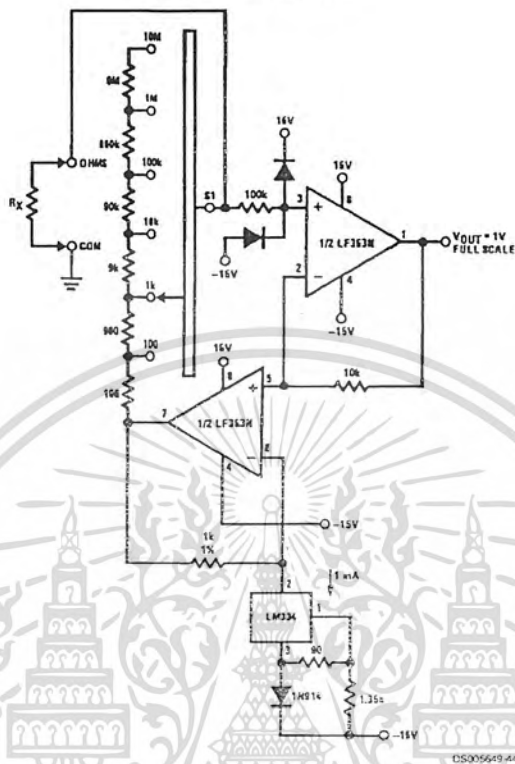
DS005649-43

- Corner frequency ( $f_c$ ) =  $\sqrt{\frac{1}{R1R2C^2}} \cdot \frac{1}{2\pi} = \sqrt{\frac{1}{R1'R2'C^2}} \cdot \frac{1}{2\pi}$
- Passband gain ( $H_0$ ) =  $(1 + R4/R3) (1 + R4'/R3')$
- First stage  $Q = 1.31$
- Second stage  $Q = 0.541$
- Circuit shown uses closest 5% tolerance resistor values for a filter with a corner frequency of 1 kHz and a passband gain of 10.

เอกสารนี้เป็นเอกสารที่สงวนไว้สำหรับการใช้งานเพื่อการศึกษาเท่านั้น ไม่อนุญาตให้นำไปใช้ประโยชน์ด้านการค้า ไม่ว่าจะกรณีใดๆ ทั้งสิ้น อีกทั้งห้ามมิให้ตัดแปลงเนื้อหา และต้องอ้างอิงถึงเจ้าของเอกสารทุกครั้งที่มีการนำไปใช้

## Typical Applications (Continued)

Ohms to Volts Converter

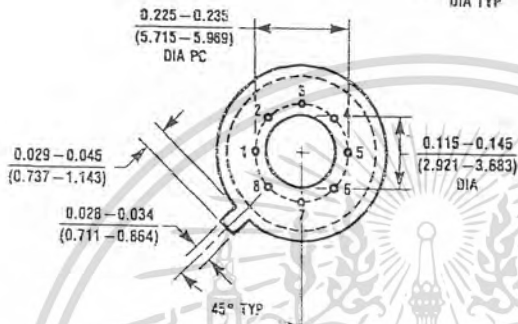
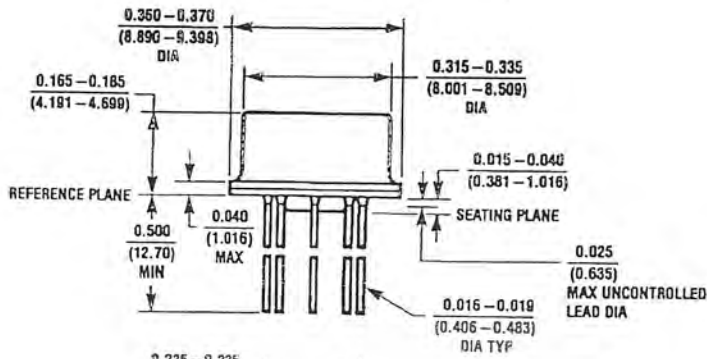


$$V_O = \frac{1V}{R_{LADDER}} \times R_X$$

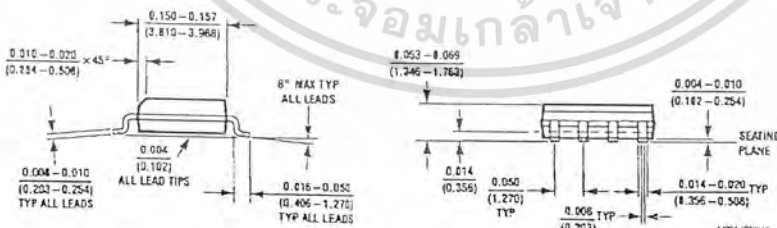
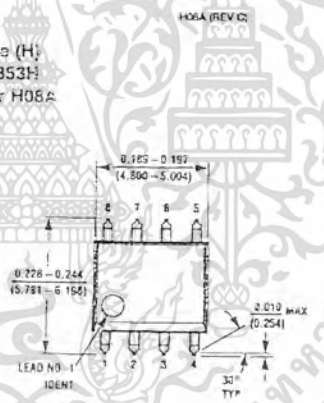
Where  $R_{LADDER}$  is the resistance from switch S1 pole to pin 7 of the LF353.

เอกสารนี้เป็นเอกสารที่สงวนไว้สำหรับการใช้งานเพื่อการศึกษาเท่านั้น ไม่อนุญาตให้นำไปใช้ประโยชน์ด้านการค้า  
ไม่ว่ากรณีใดๆ ทั้งสิ้น อีกทั้งห้ามมิให้ตัดแปลงเนื้อหา และต้องอ้างอิงถึงเจ้าของเอกสารทุกครั้งที่มีการนำไปใช้

**Physical Dimensions** inches (millimeters) unless otherwise noted



Metal Can Package (H)  
Order Number LF353M  
NS Package Number M08A



Order Number LF353M  
NS Package Number M08A

เอกสารนี้เป็นเอกสารที่สงวนไว้สำหรับการใช้งานเพื่อการศึกษาเท่านั้น ไม่อนุญาตให้นำไปใช้ประโยชน์ด้านการค้า  
ไม่ว่ากรณีใดๆ ทั้งสิ้น อีกทั้งห้ามมิให้ตัดแปลงเนื้อหา และต้องอ้างอิงถึงเจ้าของเอกสารทุกครั้งที่มีการนำไปใช้



## หนังสืออ้างอิง

1. รศ. ดร. กนก เจนจิระพงษ์เวช, ไพศาล สิทธิโยภาสกุล, M. Teramoto, “การออกแบบวงจรอควอไลเซอร์โดยใช้วงจรยูนิฟอร์มดิสทริบิวท์อาร์ซี”, การประชุมทางวิชาการวิศวกรรมไฟฟ้า ครั้งที่ 13 ณ มหาวิทยาลัยเชียงใหม่ หน้าที่ 157-166ม 8-9 พฤศจิกายน 2533
2. M. Teramoto, S.Sudou and K. Janchit rapongvej, “Realization of an Active Low Pass Filter using Uniformly Distributed RC Lines”, ICEE, CAS 89-54, October 1989.
3. S.Pookaiyaudom, K. Dejhan and C.Watanachaiprateep, “Electronically tunable filter blocks”, INT. J. Electronics, vol.46, NO. 5, 521-527
4. M.S.Ghausi and V.G.Bello, “Active Distributed RC Realization of Low Pass Magnitude Specifications”, IEEE Trans. Vol. CT-16, pp.346-358, August 1969.
5. V.G. Bello and M.S. Ghuasi, “Design of Linear Phase Active Distributed RC Networks”, IEEE Trans. Circuit Theory, vol. CT-16, pp.526-530, November 1969
6. Gabor C. Temes, Jack W. LaPATRA, “Introduction to Circuit Synthesis and Design”, McGRAW HILL Book Company, 1977

## Home pages อ้างอิง

1. <http://www.afn.org/~afn06011/databook.htm> : Data sheet Links
2. <http://www.natiom..com/semiconduction> : National Semiconductor Company
3. <http://www.ieee.com> : IEEE Company
4. <http://www-dsp.rice.edu/software/RU-FILTER/butter/> : Butterworth Home page

เอกสารนี้เป็นเอกสารที่สงวนไว้สำหรับการใช้งานเพื่อการศึกษาเท่านั้น ไม่อนุญาตให้นำไปใช้ประโยชน์ด้านการค้า ไม่ว่าจะกรณีใดๆ ทั้งสิ้น อีกทั้งห้ามมิให้ตัดแปลงเนื้อหา และต้องอ้างอิงถึงเจ้าของเอกสารทุกครั้งที่มีการนำไปใช้